

**REPORT OF THE 2007 INTER-SESSIONAL MEETING
OF THE TROPICAL TUNAS SPECIES GROUP**

(Recife, Brazil - April 11 to 16, 2007)

SUMMARY

The objective of the meeting was to evaluate fishery indicators relative to establishing the state of the stocks, with special attention given to yellowfin and skipjack. Within these indicators, analyses were conducted on catch series, CPUEs and weight and/or size measures for the different stocks. Given the multi-species character of the majority of the tropical tuna fisheries, the Group reiterated the need to develop indicators capable of reflecting the overall state of the fishery and its impact on the ecosystem.

RÉSUMÉ

L'objectif de la réunion était d'évaluer les indicateurs pertinents de la pêcherie afin d'établir l'état des stocks, l'accent étant mis sur l'albacore et le listao. Parmi ces indicateurs, le Groupe a analysé les séries de captures, les CPUE et poids et/ou tailles moyennes pour les différents stocks. Compte tenu du caractère plurispecifique de la majorité des pêcheries de thonidés tropicaux, le Groupe a réitéré la nécessité d'élaborer des indicateurs capables de refléter l'état de la pêcherie dans son ensemble et l'incidence de celle-ci sur l'écosystème.

RESUMEN

El objetivo de la reunión era evaluar indicadores de la pesquería relevantes para establecer el estado de los stocks, siendo el rabil y listado las especies a las que se presta una especial atención. Dentro de estos indicadores, se analizaron series de capturas, CPUE y pesos y/o tallas medias para los distintos stocks. Dado el carácter multiespecífico de gran parte de las pesquerías de túnidos tropicales, el Grupo reiteró la necesidad de desarrollar indicadores capaces de reflejar el estado de la pesquería en su conjunto y la incidencia de la misma en el ecosistema.

KEYWORDS

Yellowfin, skipjack, fishery indicators, tropical tunas, ecosystem

1. Opening, adoption of agenda and meeting arrangements

The meeting was opened by Dr. Sergio Gomes de Mattos of the Brazilian Special Secretariat for Aquaculture and Fisheries who presented a welcoming statement (**Appendix 1**) on behalf of Special Secretary, Mr. Altemir Gregolin. Dr. Victor Restrepo, on behalf of Mr. Driss Meski, ICCAT Executive Secretary, thanked the Brazilian government for hosting the meeting and providing all the logistical arrangements.

The List of Participants is included in **Appendix 2**. The Agenda (**Appendix 3**) was adopted after modifications. The List of Documents presented at the meeting is attached as **Appendix 4**. The meeting was chaired by Dr. Renaud Pianet, and the following served as rapporteurs:

| <i>Section</i> | <i>Rapporteurs</i> |
|---------------------|-----------------------------------|
| Items 1, 7, 8 and 9 | V. Restrepo |
| Item 2 | P. Kebe, G. Scott |
| Item 3 | R. Pianet |
| Item 4 | S. Cass-Calay |
| Item 5.1 | C. Brown, D. Gaertner, H. Okamoto |
| Items 5.2 and 5.3 | J. Ariz and A. Delgado |
| Item 6 | P. Kebe and J. Walter |

2. Update of basic statistics and catch at size

2.1 Task I

The Secretariat presented the catch table (**Table 1**) for the three tropical species (yellowfin, bigeye and skipjack) for the years 1950-2005. Since the last SCRS meeting held in 2006, some improvement was made to update the ICCAT Task I database according to the changes approved by the Species Group and the SCRS. The modifications carried out to this data set were:

- 1) the reclassification of Spanish (Canary Islands) and Portugal (Azores) baitboat catches,
- 2) the adjustment of Venezuelan catches according to a paper by Nova & Ramos and approved by the Tropical Species Group, and
- 3) the corrections of Guatemalan PS catches that had been reported twice.

The Group reiterated the need, for scientific purposes, to receive from Contracting and Cooperating Parties the fleet characteristics information (Form-1) requested by the Secretariat, together with the Task I data. This information is very important for the historical evaluation of fishing capacity and for characterizing the effort deployed to harvest tunas in ICCAT Convention area.

Discussions on data for Angola and Cape Verde for the years prior to 1960, when national tuna fisheries were very active for these countries, concluded that collaboration with Portuguese scientists and institutes should be encouraged to recover the missing information.

The Group decided that the Task I catch reported under FIS (France, Cote d'Ivoire, Senegal) will be broken down by country before September 2007 by scientists from IRD. It would be helpful to carry out the same exercise for the Task II data in order to link the revised Task I with Task II. Unfortunately, as the basic vessel data were lost, this seems to be nearly impossible.

It was noted that catch for some European-operated vessels with Ghanaian flag was recorded as NEI. It was recommended to extract these from NEI and assign them to Ghanaian flag.

2.2 Task II

The Secretariat reported the availability of Task II data (catch & effort and size sampling) but no thorough analyses of these data set were carried out. The Group reviewed the recommendations made by the previous tropical group meeting held in Sete, France (Anon., 2007), mainly on the need to correct some apparent discrepancies for several fisheries. During this discussion, it was announced that new Task II information from Brazil will be available soon.

The Secretariat recalled the need to have size sampling in the finest scale possible but for some countries it seems difficult to fulfill this request. It was noted that for the European fleet, the size sampling submitted to Secretariat was extrapolated (raised) to some level and, if necessary, the actual size samples could be submitted. It was also noted that it could be useful to have the longline fishery data reported in the same scale.

2.3 Catch at size

2.3.1 Skipjack. The Secretariat presented the new version of catch at size (**Table 2**) for the years 1969 to 2005. Given the multiple data received at the Secretariat after the first (1999) skipjack assessment, the Secretariat decided to recreate the entire data set. The substitution rules used were tabulated in **Table 3**. The Group congratulated the Secretariat for its excellent work in this important improvement made by rebuilding the skipjack catch at size. In order to review in detail the available information, the Group conducted more analyses, with the data split by flag, gear and stock.

In order to further quality assure these data, a series of graphical diagnostics were developed to provide a visual method for evaluating the patterns in estimated catch at size at a broad grouping of gear and area definitions. The Species Group decided to disaggregate the catch at size by fisheries as defined in **Table 4**.

Graphics showing the annual skipjack catch at size profiles for each of these fisheries are shown in **Appendix 6** and should be used to guide future analysis of these data.

2.3.2 *Yellowfin*. A new catch at size dataset for the years 1970-2005 was presented by the Secretariat (**Table 5**), including the newly complete revision made by the Japanese scientists. The file was split by fleets and area in order to conduct some other analyses in a finer scale.

For both yellowfin and skipjack, the Secretariat presented the mean weight distribution by gear group and all gears combined.

2.3.3 *Bigeye*. No new information for this species was presented by the Secretariat, as the complete assessment on bigeye will be held in June 2007; the bigeye catch at size will be updated and presented before then.

3. Estimation of landings that are not discarded nor entering in the canning factories (“faux-poisson”)

Available information was presented by the Chairman, according to two documents and new data he received from Côte d'Ivoire.

Since numerous years ago in Abidjan, small size tunas, minor tunas and by-catches refused by the canneries are sold on the local market fish as “faux-poisson”. This possibility incited tuna purse seiners to keep onboard part of their catch which previously would have been discarded. Consequently, the quantities of landed “faux-poisson” increased rapidly, especially since the 1990s with the development of FAD fishing, catching more small tunas and by-catches. However, quantities were reduced since 1994, because of the implementation of controls carried out by French fishing companies, and the limited carrying capacity of the remaining purse seiners. One can define “faux-poisson” as the part of the industrial tuna fishing catches consumed locally.

The estimation of these “faux-poisson” catches was implemented in 1981, following an initiative from F.X. Bard. First, the unloaded quantities were estimated from information collected from the customs officers at the various exit points of the fishing port, but it appears that this information was widely underestimated. Consequently ORSTOM (formerly IRD) progressively put in place its own system to collect this information, by an exhaustive counting of all vans and trucks carrying tuna outside the port. The system is supposed to be fully operational since 1994. The annual estimated quantities of “faux-poisson” as related to the total tunas unloading are presented in **Table 6** and **Figure 1**.

Within the framework of the EU DG-Fish “Bigeye Project”, complementary to the ICCAT Bigeye Year Program (BETYP), a special sampling (species composition and sizes) scheme was implemented (1997-1999). Then, the sampling was improved in order to estimate the number of vans and/or trucks per day and tuna boats, as well as a visual determination of the species composition of these “faux-poisson” unloading (see form established by R. Dédo, **Table 7**). Boat information is available since August 1994, and is now reported as a special category.

Results of these samplings for the two periods, 1997-1998 and 2004-2005, are presented in **Table 8** and **Figure 1**. They show quite large variations that may be attributed to the flag origin of the unloadings (increased quantities from Ghanaian carriers). Species composition and size distribution of these catches are also reported in **Figures 2** and **3** more detailed analysis of all available information is necessary to improve these estimates, and specially the amount of yellowfin, bigeye and skipjack tunas concerned.

The Group considered that these data were important as the quantities involved are quite significant, especially for skipjack. The fact that it is essentially made of small fish (35-45 cm) is also of concern. It is estimated that even if mixing among species of major tunas is difficult to assess, a more comprehensive study using all available information collected should be attempted and results used for assessments.

It was suggested that the best way to officially take these changes into consideration is to consider them as discards. The Tropical Species Group is asked to study the best solution at its October 2007 meeting.

4. Review of new biological information

Two documents were presented to the Group (SCRS/2007/057 and Shuford *et al.* 2007). Document SCRS/2007/057 described the latitudinal variability in growth rates of eastern Atlantic skipjack tuna (*Katsuwonus pelamis*). Conventional tagging data collected by ICCAT since the 1960s were reanalyzed using the von Bertalanffy-Fabens growth model. The results of this study suggest that the growth parameters of skipjack tuna vary with latitude. The estimated L_{∞} for skipjack tagged and recovered north of 10°N was very similar to the L_{∞} estimated for skipjack tagged and recovered south of 10°N (94.1 cm vs. 92.9 cm, respectively).

However, the estimated growth rate coefficients, K , differed in the two regions (0.353 versus 0.195), suggesting that skipjack tuna grow faster in the northern region of the eastern Atlantic Ocean than in the equatorial areas. The growth parameters estimated during this study were consistent with those obtained from skipjack tagged during the Mattes Associées aux Canneurs (MAC) activities in the Senegalese area ($L_{\infty} = 97.26$ and $K = 0.251$). In contrast, the estimated growth parameters reported by Cayré *et al.* (1986) for the same region ($L_{\infty} = 62.0$ and $K = 2.08$) were quite different, and were not supported by this analysis.

The Group considered the implications of these results. It is evident that latitudinal variability in the growth rates would complicate age-structured assessment techniques because the size-at-age would be dependant on geographic location and movement patterns. The authors suggested possible alternatives to standard age-structured models including the use of catch-at-size models and growth-transition matrices by large geographic areas.

The Group made several recommendations that could improve future estimation of growth rates for skipjack tuna. The Group recognized that measurement error is a problem common to tagging data. Some members were concerned that excluding fish that were >2 cm smaller upon recapture could bias the estimated growth parameters (since measured size is equally likely to be greater or less than the true size). A possible alternative is to exclude fish if the apparent growth was $\pm 3SD$ from the expected growth. The Group also suggested that an additional bias in region-specific growth rates could occur if the proportion of excluded fish differed between regions.

The Group suggested that the effects of seasonality and possible sensitivity to the minimum acceptable time-at-large could be important to consider.

The Group also recognized that changes in selectivity can cause the perception of a change in growth parameters. This problem has been demonstrated in the U.S. Gulf of Mexico after changes in the minimum legal size. The group discussed possible differences in selectivity north and south of 10°N (i.e. different proportions of FAD versus free-school samples). A possible technique to estimate population growth parameters using fisheries-dependent data (subject to selection) is to use a “truncated likelihood” technique. This technique has been used recently during assessments conducted in the U.S. Gulf of Mexico (pers. comm. M. Ortiz¹).

The Group also discussed the importance of collecting direct observations of age for tropical tunas from hard part analysis using modern techniques. If direct observations of age composition were available for tropical tunas, it would be unnecessary to estimate the age composition using techniques (age-slicing, age-length keys) that are known to suffer if size-at-age is highly variable, or if spawning occurs throughout the year.

Shuford *et al* (2007) was presented to the Group. This document addresses the 2003 ICCAT yellowfin stock assessment recommendation that “research should be conducted to validate the growth curve used for yellowfin tuna.” In this study, an age and growth curve is derived using directly determined age estimates from the daily microstructure of sagittal otoliths from 132 fish (5.2-179 cm FL) caught in the Gulf of Guinea and North Carolina. Using the age estimates and corresponding fork lengths, the growth curve and parameters were derived with the von Bertalanffy growth function. The resulting growth coefficient (k) is 0.281; theoretical maximum FL, (L_{∞}) 245.5cm; and theoretical FL at age zero (t_0), 0.042.

In order to evaluate the relative contribution of the various spawning periods throughout the year (which are correlated to the various spawning areas), it is **recommended** that further research be conducted using direct ageing (or other appropriate methods) capable of estimating birth month since it appears that there may be less seasonality in birth month for some tropical species (e.g., see **Appendix 5**). Sampling should be designed to be representative of the catch and/or stock.

The data supporting this von Bertalanffy growth function were compelling. However, there was discussion that an early period of slow growth has been demonstrated using tagging data. The Group did not conclude that there was sufficient evidence at this time to reject the two-stanza growth function currently assumed for yellowfin, although further investigation of the matter (including review of relevant tagging studies) was encouraged. The Group also recommended that analyses be conducted to determine the effect of the different growth functions on the estimated age-composition, and the implications of those differences on estimates of total mortality derived from catch-curve analyses. This analysis was conducted during the meeting, and is summarized in **Appendix 5**. The results indicate that the age-composition derived from age-slicing is sensitive to the growth curve, and that this difference may be sufficient to cause changes in estimations of total mortality.

The Group concluded that changing the growth model could alter estimates of stock status. Therefore, the Group

¹Personal communication. Mauricio Ortiz, US DOC National Marine Fisheries Service, Southeast Fisheries Science Center, Miami Laboratory. 75 Virginia Beach Dr. Miami, FL USA 33149. Mauricio.Ortiz@noaa.gov

recommended that the original data be recovered. These data should be used to determine how the growth functions were developed, to test alternative model fits and structures and to investigate the potential to develop a model that incorporates both data sets.

5. Review of fishery indicators

General indicators are in Section 5.2; Section 5.1, which follows, has species-specific indicators.

Total catches of Atlantic tropical tunas (yellowfin, skipjack and bigeye) by gear are shown in **Figure 4**. Overall catch shows an increasing trend up to reach 474,084 t in 1994 followed by a decreasing trend in the most recent period. Trends of catches are mainly due to the development of the purse seine fishery.

5.1 Indicators relevant to stock status

5.1.1 Skipjack

General trend in skipjack catch

As shown in **Figure 5**, the total catches of skipjack in the Atlantic Ocean depict a continuous decline since their maximum reached in 1991 (175,000 t) but with a slow increase in the recent years (138,000 t in 2005).

As concerns the East Atlantic, the skipjack fishery underwent important changes in the early 1990s, following the introduction of artificial floating objects (FADs) by the European Union purse seiners and in the Ghanaian purse seine fisheries and baitboat fisheries. In addition, a fishing method was developed in which the baitboat is used at the floating object in the waters off Senegal, Mauritania and the Canary Islands (1992). All these changes have caused an increase in the exploitable biomass of the skipjack stock (in particular, due to the expansion of the fishing area to the west), and in skipjack catchability. Despite these changes, the catches for purse seiners decreased, as previously described for the total catch. This decrease is likely a consequence of the implementation of the moratorium on FAD fishing as well as the decrease in the nominal fishing effort. However, the catch increased in the recent years. For the pole and line fisheries the catch remained stable at about 40,000 t since the late 1970s.

In the West Atlantic, after fluctuating between 2,000-3,000 t/year, the catch of skipjack rocketed up to about 40,000 t in 1985. Since this maximum, the western catches (mainly due to the Brazilian baitboat fishery) were maintained at a level close to 30,000 t (**Figure 6**).

Apparent abundance indices

The Group stressed the importance of updating the catch rates of the main fisheries reporting catch of skipjack. It must be stressed that skipjack tuna is often a secondary species, depending on the price differential and on the catchability of other target species. Consequently, estimation of the effective effort exerted on skipjack (e.g. effort proportional to fishing mortality) remains problematic and catch rate may sometimes depict a different trend than abundance.

For purse seiners fishing alternatively on free schools and on FADs, it was considered that search time may be the best measure of basic effort on free schools. It was also suggested that the analysis data set might be further restricted to effort associated with free school sets by assuming that vessels which travel longer distances overnight are moving between FADs, as they can't be searching for free schools at night. However, this approach would likely require further study, including the incorporation of VMS data, to determine if it is both feasible and appropriate. A new EU funded CEDER Project (Catch, Effort and Discards Estimates in Real Time), which started in 2006, will be partially dealing with this question. The basic idea developed within the framework of this project is to analyze the individual trajectory of purse seiners in order to characterize fishing behaviors reflecting searching time for un-associated school or running toward a FADs previously detected by radio range beacon (bearing in mind, however, that whatever the fishing mode researched, every tuna school detected by chance can be set on). Other factors which might be considered include the changes over time that have resulted in reduced time necessary to make sets and to offload catch (increasing efficiency of fishing effort over time).

Eastern Atlantic

The analysis of the changes in nominal catch rates and in several fishery indicators of the EU tropical surface fishery (baitboat and purse seine) operating in the eastern Atlantic Ocean was presented in document SCRS/2007/058. **Figure 7** depicts the change over the period 1991-2006 of the CPUEs for the EU purse seiners

for both fishing modes (i.e., non-associated schools and FADs set). From this figure, it can be seen that the catch rate for skipjack caught in free school fluctuates over the years (about 1 to 4 t/searching day) but without evidence of any trend. The increase in CPUEs for skipjack associated to FADs since 1999 may be partially due to a larger catch by positive set (**Figure 7**; lower panel).

Regarding the European baitboats based in Dakar (Senegal), the nominal catch rates of skipjack have increased regularly over the entire time series (**Figure 8**). When analyzing these data it must be kept in mind that since the beginning of the 1990s these baitboats have developed a fishing technique (mainly for targeting bigeye) in which the baitboat is used as the floating object, fixing the school (comprised of bigeye, yellowfin and skipjack) during the entire fishing season in waters off Senegal and Mauritania. As a consequence, it makes sense to assume that the adoption of this fishing technique has increased the overall catchability of tunas. Notice however that the pattern described for skipjack contrasts with the decreasing trends in CPUEs observed for the other two tropical tuna species.

During the meeting the Group held in Sète (France) in 2006, it was recommended that analyses of the CPUE trends for fisheries along the fringes of species distribution be conducted by scientists from various Contracting Parties. The results of the standardization of the CPUEs for the Azorean baitboats was presented and discussed during the Species Group. As expected, due to the location of this fishing area with respect to the range distribution of skipjack, the standardized index showed a high variability, but without a significant tendency (**Figure 9**).

Western Atlantic

In contrast with the large fishing areas observed in the eastern part of the Atlantic Ocean, the fishing grounds in the western Atlantic are generally more coastal (one explanation is that the deepening of the thermocline and of the oxycline to the central Atlantic limits the areas with suitable conditions for surface tuna fishery). The Brazilian baitboat fishery represents an interesting study case as skipjack is their main target species. The nominal CPUE was not updated since the last SCRS meeting but there is no evidence of any trend, even if a large variability is observed (**Figure 10**). Note that the catch rates reported for this fishery are higher than the CPUEs observed in all the eastern baitboat fisheries. For the Venezuelan purse seiners, fishing mainly in the Caribbean Sea, no new information has been provided since the last SCRS meeting. The reason for the decrease in nominal CPUEs observed since 2002 (**Figure 10**) is not known (possible causes include changes in local environmental conditions, lower abundance of skipjack or its prey, lower assistance of the baitboats to hold tuna schools stationary near the surface during the encircling operation, etc.).

Preliminary results concerning the standardization of the catch rate of skipjack caught by the U.S. recreational fishery with a delta-lognormal model were presented during the meeting. Following the recommendations of the Species Group, a second analysis accounting for a better categorization of some explanatory variables (e.g., larger geographical areas, omission of strata where the presence of skipjack is unlikely, etc) was tentatively done. It was shown that the proportion of positive catch increased slowly, whereas the catch for positive trips remained relatively constant. However, since the confidence intervals remain very large and the standardized CPUEs fluctuate similarly than the nominal index (**Figure 11**), further studies are needed.

Mean weight

The Group also discussed a number of other analyses that may provide some indication of stock status in the absence of a full assessment. Among these auxiliary indicators, changes in average weight of fish in the catch over time may be useful. A reduction in average weight may be reflective of increasing or sustained high fishing mortality, although an initial reduction in average size is expected in a fishery and changes may also reflect changes in selectivity or recruitment pulses (at smaller sizes).

Size samples for longline-caught fish throughout the Atlantic are too sparse to provide reliable indication of pattern in average size of the overall longline catch (see **Appendix 6**).

Eastern Atlantic

The mean weight of skipjack in the eastern Atlantic varies between 2 and 3 kg (**Figure 12**). A slow decrease can be observed from 1969 to the late 1980s for both purse seiners and baitboats. This indicator stays stable in the last decade. The Group stressed the need to further examine information for the fisheries identified in **Table 4** in order to better evaluate the impact of the fishing pressure on the different components of this stock.

Western Atlantic

The average weight of skipjack is larger in the western Atlantic than it has been showed for the East (3-4.5 kg vs 2.5-3 kg, respectively; see **Figure 13**). This is specifically the case for the directed Brazilian baitboat fishery during the last 20 years (with exception of the last two years for which this indicator decreased). The mean weight for skipjack landed by purse seiners (mainly from Venezuela) is lower than for baitboats, and decreases continuously until approximately 2 kg.

Information on the change over time of the average length of skipjack caught by the U.S. longline were presented in document SCRS/2007/054. Even if skipjack is an incidental catch for longline and even if there is some variability in mean length between the different areas fished by this fishery the global pattern suggests a slow increase in length for the last 15 years (approximately from 62 to 70 cm). This pattern corresponds to a change in average weight approximately from 4 to 5 kg (**Figure 14**).

5.1.2 Yellowfin

Catch trends

In contrast to the increasing catches of yellowfin tuna in other oceans worldwide, there has been a steady decline in overall Atlantic catches since 2001 (**Table 1**; **Figure 15**). Atlantic surface fishery catches have shown a declining trend from 2001 to 2005, whereas longline catches have generally fluctuated without clear trend. Purse seine catches have declined over 55% from the peak catch level in 1990.

It is not immediately clear to what extent declines in catch might be the result of reductions in stock size or are due to reductions in targeted effort levels. It is expected that the reduction in purse seine carrying capacity in the Atlantic (a result of the aging and reduction of the existing purse seine fleet as newer vessels are introduced instead in the Indian Ocean) has had a profound impact on catch levels (**Figure 16**). The shift since 1990 toward a greater proportion of sets on FADs (**Figure 17**) has increased the proportion of skipjack in each set as well as decreased the average size of yellowfin on a set. It is possible that reductions in longline catches may be due, at least in part, to shifts toward targeting bigeye tuna.

Abundance indices

Purse seine and baitboat in the east Atlantic

The largest catch and effort database, which covers the largest and most widespread fishery for yellowfin tuna, is that for the eastern tropical Atlantic baitboat and purse seine fisheries operated by European and associated fleets. Document SCRS/2007/58 presents the main statistics and characteristics of these fisheries from 1991 up to 2006.

The purse seine catches have generally shown a declining trend, particularly since 2001, although a slight recovery is observed in the preliminary 2006 catches due to increases in free school catches (**Figure 19**). The nominal catch rates show increasing or stable trends (**Figures 20 and 21**). However, these trends have not been adjusted to account for technological and methodological changes in the fishery (*i.e.* use of sonar on FADs, bird radar) which are expected to have increased fishing power.

The yellowfin tuna catch rates have shown in general a decline for the Dakar-based baitboats (**Figure 8**) while the carrying capacity steadily increased (**Figure 18**). It is not clear how the catch rates trend has been affected by the adoption in the 1990s of techniques using the baitboat as a fish aggregating device. Catch rates since the late 1990s have fluctuated without a clear trend.

Purse seine in the west Atlantic

No new information was available from the purse seine fisheries in the west Atlantic.

Longline and rod-and-reel indices

Several CPUE indices were presented at the meeting from fisheries other than purse seine. All the indices were standardized using GLM, differing in the assumption of the error distribution (log-normal or Poisson). They had the same basic factors in common, such as year, season and area, along with other factors particular to each case.

Two indices were presented for the U.S. pelagic longline fishery from 1987 to 2006 (SCRS/2007/055) derived using fisherman logbooks, in number of fish and in biomass (adjusting logbook numbers by time-area average weights from observer data). These indices show a clear declining trend until 2003, followed by an increase in the last three years (**Figure 22**). Indices in number of fish were also developed for the U.S. pelagic longline fishery using observer data and are presented in document SCRS/2007/056. The observer based index covering the entire U.S. pelagic longline fishery is shown compared to the logbook-based index in (**Figure 23**); the relatively high variability of the index may be influenced by the sample size of observer data. A separate index was also calculated for the U.S. pelagic longline in the Gulf of Mexico using the U.S. observer data (**Figure 24**), showing high variability with no clear trend. The completion of the planned incorporation of Mexican observed data in order to calculate a combined index may improve these results.

An index in numbers for the Brazilian longline fishery (1978-2005) was presented in document SCRS/2007/059. No clear trend was evident, and values were highly variable during the 1990s (**Figure 25**). Discussion centered around the importance of the targeting factor, which was calculated using cluster analysis. It was considered that actual changes in targeting behavior may not be completely captured by this approach, and that this may be at least a partial explanation for the variability.

Okamoto (2007) presented an index for the Japanese longline fleet (1965-2005) in number of fish using, in addition to the common factors, environmental factors such as sea surface temperature. The catch and effort data set was aggregated by month, 5-degree square and the number of hooks between floats. Data for 2005 were considered preliminary. The index showed a clear overall declining trend (**Figure 26**), although point estimates for 2003 and 2004 had shown some recovery (prior to the preliminary 2005 estimate). This index has the broadest coverage in time-area of any of the yellowfin standardized abundance indices.

An index, in number of fish, for the U.S. rod and reel fishery (1986-2006) was presented in document SCRS/2007/052. This analysis used intercept survey data. Trends were quite variable, with a declining trend from 1986 to 1992, followed by an increasing trend (with large fluctuations) until 1999, and finally a generally decreasing trend. Concerns were raised that that successful trips within the analysis data set were rare, which may contribute to the variability of the index. There was discussion of alternatives which might potentially restrict the analysis data set to focus more on yellowfin directed effort; this alternative treatment was performed during the meeting and the updated indices (slightly changed as a result) are shown in **Figure 27**. Additional improvements to the analysis are being considered for calculations to be presented at future meetings.

Average length/weight trends

The overall average weight trend, calculated from available catch-at-size data, has been declining fairly steadily since 1973 (**Figure 28**). The average weight trends by gear group are shown in **Figure 29**. The average weight in purse seine catches, which represent the majority of the landings, has been declining since 1992. This decline is at least in part due to changes in selectivity associated with fishing on floating objects. Less dramatic declines in average weight have also occurred for baitboat fisheries. Longline fleets, which have not undergone such a dramatic shift in selectivity and which target larger fish, have experienced and general decline in average weight since 1975, although calculated averages have varied widely beginning in 2002. The causes of the variability in longline average weight in the most recent years are not clear, although much of this data is still regarded as preliminary. The value for 2005 is preliminary.

In order to determine changes in average weight for the purse seine fleet independent of the change in selectivity associated with FAD (also know as “log”) fishing, the trends for the European and associated purse seine fleet were examined separately by set type (**Figure 30**). Average weights have generally declined for both FAD and free school sets, although there was a slight recovery in 2006. This suggests that the decline in purse seine average weights cannot be entirely attributed to an increase in the proportion of sets on FADs. The complete size distributions for the two set types, comparing the period 2001-2005 to 2006, during the most recent six years are shown in **Figure 31**. The size distribution for the same period in the European and associated baitboat fleets is shown in **Figure 32**.

Information on the average length of yellowfin tuna, by year, caught by the U.S. longline fleet was presented (SCRS/2007/054) during the meeting and is shown in **Figure 33**. There was no substantial trend in mean length for the time period 1992-2006.

An examination of these various signals in the fishery is no substitute for a full stock assessment. However, the declines observed in the standardized abundance trends from major longline fisheries, combined with declines in average weight which cannot be entirely explained by increased targeting of FAD purse seine sets, reinforce the

need to conduct a full stock assessment for yellowfin tuna. It is important that such an assessment take these and other indicators into account.

5.1.3 Bigeye

General trend in bigeye catch by gear

Total annual catch (**Figure 34**) steadily increased and reached to 130,000 t in 1994, and has rapidly decreased to less than half, about 60,000 t in 2005. This large decline was observed not only in longline but also purse seine and bait boat fisheries. Longline catch account for about 60-70% of the total catch. In 2005, the catch of the major fisheries was 35,400 t, 12,500 t and 11,000 t for longline, purse seine and baitboat fisheries, respectively.

Fishery indicators presented in this meeting

Standardized bigeye CPUEs for one longline fishery, two baitboat fisheries, and one purse seine fishery were presented during meeting. CPUE for Chinese Taipei and Japan, which are the main fleets catching bigeye, will be updated until the next bigeye assessment in June, 2007 using the latest available data.

EU purse seine (SCRS/2007/058): The bigeye catch by the EU purse seine fishery, which was about 30,000 t in 1993, decreased to 13,000 t in 1998 and has remained at the same level thereafter. Although 80-90% of bigeye has been caught by operations on log-associated schools, the free swimming school catch was exceptionally high, about 30% in 2006. CPUE for each type of operation (free and log) has been kept at the same level, and does not show any marked trend except for relatively high CPUE of free school set in 2006 (**Figure 35**).

The Group discussed how purse seine CPUE should be standardized for the next bigeye stock assessment in June 2007. In the two CPUE indices, ‘catch per positive set’ and ‘catch per searching day’, the former one would be appropriate for small bigeye, and the CPUEs of two types of operation, free and log school sets should be treated separately (see also Section 8).

EU baitboat, Dakar-based (SCRS/2007/058): The bigeye catch of EU baitboats has fluctuated around 2,000-4,000 t except for high catches of 5,000-7,000 t in 1999 through 2001 (**Figure 36**). Total effort has constantly increased from 1,500 days in 1991 to around 3,500 days in the latest years. CPUE (tons/day) which fluctuated between 1.5 and 2.5, showed a sudden drop to less than 1.0 and has remained at a low level up to now (**Figure 37**).

Brazilian longline (SCRS/2007/059): The bigeye CPUE of the Brazilian longline fishery was standardized for 1978-2005 using the same data set and method as that used for yellowfin. Standardized bigeye CPUE (fish/100 hooks) was stable around 0.3-0.5 until 2000, after which it has remained at a low level of about 0.2 (**Figure 38**). It was mentioned that the information on targeting or gear configuration is not available, although they should be important factors to standardize yearly and seasonal changes in targeting strategy.

Azores baitboat: The Azores baitboat catch, which has fluctuated between 1,000 and 6,000 t for the period from 1950 to 1999, decreased to less than 1000 t, thereafter. Bigeye tuna are mainly caught in the second quarter, from May to July. CPUE standardized by Delta-lognormal model showed constant declining trend until 2003, and an increasing trend was observed in 2004 and 2005 (**Figure 39**). The Group considered that the CPUE of Canary Islands fishery should be different from that of Azores baitboat.

Mean weight

During this meeting, size and mean weight analyses for the latest years were presented for the EU purse seine and baitboat fisheries. The size information for this species will be summarized including other fisheries in the next bigeye assessment meeting which will be held in June, 2007.

EU purse seine: The mean weight of the catch was constantly around 4-5 kg in the catch of log school set while that of free school set has been fluctuating between 5 and 14 kg (**Figure 40**). It is noteworthy that large bigeye around 140-170 cm were predominant in free swimming school set in 2006, while the size composition of log school in 2006 is similar to that in the past years (**Figure 41**).

EU Dakar-based bait boat: The mean weight of the EU baitboat (**Figure 42**) was high, at about 10kg from 1991 to 1997 and suddenly declined to 7 kg in 1998. This low mean weight lasted until 2004 and returned to high level about 10 kg in 2005 and 2006.

5.2 Fishery indicators relevant to multi-species fisheries and ecosystems

The Group stressed that the tropical tuna fisheries are multi-species fisheries, with strong interactions between the selectivities and fishing mortalities among yellowfin, skipjack and bigeye tunas. Considering this, it may be useful to develop new indicators reflecting the status of the fishery as a whole. Along these same lines, it was also recognized that the tropical tuna fisheries influence the pelagic ecosystem.

No document was presented this year on this matter. Nevertheless the Group considered that the points of the meeting of Sete (2006) continued being valid:

- Indicators for Sustainable Development of Marine Capture Fisheries (Code of Conduct for Responsible Fisheries).
- Current usage of fisheries indicators and reference points, and their potential application to management of marine fisheries.
- Community indicators can measure the impact of fishing.
- The FAO framework for use of quantitative indicators and performance measures to manage target species and ecosystem impacts.

In this sense the EU plans to integrate information of the impact of fishing on the ecosystems in its new Data Collection Regulation, starting in 2008.

However, it was underlined that at this time, the Group is working with several indicators that could be considered from the multi-species point of view (catch of all species/set, CPUE). This discussion will have to be transferred to the Sub-Committee on Eco-Systems for a wider vision of the problem. The Group examined several general indicators of the purse seine and baitboat fisheries, such as: change over time in carrying capacity (**Figure 16** and **18**), the total number of sets and the % of successful sets by fishing mode (**Figure 17**), and total area visited and fished (**Figure 43** and **44**).

For the purpose of examining the pattern in the overall longline fishery production and catch rates in the eastern tropical Atlantic to compare with those available for the surface fisheries, catch and effort by 5x5 in the region ranging from the African coast seaward to 30°W longitude and between 10°S and 25°N latitude was examined. These data were as recorded in the CATDIS file and the estimates of longline fishing effort produced by the Sub-Committee on Ecosystems at their March 2007 meeting. **Figure 45** shows the pattern in effort, catch and nominal CPUE by year for the entire period and for the period since 1991 to compare with similar views of the tropical purse seine fleet; **Figure 46** presents the total area visited and fished (1°x1°) by the Japanese longline fleet from 1977.

With the aim of favoring multi-species approaches in tropical tuna fisheries, comparisons of changes over the years in the total mortality Z for yellowfin and skipjack were conducted during the meeting with the use of the catch-at-size data provided by the Secretariat. An apparent Z estimate for each species was performed on the basis of the following equation:

$$Z = K * (L_\infty - L_{moy}) / (L_{moy} - L_c),$$

where L_∞ and K represent the conventional parameters of the von Bertalanffy's growth curve, L_c = the length at which fishes are fully recruited, and L_{moy} the average length for fishes fully recruited (Beverton and Holt, 1956) (**Figure 47**). In this figure it can observe that skipjack total mortality decreased from final of the 1990s, possibly due to the moratorium on floating objects, since skipjack has been the main affected species.

During the present Species Group meeting another indicator was updated. This indicator, termed "Skew" hereafter, is based on the reasonable assumption that an increase in fishing effort reduces the proportion of older individuals in the population and as a result the age/size composition becomes more skewed (Rosenberg and Brault (1991) in Caddy, 2004). This indicator is defined as:

$$Skew = N - I \sum [(X_i - X_{moy}) / s]^3,$$

where N is the number of age/size classes, X_i is the relative abundance of the i th class, X_{moy} and s are the average abundance and the standard deviation respectively. The changes over the years of this indicator for the three species are shown in **Figure 48**. The general trend depicted in this figure (i.e., assumed to reflect an overall increase in fishing mortality) reinforces that was observed in the previous analysis of Z (even though some discrepancies may exist between both indicators).

The Group recognizes the interest of this type of indicators and suggests that this type of indicators be compared with the changes over time of the status of the stocks as estimated by the conventional assessment models in futures analyses. Furthermore, the Group pointed out the need to assess the accuracy of such indicators by simulation studies, especially considering the possibility of highly variable size at age for certain species.

5.3 Other indicators

Along this line and consistent with ecosystem approaches, the Group also emphasized the need to further evaluate and understand the relationships between environmental conditions and indicators and tuna fishery success. The Group recommended working toward identifying reliable environmental indicators for explaining tuna availability and abundance. It would also be desirable to better understand the effects of relative price paid for yellowfin, bigeye and skipjack on changes of targeting between these species and other economic factors.

6. Review of progress made on improving the tagging database

No specific papers related to analyses of the tagging database for either yellowfin or skipjack tuna were presented. The Secretariat provided the updated status of the tagging database, tables of the current tagging data for skipjack and yellowfin and maps of the tag and recapture locations (ICCAT 2006). The Secretariat has devoted substantial effort to incorporate the suggestions in SCRS/2007/057 to correct problems in the database. However, it was felt that several more months of devoted work on the database is needed to make the database fully useable for yellowfin and skipjack tuna assessments. Nevertheless, the tagging database includes records for 1,711 recaptures of 19,361 tagged yellowfin (0.09%), 6,538 recaptures out of 42,483 tagged skipjack (15%) and 3021 recaptures out of 14,170 tagged bigeye tuna.

There are many applications of this data for estimating mortality rates (Ortiz de Zárate and Bertignac, 2002), improving growth estimates and determining movement rates and stock structure that could be applied to yellowfin and skipjack tuna assessments. In particular the latitudinal variability in growth rates (SCRS/2007/057) may require estimating movement and or/mixing rates between regions. As of now, however, no new information has been obtained from the tagging database to change the current single stock status of yellowfin tuna assumed in the 2003 stock assessment (Anon, 2004).

It was noted that the tagging data are highly desirable to apply the Multifan-CL assessment models (Miyabe *et al.* 2005). In particular it is necessary to have records of the time and fishery released from for every tagged animal and the time and fishery of the recapture in order to estimate mixing rates and fishing mortalities by fishery. Information on all tagged fish and their fishery of capture is lacking for skipjack and yellowfin, however, this data is available for bigeye tuna, and will likely be used in the upcoming assessment. Further, it is recommended that individual users of the data and individual tagging entities participate in the process of error checking and ground-truthing missing records.

7. General recommendations

Recommendations directed to the tropical species groups are contained elsewhere in this report. Recommendations in this section are of a more general nature and addressed to the SCRS or CPCs.

Fleet information. The Group noted that relatively few CPCs are submitting complete fleet size and fleet characteristics information together with Task I data, as required. Fleet information is extremely valuable to species groups and the SCRS because it allows for an adequate characterization of fisheries. It is especially important to have complete historical fleet information in order to understand changes in exploitation over time. The Group recommends that the SCRS consider ways in which existing gaps in fleet information may be filled, and ways in which future reporting may be improved.

Size frequencies. The Group commended the Secretariat's quality control efforts to improve the size frequency data. However, there are limitations about how much the Secretariat can do in terms of data validation. For this reason, it is recommended that national scientists review all of the size frequency data maintained in the Secretariat databases for validation purposes (e.g., checking for outliers, duplicate entries, incorrect gear classifications, etc., and generally ensuring that the database contains what was reported originally). This review should be completed by October 2007. After this deadline, the species groups should decide how to proceed.

Faux poissons. The Group considered that these quantities of unreported catch involved as *faux poissons* are quite significant, especially for skipjack but perhaps less so for yellowfin and bigeye because the sizes of the fish in question are small. It was recommended that the SCRS take these catches officially into consideration as discards.

8. Other matters

In order to facilitate some of the work that needs to be carried out for the MULTIFAN-CL analyses that are planned before the June 2007 bigeye assessment, the Species Group reviewed the definition of fisheries in the model and data availability. A condition to the discussions was the objective to make as few changes as possible to the fisheries that were defined in the 2004 assessment. The following is a summary of the conclusions reached:

- **Fisheries.** The Species Group recommended splitting the recent (since 1991) purse seine fishery (formerly "Fishery 3") into two separate fisheries, depending on set type (free school vs FAD). Other refinements to fishery classifications were made such as: combining Ghanaian BB+PS into the same fishery; ensuring that catches for all fleets are taken into account in the model (for this purpose, Region 3 catches by surface gears would be added to the catches by Other LL in the same region); ensuring that Spanish BB catches in the ETRO area would be included in the corresponding fisheries. A summary of the fisheries is contained in **Table 9**.
- **CPUE series.** CPUE series by year and quarter will be prepared by the Secretariat using Task II data, except the following which will be prepared by national scientists:
 - 1) Japanese LL (series 10, 11 and 12)
 - 2) Brazil LL, separate series for Fisheries 14 and 15.
 - 3) Azores BB, for Fishery 9

9. Report adoption and closure

The Chairman again thanked the local hosts for the organization of the meeting. The report was adopted and the meeting adjourned.

Literature cited

- ANON. 2004. 2003 ICCAT Atlantic Yellowfin Tuna Stock Assessment Session. Collect. Vol. Sci. Pap. ICCAT, 56(2): 443-527.
- ANON. 2007. Report of the 2006 ICCAT Inter-sessional Tropical Species Working Group (*Sète, France, April 24 to 28, 2006*). Collect. Vol. Sci. Pap. ICCAT, 60(1): 1-90
- ARIZ J. and D. Gaertner. 1999. A study of the causes of the increase of the catches of bigeye tuna by the European purse seine tuna fleets in the Atlantic Ocean. Program UE DG-Fish (96/028).
- BEVERTON, R.J.H. and S.J. Holt. 1956. A review of methods for estimating mortality rates in exploited fish populations, with special reference to sources of bias in catch sampling. Rapp. P.-V. Réun, CIEM, 140: 67-83.
- CAYRE, P., T. Diouf, A. Fonteneau et M.H Santa Rita Vieira. 1986. Analyse des données de marquages et recaptures de listao (*Katsuwonus pelamis*) réalisés par le Sénégal et la République du Cap-Vert. In. *Proceedings of the ICCAT Conference on the International Skipjack Year Program*. P.E. K. Symons, P.M. Miyake & G.T. Sakagawa (eds.) pp. 309-316.
- CAYRE, P. and F. Laloe. 1986. Relation poids-longueur de listao (*Katsuwonus pelamis*) de l'Océan Atlantique. Proc. ICCAT Intl. Skipjack Yr. Prog. 1: 335-340.
- GAERTNER, D., J.P. Hallier and M.N. Maunder. 2004. A tag-attrition model as a means to estimate the efficiency of two types of tags used in tropical tuna fisheries. *Fish. Res.*, 69: 171-180

- GAERTNER, D., P. Kebe and C. Palma. 2007. Some clues for correcting the tagging database of tropical tunas. Collect. Vol. Sci. Pap. ICCAT, 60(1): 185-189.
- HERVE A., R. Dédo, S. Diomande et A. Gobo. 2004. Actualisation des quantités de "faux-poissons" débarquées par les senneurs à Abidjan de 1981 à 2004. Collect. Vol. Sci. Pap. ICCAT, 56(2): 443-527.
- ICCAT. 2006. ICCAT Statistical Bulletin, Vol. 35.
- MIYABE, N., Y. Takeuchi, H. Okamoto and V.R. Restrepo. 2005. A new attempt of Atlantic bigeye tuna (*Thunnus obesus*) stock assessment by statistical integrated model (MULTIFAN-CL). Collect. Vol. Sci. Pap. ICCAT, 57(2):177-200.
- OKAMOTO, H. 2007. Standardized Japanese longline CPUE for yellowfin tuna in the Atlantic Ocean from 1965 up to 2005. Collect. Vol. Sci. Pap. ICCAT, 60(1): 342-350.
- ORTIZ DE ZÁRATE, V. de & M. Bertignac. 2002. Analysis of tagging data from North Atlantic albacore (*Thunnus alalunga*): attrition rate estimates. Collect. Vol. Sci. Pap. ICCAT, 4(5): 1438-1453.
- ROMAGNY B., F. Ménard, P. Dewals, D. Gaertner et N. N'Goran. Le " faux-poisson " d'Abidjan et la pêche sous DCP dérivants dans l'Atlantique tropical Est : circuit de commercialisation et rôle socio-économique. In « Pêche thonière et dispositifs de concentration de poissons. Ed. Ifremer, Actes colloq, 28, 634-652.
- SHUFORD, R.L., J.M. Dean, B. Stequert, E. Morize. 2007. Age and growth of yellowfin tuna in the Atlantic Ocean. Collect. Vol. Sci. Pap. ICCAT, 60(1): 330-341.

RAPPORT DE LA RÉUNION INTERSESSION 2007
DU GROUPE D'ESPÈCES DE THONIDÉS TROPICAUX
(Recife, Brésil - 11-16 avril 2007)

1. Ouverture, adoption de l'ordre du jour et organisation des sessions

La réunion a été ouverte par le Dr. Sergio Gomes de Mattos du Secrétariat Spécial brésilien pour l'Aquaculture et les Pêcheries qui a présenté une déclaration de bienvenue (**Appendice 1**), au nom du Secrétaire Spécial, M. Altemir Gregolin. Le Dr Victor Restrepo, au nom de M. Driss Meski, Secrétaire exécutif de l'ICCAT, a remercié le Gouvernement brésilien pour accueillir la réunion et fournir toute la logistique.

La liste des participants figure à l'**Appendice 2**. L'ordre du jour (**Appendice 3**) a été adopté avec des modifications. La liste des documents présentés à la réunion est jointe à l'**Appendice 4**. La réunion a été présidée par le Dr Renaud Pianet et les personnes suivantes ont assumé les fonctions de rapporteurs :

| <i>Rapporteurs</i> | <i>Sections</i> |
|------------------------------------|---------------------|
| V. Restrepo | Points 1, 7, 8 et 9 |
| P. Kebe, G. Scott | Point 2 |
| R. Pianet | Point 3 |
| S. Cass-Calay | Point 4 |
| C. Brown, D. Gaertner & H. Okamoto | Point 5.1 |
| J. Ariz et A. Delgado | Points 5.2 et 5.3 |
| P. Kebe et J. Walter | Point 6 |

2. Actualisation des statistiques de base et de la prise par taille

2.1 Tâche I

Le Secrétariat a présenté le tableau des captures (**Tableau 1**) pour les trois espèces tropicales (albacore, thon obès et listao) au titre des années 1950-2005. Depuis la dernière réunion du SCRS tenue en 2006, quelques améliorations ont été apportées afin d'actualiser la base de données de la Tâche I de l'ICCAT en fonction des changements approuvés par le Groupe d'espèces et le SCRS. Les modifications réalisées à ce jeu de données étaient comme suit :

- 1) reclassification des captures des canneurs espagnols (îles Canaries) et portugais (Açores) ;
- 2) ajustement des prises vénézuéliennes selon un document de Nova & Ramos et approuvé par le Groupe d'espèces tropicales ; et
- 3) corrections des prises des senneurs guatémaltèques qui avaient été déclarées à deux reprises.

Le Groupe a réitéré la nécessité, à des fins scientifiques, de recevoir des Parties contractantes et des Parties, Entités ou Entités de pêche non-contractantes coopérantes les informations sur les caractéristiques des flottilles (Formulaire 1) requises par le Secrétariat, ainsi que les données de la Tâche I. Cette information est très importante pour l'évaluation historique de la capacité de pêche et la caractérisation de l'effort déployé pour capturer les thonidés dans la zone de la Convention ICCAT.

Les discussions sur les données relatives à l'Angola et au Cap-Vert pour les années antérieures à 1960, lorsque les pêcheries thonières nationales de ces pays étaient très actives, ont conclu qu'il fallait encourager la collaboration entre les scientifiques et les instituts portugais afin de récupérer les informations manquantes.

Le Groupe a décidé que les données de capture de la Tâche I déclarées dans la catégorie FIS (France, Côte d'Ivoire, Sénégal) seront ventilées par pays avant septembre 2007 par les scientifiques de l'IRD. Il serait utile de réaliser le même exercice pour les données de la Tâche II afin de rattacher les données révisées de la Tâche I avec celles de la Tâche II. Malheureusement, comme les données de base des navires ont été perdues, cet exercice paraît presque impossible.

Il a été noté que les prises de certains navires opérés par des Européens sous pavillon ghanéen ont été déclarées comme NEI. On a recommandé de les retirer de la catégorie NEI et de les affecter au pavillon ghanéen.

2.2 Tâche II

Le Secrétariat a déclaré que les données de la Tâche II (prise et effort et échantillonnage de taille) étaient disponibles mais que ces jeux de données n'avaient pas fait l'objet d'analyses complètes. Le Groupe a examiné les recommandations formulées lors de la réunion antérieure du Groupe d'espèces tropicales qui s'était tenue à Sète, France (Anon., 2007), qui portaient essentiellement sur la nécessité de corriger quelques divergences apparentes entre plusieurs pêcheries. Au cours des discussions, on a annoncé que de nouvelles informations sur la Tâche II du Brésil seraient bientôt disponibles.

Le Secrétariat a rappelé le besoin de disposer d'échantillons de taille à l'échelle la plus fine possible, bien que certains pays aient du mal à satisfaire à cette requête. Il a été noté que pour la flottille européenne, l'échantillonnage des tailles soumis au Secrétariat avait été extrapolé dans une certaine mesure et que les échantillons des tailles réelles pouvaient être soumis, si nécessaire. On a également noté qu'il pourrait être utile de déclarer les données de la pêcherie palangrière à la même échelle.

2.3 Prise par taille

2.3.1 Listao. Le Secrétariat a présenté la nouvelle version de la prise par taille (**Tableau 2**) au titre des années 1969 à 2005. En raison des nombreuses données reçues au Secrétariat après la première évaluation sur le listao (1999), le Secrétariat a décidé de recréer le jeu de données complet. Les règles de substitution utilisées ont été présentées au **Tableau 3**. Le Groupe a félicité le Secrétariat pour l'excellent travail et l'importante amélioration qu'il avait réalisés en reconstruisant la prise par taille du listao. Afin d'examiner dans le détail les informations disponibles, le Groupe a effectué davantage d'analyses, les données étant divisées par pavillon, engin et stock.

Afin de renforcer la qualité de ces données, une série de diagnostics graphiques ont été mis au point afin de fournir une méthode visuelle pour évaluer les schémas de la prise par taille estimée dans un large groupement de définitions d'engin et de zone. Le Groupe d'espèces a décidé de désagréger la prise par taille par pêcheries, telle que définie au **Tableau 4**.

Les graphiques montrant les profils annuels de prise par taille du listao pour chacune de ces pêcheries sont indiqués à l'**Appendice 6** et devraient être utilisés pour orienter les analyses futures de ces données.

2.3.2 Albacore. Le Secrétariat a présenté un nouveau jeu de données de prise par taille pour les années 1970-2005 (**Tableau 5**), qui incluait la dernière révision complète faite par les scientifiques japonais. Le fichier a été divisé par flottille et zone afin d'effectuer d'autres analyses à une échelle plus fine.

Pour l'albacore et le listao, le Secrétariat a présenté la distribution pondérale moyenne par groupe d'engin et tous engins confondus.

2.3.3 Thon obèse. Le Secrétariat n'a présenté aucune nouvelle information pour cette espèce, sachant que l'évaluation intégrale sur le thon obèse aura lieu au mois de juin 2007 ; la prise par taille du thon obèse sera actualisée et présentée avant cette date.

3. Estimation des débarquements qui ne sont ni rejettés ni destinés aux usines de mise en conserve (« faux-poisson »)

Le Président a présenté les informations disponibles sur la base de deux documents et des nouvelles données qu'il avait reçues de la Côte d'Ivoire.

Depuis de nombreuses années, les thons de petite taille, les thonidés mineurs et les prises accessoires refusés par les usines de mise en conserve sont vendus à Abidjan, sur le marché aux poissons local, sous le nom de « faux-poisson ». Cette possibilité a incité les senneurs thoniens à conserver à bord une partie de leurs prises qui aurait été auparavant rejetée. En conséquence, les quantités de « faux-poisson » débarquées ont rapidement augmenté, notamment depuis les années 1990 avec l'essor de la pêche avec des dispositifs de concentration du poisson (DCP), qui capture davantage de petits thons et d'espèces accessoires. Toutefois, les quantités se sont réduites depuis 1994, en raison des contrôles mis en œuvre par des sociétés de pêche françaises et de la capacité de transport restreinte des senneurs restants. On peut définir le « faux-poisson » comme la partie des prises thonières industrielles qui est consommée localement.

L'estimation de ces prises de « faux-poisson » date de 1981 à l'initiative de F.X. Bard. D'abord, les quantités débarquées ont été estimées à partir de l'information recueillie auprès des douaniers aux divers points de sortie du port de pêche, mais il a rapidement été constaté que cette information était largement sous-estimée. En conséquence, ORSTOM (antérieurement IRD) a mis progressivement en place son propre système pour recueillir cette information, au moyen d'une comptabilisation exhaustive de tous les fourgons et camions qui transportaient des thonidés à l'extérieur du port. Le système est censé être totalement opérationnel depuis 1994. Les quantités annuelles estimées de « faux-poisson » par rapport à la quantité totale de thons déchargés sont présentées au **Tableau 6** et à la **Figure 1**.

Dans le cadre du « Programme thon obèse » de la Direction Générale-Pêches de l'Union européenne, complémentaire au Programme d'Année Thon obèse de l'ICCAT (BETYP), un schéma d'échantillonnage spécial (composition par espèce et tailles) a été mis en place (1997-1999). L'échantillonnage a ensuite été amélioré afin d'estimer le nombre de fourgons et/ou camions par jour et par thoniers, et déterminer visuellement la composition spécifique du déchargement de ces « faux-poissons » (consulter le formulaire établi par R. Dédo, **Tableau 7**). L'information relative aux navires est disponible depuis le mois d'août 1994 et elle est désormais déclarée sous une catégorie spéciale.

Les résultats de ces échantillonnages pour les deux périodes, 1997-1998 et 2004-2005, sont présentés au **Tableau 8** et à la **Figure 1**. Ils indiquent des variations assez importantes qui pourraient être attribuées à l'origine du pavillon des déchargements (quantités accrues des transporteurs ghanéens). La composition spécifique et la distribution par taille de ces captures sont également déclarées aux **Figures 2** et **3**. Des analyses plus détaillées de toute l'information disponible sont nécessaires afin d'améliorer ces estimations, et notamment le volume d'albacore, de thon obèse et de listao concernés.

Le Groupe a estimé que ces données étaient importantes sachant que les quantités en question sont considérables, notamment pour le listao. Le fait qu'il s'agisse essentiellement de petits poissons (35-45 cm) est également préoccupant. Il est estimé que même s'il est difficile d'évaluer le mélange entre les espèces des principaux thonidés, il faudrait essayer de réaliser une étude plus exhaustive avec toutes les informations disponibles qui ont été recueillies et les résultats seraient utilisés pour les évaluations.

Il a été suggéré que le meilleur moyen de tenir officiellement compte de ces captures était de les considérer comme des rejets. Le Groupe d'espèces tropicales est chargé d'étudier la meilleure solution à sa réunion d'octobre 2007.

4. Examen des nouvelles informations biologiques

Deux documents ont été présentés au Groupe (SCRS/2007/057 et Shuford *et al.* 2007). Le document SCRS/2007/057 décrit la variabilité latitudinale dans les taux de croissance du listao (*Katsuwonus pelamis*) de l'Atlantique Est. Les données de marquage conventionnel recueillies par l'ICCAT depuis les années 1960 ont été ré-analysées à l'aide du modèle de croissance von Bertalanffy-Fabens. Les résultats de cette étude suggèrent que les paramètres de croissance du listao varient en fonction de la latitude. La L_{∞} estimée pour le listao marqué et récupéré au nord de 10°N était très similaire à la L_{∞} estimée pour le listao marqué et récupéré au sud de 10°N (94,1 cm contre 92,9 cm, respectivement). Toutefois, les coefficients estimés des taux de croissance, K , ont différé dans les deux régions (0,353 par opposition à 0,195), ce qui suggère que la croissance du listao est plus rapide dans la région septentrionale de l'Atlantique Est que dans les zones équatoriales. Les paramètres de croissance estimés pendant cette étude concordaient avec ceux obtenus du listao marqué dans le cadre des activités du Projet de recherche « Mattes Associées aux Canneurs (MAC) » menées dans la zone sénégalaise ($L_{\infty} = 97,26$ et $K = 0,251$). Par contraste, les paramètres de croissance estimés déclarés par Cayré *et al.* (1986) pour la même région ($L_{\infty} = 62,0$ et $K = 2,08$) se sont avérés assez différents et n'ont pas été étayés par cette analyse.

Le Groupe a envisagé les implications de ces résultats. Il ressort clairement que la variabilité latitudinale des taux de croissance compliquerait les techniques d'évaluation structurées par âge car la taille par âge dépendrait du lieu géographique et des schémas de déplacement. Les auteurs ont suggéré d'éventuelles alternatives aux modèles standard structurés par âge, y compris l'emploi de modèles de prise par taille et de matrices de transition de croissance par grandes zones géographiques.

Le Groupe a formulé plusieurs recommandations susceptibles d'améliorer l'estimation future des taux de croissance pour le listao. Il a reconnu que l'erreur de mensuration est un problème commun aux données de marquage. Certains membres étaient préoccupés par le fait que l'exclusion des poissons dont la taille avait baissé

de plus de 2 cm à leur récupération pourrait fausser les paramètres de croissance estimés (étant donné que la taille mesurée pourrait être aussi bien supérieure qu’inférieure à la taille réelle). Une alternative possible consisterait à exclure les poissons si la croissance apparente était \pm 3SD par rapport à la croissance escomptée. Le Groupe a également suggéré qu’un biais supplémentaire pourrait surgir dans les taux de croissance spécifiques à la région si la proportion des poissons exclus différait entre les régions.

Le Groupe a suggéré qu’il serait important d’examiner les effets de la saisonnalité et l’éventuelle sensibilité au temps minimum acceptable passé en haute mer.

Le Groupe a aussi reconnu que des changements dans la sélectivité peuvent provoquer la perception d’un changement dans les paramètres de croissance. Ce problème a été démontré dans le Golfe du Mexique nord-américain après que des changements aient eu lieu dans la taille minimum légale. Le Groupe a discuté des éventuelles différences de sélectivité au Nord et au Sud de 10°N (c’est-à-dire différentes proportions de DCP par opposition à des échantillons sur bancs libres). Une technique possible pour estimer les paramètres de croissance de la population à l’aide des données dépendantes des pêcheries (soumises à sélection) consiste à utiliser une technique de « vraisemblance tronquée ». Cette technique a été récemment utilisée lors des évaluations menées dans le Golfe du Mexique nord-américain (comm. pers. M. Ortiz²).

Le Groupe a également discuté de l’importance de recueillir des observations directes de l’âge des thonidés tropicaux à partir de l’analyse des pièces dures réalisée grâce aux techniques modernes. Si l’on disposait d’observations directes de la composition démographique des thonidés tropicaux, il ne serait pas nécessaire d’estimer la composition démographique à l’aide de techniques (découpage des âges, clefs âge-longueur) connues pour se voir affectées si la taille par âge est très variable, ou si le frai survient pendant toute l’année.

Le document de Shuford *et al* (2007) a été présenté au Groupe. Ce document aborde la recommandation formulée lors de l’évaluation du stock d’albacore de l’ICCAT de 2003, selon laquelle des travaux de recherche devraient être réalisés afin de valider la courbe de croissance utilisée pour l’albacore. Dans cette étude, une courbe d’âge et de croissance est obtenue en utilisant des estimations de l’âge directement déterminées à partir de la microstructure quotidienne des otolithes sagittaux de 132 poissons (5,2 – 179 cm FL) capturés dans le Golfe de Guinée et en Caroline du Nord. A l’aide des estimations de l’âge et des longueurs à la fourche correspondantes, la courbe et les paramètres de croissance ont été obtenus avec la fonction de croissance von Bertalanffy. Le coefficient de croissance résultant (k) est 0,281 ; la FL maximum théorique, (L_{∞}) 245,5cm; et la FL théorique à l’âge zéro (t_0), 0,042.

Afin d’évaluer la contribution relative de diverses périodes de frai tout au long de l’année (qui sont auto-corréllées aux diverses zones de frai), il est recommandé de mener à bien davantage de travaux de recherche à l’aide de méthodes de détermination directe de l’âge (ou d’autres méthodes appropriées) capables d’estimer le mois de naissance étant donné qu’il paraît y avoir moins de saisonnalité dans le mois de naissance pour certaines espèces tropicales (p.ex. cf. **Appendice 5**). Il conviendrait de concevoir un échantillonnage représentatif de la capture et/ou du stock.

Les données étant cette fonction de croissance von Bertalanffy étaient irréfutables. Toutefois, il a été signalé qu’une période initiale de lente croissance a été démontrée à l’aide de données de marquage. Le Groupe n’a pas conclu qu’il y avait suffisamment de preuves à cette époque pour rejeter la fonction de croissance à deux stances actuellement postulée pour l’albacore, bien qu’il ait encouragé la réalisation de travaux supplémentaires sur cette question (y compris un examen des études de marquage pertinentes). Le Groupe a également recommandé que des analyses soient faites afin de déterminer l’effet des différentes fonctions de croissance sur la composition démographique estimée, ainsi que les implications de ces différences sur les estimations de la mortalité totale obtenues des analyses courbe-capture. Cette analyse a été réalisée pendant la réunion et se trouve récapitulée à l'**Appendice 5**. Les résultats indiquent que la composition démographique obtenue du découpage des âges est sensible à la courbe de croissance, et que cette différence pourrait être suffisante pour provoquer des changements dans les estimations de la mortalité totale.

Le Groupe a conclu que le fait de changer le modèle de croissance pourrait modifier les estimations de l’état des stocks. C’est pourquoi le Groupe a recommandé que les données originelles soient récupérées. Ces données devraient être utilisées pour déterminer la façon dont les fonctions de croissance ont été élaborées, pour tester les structures et les ajustements de modèle alternatifs et pour déterminer le potentiel pour le développement d’un modèle qui incorpore les deux jeux de données.

² Communication personnelle. Mauricio Ortiz, US DOC National Marine Fisheries Service, Southeast Fisheries Science Center, Miami Laboratory. 75 Virginia Beach Dr. Miami, FL USA 33149. Mauricio.Ortiz@noaa.gov

5. Examen des indicateurs des pêcheries

Les indicateurs généraux sont à la section 5.2 ; la section 5.1, ci-après, fait état d'indicateurs spécifiques aux espèces.

Les prises totales de thonidés tropicaux de l'Atlantique (albacore, listao et thon obèse) par engin sont indiquées à la **Figure 4**. La prise globale dégage une tendance à la hausse, atteignant 474.084 t en 1994, suivie par une tendance décroissante lors de la période la plus récente. Les tendances des captures sont essentiellement dues au développement de la pêcherie de senneurs.

5.1 Indicateurs concernant l'état des stocks

5.1.1 Listao

Tendance générale de la prise de listao

Comme il est indiqué à la **Figure 5**, les prises totales de listao dans l'océan Atlantique sont en baisse continue depuis leur maximum de 1991 (175.000 t), mais elles connaissent une lente augmentation ces dernières années (138.000 t en 2005).

En ce qui concerne l'Atlantique Est, la pêcherie de listao a connu d'importants changements au début des années 1990, à la suite de l'introduction des objets flottants artificiels (DCP) par les senneurs de l'Union européenne et au sein des pêcheries de senneurs et de canneurs ghanéens. En outre, une méthode de pêche a été mise au point au moyen de laquelle le canneur est utilisé comme objet flottant dans les eaux au large du Sénégal, de la Mauritanie et des îles Canaries (1992). Tous ces changements ont provoqué une augmentation de la biomasse exploitabile du stock de listao (notamment en raison de l'expansion de la zone de pêche vers l'Ouest), et de la capturabilité du listao. Malgré ces changements, les prises des senneurs ont baissé, comme il a été auparavant décrit pour la prise totale. Cette baisse est probablement la conséquence de la mise en œuvre du moratoire à la pêche avec DCP ainsi que de la diminution de l'effort de pêche nominal. Toutefois, la prise a augmenté ces dernières années. Pour les pêcheries à la canne et à l'hameçon, les prises sont demeurées stables à environ 40.000 t depuis la fin des années 1970.

Après avoir fluctué entre 2.000 et 3.000 t/an, les prises de listao de l'Atlantique Ouest ont atteint un record d'environ 40.000 t en 1985. Depuis ce maximum, les prises occidentales (dues essentiellement à la pêcherie de canneurs brésiliens) se sont maintenues à un niveau proche de 3.000 t (**Figure 6**).

Indices d'abondance apparents

Le Groupe a souligné l'importance d'actualiser les taux de capture des principales pêcheries déclarant les prises de listao. Il convient de signaler que le listao est souvent une espèce secondaire, en fonction du prix différentiel et de la capturabilité d'autres espèces cibles. Par conséquent, l'estimation de l'effort effectif exercé sur le listao (p.ex. l'effort proportionnel à la mortalité par pêche) demeure problématique et le taux de capture peut parfois dégager une tendance différente par rapport à celle de l'abondance.

Pour les senneurs qui alternent la pêche sur bancs libres et avec DCP, on a estimé que le temps de recherche pourrait constituer la meilleure mesure de l'effort de base sur bancs libres. On a également suggéré que le jeu de données d'analyse pourrait être davantage limité à l'effort associé aux jeux sur bancs libres en postulant que les navires qui parcourront de plus longues distances la nuit se déplacent entre les DCP, étant donné qu'ils ne peuvent pas rechercher des bancs libres pendant la nuit. Toutefois, cette approche pourrait vraisemblablement nécessiter des études supplémentaires, y compris l'incorporation de données VMS, afin de déterminer si elle est à la fois faisable et appropriée. Un nouveau Projet financé par l'Union européenne, CEDER, (Estimations de la capture, de l'effort et des rejets en temps réel), lancé en 2006, abordera en partie cette question. L'idée de base développée dans le cadre de ce projet vise à analyser la trajectoire individuelle des senneurs afin de caractériser les comportements de pêche reflétant le temps de recherche d'un banc non-associé ou le déplacement vers un DCP détecté auparavant par radiobalise (il faut toutefois garder à l'esprit que quel que soit le mode de pêche recherché, il est possible de réaliser des opérations de pêche sur un banc de thons détecté par hasard). D'autres facteurs dont on peut tenir compte incluent les changements dans le temps qui ont entraîné une réduction du temps nécessaire pour effectuer une opération et décharger la capture (augmentant l'efficacité de l'effort de pêche dans le temps).

Atlantique Est

Le document SCRS/2007/058 a présenté une analyse des changements survenus dans les taux de capture nominale et dans plusieurs indicateurs de la pêcherie de surface tropicale de l'Union européenne (canneurs et senneurs) qui opère dans l'Atlantique Est. La **Figure 7** illustre les changements intervenus pendant la période 1991-2006 au niveau des CPUE des senneurs communautaires pour les deux modes de pêche (c'est-à-dire opérations en bancs non-associés et avec DCP). Sur cette figure, on peut voir que le taux de capture du listao capturé sur bancs libres fluctue au fil des années (environ 1 à 4 t/jour de recherche), mais sans dégager de tendance. L'augmentation de la CPUE du listao associée aux DCP depuis 1999 pourrait être due en partie à une plus grande capture par opération positive (**Figure 7**, panneau inférieur).

En ce qui concerne les canneurs européens basés à Dakar (Sénégal), les taux de capture nominale du listao se sont régulièrement accrus durant toute la série temporelle (**Figure 8**). Lorsqu'on analyse ces données, il faut garder à l'esprit que depuis le début des années 1990, ces canneurs ont développé une technique de pêche (essentiellement pour cibler le thon obèse) au moyen de laquelle le canneur est utilisé comme un objet flottant, fixant le banc (composé de thons obèses, d'albacores et de listao) au cours de toute la saison de pêche dans les eaux au large du Sénégal et de la Mauritanie. En conséquence, il paraît raisonnable de supposer que l'adoption de cette technique de pêche a accru la capturabilité globale des thoniidés. Il convient de noter toutefois que le schéma décrit pour le listao contraste avec les tendances décroissantes des CPUE observées pour les deux autres espèces tropicales.

Pendant la réunion tenue à Sète (France), en 2006, il a été recommandé que les scientifiques de diverses Parties contractantes réalisent des analyses des tendances de la CPUE pour les pêcheries situées à la périphérie de la zone de distribution des espèces. Au cours de la réunion du Groupe d'espèces, on a présenté et discuté des résultats de la standardisation des CPUE des canneurs des Açores. Comme prévu, en raison de l'emplacement de cette zone de pêche eu égard à la gamme de distribution du listao, l'indice standardisé a dégagé une forte variabilité, mais sans tendance significative (**Figure 9**).

Atlantique Ouest

Contrairement aux vastes zones de pêche observées dans la partie orientale de l'océan Atlantique, les lieux de pêche dans l'Atlantique Ouest sont généralement davantage côtiers (une explication donnée est que la plus grande profondeur de la thermocline et de l'oxycline vers l'Atlantique central limite les zones dotées de conditions favorables pour la pêcherie thonière de surface). La pêcherie de canneurs brésiliens représente une intéressante étude de cas sachant que le listao constitue sa principale espèce cible. La CPUE nominale n'a pas été actualisée depuis la dernière réunion du SCRS, mais aucune tendance ne semble se dégager, même si l'on observe une forte variabilité (**Figure 10**). Il convient de noter que les taux de capture déclarés pour cette pêcherie sont plus élevés que les CPUE observées dans toutes les pêcheries de canneurs de l'Est. Pour les senneurs vénézuéliens qui pêchent principalement dans la mer des Caraïbes, aucune nouvelle information n'a été fournie depuis la dernière réunion du SCRS. On ne connaît pas la raison de la diminution des CPUE nominales observée depuis 2002 (**Figure 10**) (il pourrait s'agir de modifications des conditions environnementales locales, d'une abondance moins forte du listao ou de ses proies, d'une plus faible assistance des canneurs afin de maintenir les bancs de thons stationnaires près de la surface pendant le mouillage, etc.).

On a présenté pendant la réunion les résultats préliminaires concernant la standardisation du taux de capture du listao capturé par la pêcherie récréative nord-américaine, avec un modèle delta lognormal. Suite aux recommandations du Groupe d'espèces, on a réalisé, à titre d'essai, une deuxième analyse tenant compte d'une meilleure catégorisation de certaines variables explicatives (p.ex. zones géographiques plus vastes, omission des strates où la présence de listao est peu probable, etc.). On a démontré que la proportion de captures positives augmentait lentement, tandis que les prises pour les sorties positives demeuraient relativement constantes. Néanmoins, comme les intervalles de confiance demeurent très grands et que les CPUE standardisées fluctuent comme l'indice nominal (**Figure 11**), des études supplémentaires sont requises.

Poids moyen

Le Groupe a également discuté d'un certain nombre d'autres analyses susceptibles de fournir une indication de l'état des stocks en l'absence d'une évaluation complète. Parmi ces indicateurs auxiliaires, les changements du poids moyen des poissons capturés dans le temps pourraient s'avérer utiles. Une réduction du poids moyen pourrait refléter l'augmentation ou le maintien de la mortalité par pêche élevée, bien qu'une réduction initiale de la taille moyenne soit escomptée dans une pêcherie et les changements pourraient également illustrer des changements de sélectivité ou de période de recrutement (à des tailles inférieures).

Les échantillons de taille pour les poissons capturés à la palangre dans l'ensemble de l'Atlantique sont trop rares pour fournir une indication fiable du schéma de taille moyenne de la prise palangrière totale (*cf.* **Appendice 6**).

Atlantique Est

Le poids moyen du listao dans l'Atlantique Est varie entre 2 et 3 kg (**Figure 12**). Une lente diminution peut être observée de 1969 à la fin des années 1980 à la fois pour les senneurs et les canneurs. Cet indicateur demeure stable au cours de la dernière décennie. Le Groupe a souligné la nécessité d'examiner plus avant l'information pour les pêcheries identifiées au **Tableau 4** afin de mieux évaluer l'impact de la pression de la pêche sur les différentes composantes de ce stock.

Atlantique Ouest

Le poids moyen du listao est plus élevé dans l'Atlantique Ouest que dans l'Atlantique Est (3 – 4,5 kg contre 2,5 – 3 kg, respectivement ; *cf.* **Figure 13**). Ceci est notamment le cas pour la pêcherie dirigée de canneurs brésiliens au cours des 20 dernières années (à l'exception des deux dernières années pour lesquelles cet indicateur a baissé). Le poids moyen du listao débarqué par les senneurs (principalement du Venezuela) est moins élevé que pour les canneurs et chute de façon continue jusqu'à 2 kg environ.

Le document SCRS/2007/054 présentait l'information sur les changements dans le temps de la longueur moyenne du listao capturé par les palangriers nord-américains. Même si le listao est une espèce accessoire de la palangre et même s'il existe une certaine variabilité dans la longueur moyenne entre les différentes zones exploitées par cette pêcherie, le schéma global suggère une lente augmentation de la longueur ces 15 dernières années (approximativement de 62 à 70 cm). Ce schéma correspond à un changement du poids moyen approximativement de 4 à 5 kg (**Figure 14**).

5.1.2 Albacore

Tendances des captures

Contrairement aux captures croissantes d'albacore dans d'autres océans du monde, les prises globales dans l'Atlantique connaissent une chute constante depuis 2001 (**Tableau 1** ; **Figure 15**). Les prises de la pêcherie de surface opérant dans l'Atlantique ont connu une baisse de 2001 à 2005, tandis que les prises palangrières ont généralement fluctué sans tendance clairement établie. Les captures des senneurs ont diminué de plus de 55% par rapport au niveau maximum atteint en 1990.

On ne peut pas immédiatement établir la mesure dans laquelle les baisses de capture peuvent résulter des réductions de la taille des stocks ou bien si elles sont dues aux réductions des niveaux de l'effort ciblé. On pense que la réduction de la capacité de transport des senneurs dans l'Atlantique (comme conséquence du vieillissement et de la réduction de la flottille de senneurs existante au fur et à mesure que des navires plus récents sont introduits dans l'océan Indien) a eu un profond impact sur les niveaux de capture (**Figure 16**). Le fait que depuis les années 1990, une plus grande proportion d'opérations de pêche soit réalisée avec DCP (**Figure 17**) a accru la proportion des listaos dans chaque opération et a diminué la taille moyenne de l'albacore dans une opération. Il est possible que les réductions des prises palangrières puissent être dues, du moins en partie, à un changement de ciblage en faveur du thon obèse.

Indice d'abondance

Senneurs et canneurs dans l'Atlantique Est

La plus grande base de données de prise et d'effort, qui couvre la plus grande et la plus vaste pêcherie d'albacore, est celle correspondant aux pêcheries de canneurs et senneurs tropicaux de l'Atlantique Est opérées par des flottilles européennes et associées. Le document SCRS/2007/058 présente les principales statistiques et caractéristiques de ces pêcheries de 1991 à 2006.

De manière générale, les prises des senneurs dégagent une tendance à la baisse, notamment depuis 2001, bien qu'un léger rétablissement soit observé dans les captures préliminaires de 2006 en raison de l'augmentation des prises sur bancs libres (**Figure 19**). Les taux de capture nominale montrent des tendances croissantes ou stables (**Figures 20 et 21**). Toutefois, ces tendances n'ont pas été ajustées pour tenir compte des changements technologiques et méthodologiques dans la pêcherie (c'est-à-dire de l'utilisation du sonar sur les DCP, radar à oiseaux) qui sont supposés accroître la puissance de pêche.

Les taux de capture de l’albacore ont généralement connu une baisse pour les canneurs dont le port d’attache est à Dakar (**Figure 8**), tandis que la capacité de transport s’est régulièrement accrue (**Figure 18**). On ne sait pas au juste comment la tendance des taux de capture a été affectée par l’adoption, dans les années 1990, de techniques employant le canneur comme dispositif de concentration du poisson. Depuis la fin des années 1990, les taux de capture fluctuent sans dégager de tendance claire.

Senneurs dans l’Atlantique Ouest

Aucune nouvelle information n’est disponible des pêcheries de senneurs dans l’Atlantique Ouest.

Indices palangriers et de canne et moulinet

On a présenté à la réunion plusieurs indices de CPUE de pêcheries autres que celle des senneurs. Tous les indices ont été standardisés à l’aide d’un GLM, différent dans le postulat de la distribution d’erreur (log-normal ou Poisson). Ils avaient en commun les mêmes facteurs de base, tels que l’année, la saison et la zone, ainsi que d’autres facteurs particuliers à chaque cas.

Deux indices ont été présentés pour la pêcherie palangrière pélagique des Etats-Unis de 1987 à 2006 (SCRS/2007/055) obtenus à l’aide des carnets de pêche des pêcheurs, en nombre de poissons et en biomasse (en ajustant les chiffres des carnets de pêche par le biais des poids moyens par période et par zone à partir des données d’observateurs). Ces indices montrent une claire tendance à la baisse jusqu’en 2003, suivie d’une augmentation au cours de ces trois dernières années (**Figure 22**). Les indices en nombre de poissons ont également été développés pour la pêcherie palangrière pélagique des Etats-Unis à l’aide des données d’observateurs et ils sont présentés dans le document SCRS/2007/056. La **Figure 23** illustre l’indice basé sur les observateurs couvrant toute la pêcherie palangrière pélagique des Etats-Unis par rapport à l’indice basé sur les carnets de pêche. La variabilité relativement élevée de l’indice pourrait être influencée par la taille de l’échantillon des données d’observateurs. Un indice distinct a également été calculé pour la palangre pélagique nord-américaine dans le Golfe du Mexique à l’aide des données d’observateurs nord-américains (**Figure 24**), indiquant une forte variabilité sans tendance claire. Ces résultats pourraient s’améliorer une fois que sera achevée l’incorporation des données d’observation mexicaines, qui vise à calculer un indice combiné.

Le document SCRS/2007/059 présentait un indice numérique pour la pêcherie palangrière brésilienne (1978-2005). Aucune tendance claire n’était manifeste et les valeurs étaient fortement variables dans les années 1990 (**Figure 25**). Les discussions se sont axées sur l’importance du facteur de ciblage, qui a été calculé à l’aide d’une analyse par grappes. On a estimé que cette approche pourrait ne pas pleinement capturer les changements réels du comportement de ciblage, et que ceci pourrait au moins en partie expliquer la variabilité.

Okamoto (2007) a présenté un indice pour la flottille palangrière japonaise (1965-2005) en nombre de poissons qui utilisait, outre les facteurs communs, des facteurs environnementaux, tels que la température à la surface de l’eau. Le jeu de données de prise et d’effort a été regroupé par mois, carré de 5° et nombre d’hameçons entre flotteurs. Les données de 2005 ont été considérées préliminaires. L’indice reflétait une claire tendance générale à la baisse (**Figure 26**), bien que les estimations ponctuelles au titre de 2003 et 2004 aient montré un certain rétablissement (antérieur à l’estimation préliminaire de 2005). Cet indice a la plus large couverture spatio-temporelle de tous les indices d’abondance standardisé de l’albacore.

Le document SCRS/2007/052 présentait un indice, en nombre de poissons, pour la pêcherie à la canne et moulinet des Etats-Unis (1986-2006). Cette analyse utilisait les données d’une enquête sur le terrain. Les tendances étaient assez variables, avec une tendance à la baisse de 1986 à 1992, suivie d’une tendance croissante (avec de fortes fluctuations) jusqu’en 1999, et finalement une tendance générale à la baisse. Les scientifiques ont affirmé avec préoccupation que les sorties réussies à l’intérieur du jeu de données d’analyse étaient rares, ce qui pourrait contribuer à la variabilité de l’indice. On a discuté des alternatives qui pourraient potentiellement restreindre le jeu de données d’analyse afin de se concentrer davantage sur l’effort dirigé sur l’albacore ; ce traitement alternatif a été réalisé durant la réunion et les indices actualisés (légèrement modifiés en conséquence) sont illustrés à la **Figure 27**. On envisage des améliorations supplémentaires à l’analyse afin de présenter les calculs lors de prochaines réunions.

Tendance de la longueur/poids moyens

La tendance globale du poids moyen, calculée à partir des données disponibles de prise par taille, est en baisse continue depuis 1973 (**Figure 28**). Les tendances du poids moyen par groupe d’engins sont illustrées à la **Figure 29**. Le poids moyen des prises à la senne, qui représentent la majorité des débarquements, est en diminution

depuis 1992. Cette chute est, du moins, en partie due aux changements dans la sélectivité associée à la pêche sous objets flottants. Des chutes moins spectaculaires du poids moyen sont également survenues pour les pêcheries de canneurs. Les flottilles palangrières, qui n'ont pas connu de changement de sélectivité si brusque et qui ciblent des poissons de plus grande taille, subissent une baisse générale du poids moyen depuis 1975, bien que les moyennes calculées aient fortement varié à partir de 2002. Les causes de la variabilité du poids moyen palangrier au cours de ces dernières années ne sont pas claires, bien qu'une grande partie de ces données soit considérée comme préliminaire. La valeur au titre de 2005 est préliminaire.

Afin de déterminer les changements au niveau du poids moyen pour la flottille de senneurs indépendamment du changement de sélectivité associée à la pêche avec DCP (désigné aussi « épave »), les tendances de la flottille de senneurs européens et associés ont été examinées séparément par type d'opération (**Figure 30**). Les poids moyens ont généralement chuté à la fois pour les opérations avec DCP et les opérations sur bancs libres, bien qu'un léger rétablissement ait eu lieu en 2006. Ceci suggère que la diminution des poids moyens capturés à la senne ne peut pas être entièrement attribuée à une augmentation de la proportion des opérations avec DCP. Les distributions des tailles complètes pour les deux types d'opération, en comparant la période 2001-2005 avec celle de 2006, au cours des six dernières années, sont illustrées à la **Figure 31**. La distribution des tailles pour la même période dans les flottilles de canneurs européens et associés se trouve à la **Figure 32**.

Des informations sur la longueur moyenne de l'albacore, par année, capturé par la flottille palangrière des Etats-Unis, ont été présentées (SCRS/2007/054) pendant la réunion et se trouvent à la **Figure 33**. La longueur moyenne n'a connu aucune tendance considérable au titre de la période 1992-2006.

L'examen de ces divers signaux dans la pêcherie ne remplace pas une évaluation exhaustive des stocks. Toutefois, les baisses observées dans les tendances de l'abondance standardisée des principales pêcheries palangrières, associées aux diminutions du poids moyen qui ne peuvent pas entièrement s'expliquer par un ciblage accru des opérations à la senne avec DCP, renforcent la nécessité de réaliser une évaluation exhaustive des stocks d'albacore. Il est important qu'une telle évaluation tienne compte de ces indicateurs ainsi que d'autres.

5.1.3 Thon obèse

Tendance générale de la capture de thon obèse par engin

La prise annuelle totale (**Figure 34**) a été en constante augmentation, atteignant 130.000 t en 1994, puis a rapidement chuté, à moins de la moitié, environ 60.000 t, en 2005. Cette forte chute a été observée non seulement dans les pêcheries palangrières mais aussi les pêcheries de senneurs et de canneurs. Les prises palangrières représentent environ 60-70% de la prise totale. En 2005, les prises des principales pêcheries s'élevaient à 35.400 t, 12.500 et 11.000 t pour les pêcheries de palangriers, de senneurs et de canneurs, respectivement.

Indicateurs des pêcheries présentés à cette réunion

On a présenté, pendant la réunion, les CPUE standardisées du thon obèse pour une pêcherie palangrière, deux pêcheries de canneurs et une pêcherie de senneurs. La CPUE pour le Taïpei chinois et le Japon, principales flottilles capturant le thon obèse, sera actualisée jusqu'à la prochaine évaluation sur le thon obèse qui aura lieu en juin 2007, en utilisant les dernières données disponibles.

Senneurs de l'Union européenne (SCRS/2007/058) : la prise de thon obèse réalisée par la pêcherie de senneurs de l'Union européenne, qui s'élevait à environ 30.000 t en 1993, a été ramenée à 13.000 t en 1998, demeurant au même niveau par la suite. Même si 80-90% du thon obèse a été capturé lors d'opérations avec DCP, les captures sur bancs libres ont été exceptionnellement élevées, représentant environ 30% en 2006. La CPUE pour chaque type d'opération (sur bancs libres ou avec DCP) s'est maintenue au même niveau et ne dégage aucune tendance accusée, exception faite de la CPUE relativement élevée des opérations sur bancs libres enregistrées en 2006 (**Figure 35**).

Le Groupe a discuté de la façon dont la CPUE des senneurs devrait être standardisée pour la prochaine évaluation du stock de thon obèse prévue en juin 2007. Dans les deux indices de CPUE, la « prise par opération positive » et la « prise par journée de recherche », le premier serait approprié pour le petit thon obèse, et les CPUE de deux types d'opération, sur bancs libres et avec DCP, devraient être traitées séparément (voir également la Section 8).

Canneurs de l'Union européenne basés à Dakar (SCRS/2007/058) : la prise de thon obèse des canneurs de l'Union européenne a fluctué aux alentours de 2.000-4.000 t, exception faite des fortes prises de 5.000-7.000 t enregistrées entre 1999 et 2001 (**Figure 36**). L'effort total a constamment augmenté, passant de 1.500 jours en 1991 à environ 3.500 jours au cours de ces dernières années. La CPUE (tonne/jour), qui oscillait entre 1,5 t et 2,5 t, a accusé un recul soudain, s'établissant à moins de 1,0 t et demeurant à un faible niveau depuis lors (**Figure 37**).

Palangriers brésiliens (SCRS/2007/059) : la CPUE du thon obèse de la pêcherie palangrière brésilienne a été standardisée au titre de 1978-2005 à l'aide du même jeu de données et méthode que ceux utilisés pour l'albacore. La CPUE standardisée du thon obèse (poisson/100 hameçons) était stable, s'établissant aux alentours de 0,3-0,5 t jusqu'en 2000, et demeurant à un faible niveau (environ 0,2 t) depuis lors (**Figure 38**). Il a été mentionné que les informations sur le ciblage ou la configuration d'engin ne sont pas disponibles, même si elles devraient être des facteurs importants pour standardiser les changements annuels et saisonniers dans la stratégie de ciblage.

Canneurs des Açores : la prise des canneurs des Açores, qui a fluctué entre 1.000 et 6.000 t entre 1950 et 1999, a été ramenée à moins de 1.000 t par la suite. Le thon rouge est essentiellement capturé au deuxième trimestre, de mai à juillet. La CPUE standardisée par un modèle delta-lognormal a dégagé une tendance descendante constante jusqu'en 2003, puis une tendance ascendante a été observée en 2004 et 2005 (**Figure 39**). Le Groupe a estimé que la CPUE de la pêcherie des îles Canaries devrait être différente de celles des canneurs des Açores.

Poids moyen

Au cours de la réunion, des analyses des tailles et des poids moyens au titre de ces dernières années ont été présentées pour les pêcheries de senneurs et de canneurs de l'Union européenne. Lors de la prochaine session d'évaluation sur le thon obèse, prévue en juin 2007, l'information sur la taille de cette espèce sera récapitulée en incluant d'autres pêcheries.

Senneurs de l'Union européenne : le poids moyen des prises réalisées avec DCP s'établissait de manière constante aux alentours de 4-5 kg, tandis que celui des captures effectuées sur bancs libres a fluctué entre 5 et 14 kg (**Figure 40**). Il convient de noter que les gros thons obèses (d'environ 140-170 cm) prédominaient dans les opérations sur bancs libres en 2006, tandis que la composition des tailles des captures réalisées avec DCP en 2006 était similaire à celle des années antérieures (**Figure 41**).

Canneurs de l'Union européenne basés à Dakar : le poids moyen des canneurs de l'Union européenne (**Figure 42**) était élevé, s'établissant à environ 10 kg de 1991 à 1997 et chutant brusquement à 7 kg en 1998. Ce faible poids moyen a duré jusqu'en 2004, retournant à un niveau élevé d'environ 10 kg en 2005 et 2006.

5.2 Indicateurs des pêcheries concernant les pêcheries plurispécifiques et les écosystèmes

Le Groupe a souligné que les pêcheries thonières tropicales sont des pêcheries plurispécifiques, présentant de fortes interactions entre les sélectivités et les mortalités par pêche de l'albacore, du listao et du thon obèse. Compte tenu de ce facteur, il pourrait s'avérer utile d'élaborer de nouveaux indicateurs reflétant l'état de la pêcherie dans son ensemble. Dans le même ordre d'idées, le Groupe a également reconnu que les pêcheries thonières tropicales influent sur l'écosystème pélagique.

Aucun document n'a été présenté cette année sur cette question. Néanmoins, le Groupe a estimé que les thèmes abordés à la réunion de Sète (2006) étaient toujours valides :

- Indicateurs pour le développement soutenable des pêcheries de capture marines (Code de conduite pour une pêche responsable).
- Utilisation actuelle des indicateurs des pêcheries et points de référence, et leur application potentielle à la gestion des pêcheries marines.
- Quels indicateurs communautaires peuvent mesurer l'impact de la pêche.
- Le cadre de la FAO pour l'utilisation d'indicateurs quantitatifs et de mesures de la performance visant à gérer les impacts sur les espèces-cibles et l'écosystème.

Dans ce sens, l'Union européenne a l'intention d'intégrer l'information sur l'impact de la pêche sur les écosystèmes dans sa nouvelle réglementation relative à la collecte des données, à compter de 2008.

On a toutefois souligné qu'à l'heure actuelle le Groupe travaille avec plusieurs indicateurs qui pourraient être examinés d'un point de vue plurispécifique (capture de toutes les espèces/opération, CPUE). Cette discussion devra avoir lieu au sein du Sous-comité des Ecosystèmes afin d'obtenir une vision plus large du problème. Le Groupe a

examiné plusieurs indicateurs généraux des pêcheries de canneurs et de senneurs, tels que : changement dans le temps de la capacité de transport (**Figure 16** et **18**), nombre total d'opérations et pourcentage des opérations réussies par mode de pêche (**Figure 17**) et zone totale visitée et pêchée (**Figure 43** et **44**).

Afin d'examiner le schéma de la production globale et des taux de capture de la pêcherie palangrière dans l'Atlantique tropical Est afin de le comparer avec celui disponible pour les pêcheries de surface, on a examiné la prise et l'effort par $5^\circ \times 5^\circ$ dans la région s'étendant du littoral africain côté mer jusqu'à 30°W de longitude et entre 10°S et 25°N de latitude. Ces données étaient telles qu'enregistrées dans le fichier CATDIS et les estimations de l'effort de pêche palangrier produites par le Sous-comité des Ecosystèmes à sa réunion de mars 2007. La **Figure 45** indique le schéma de l'effort, capture et CPUE nominale par année pour l'ensemble de la période et pour la période allant depuis 1991 aux fins de comparaison avec des perspectives similaires de la flottille de senneurs tropicaux ; la **Figure 46** présente la zone totale visitée et pêchée ($1^\circ \times 1^\circ$) par la flottille palangrière japonaise à partir de 1977.

Dans le but de favoriser des approches plurispécifiques dans les pêcheries thonières tropicales, des comparaisons des changements survenus au fil des ans dans la mortalité totale Z pour l'albacore et le listao ont été réalisées pendant la réunion, en utilisant les données de prise par taille fournies par le Secrétariat. Une estimation apparente de Z pour chaque espèce a été menée, sur la base de l'équation suivante :

$$Z = K^*(L^\infty - L_{moy}) / (L_{moy} - L_c),$$

où L^∞ et K représentent les paramètres conventionnels de la courbe de croissance de von Bertalanffy, L_c = la longueur à laquelle les poissons sont totalement recrutés, et L_{moy} = la longueur moyenne des poissons complètement recrutés (Beverton et Holt, 1956) (**Figure 47**). On peut observer dans cette figure que la mortalité totale du listao a chuté à partir de la fin des années 1990, probablement en raison du moratoire sur les objets flottants, étant donné que le listao a été la principale espèce affectée.

Au cours de la présente réunion du Groupe d'espèces, un autre indicateur a été actualisé. Cet indicateur, dénommé ci-après « asymétrie », est basé sur le postulat raisonnable selon lequel une augmentation de l'effort de pêche réduit la proportion des spécimens plus âgés dans la population, et la composition âge/taille devient par conséquent asymétrique (Rosenberg et Brault (1991) in Caddy, 2004). Cet indicateur est défini comme suit :

$$\text{Asymétrie} = N^{-1} \sum [(X_i - X_{moy}) / s] / 3,$$

où N est le nombre de classes d'âge/taille, X_i est l'abondance relative de la classe i , X_{moy} et s sont l'abondance moyenne et la déviation standard, respectivement. Les changements au fil des ans de cet indicateur pour les trois espèces sont illustrés à la **Figure 48**. La tendance générale observée dans cette figure (c'est-à-dire supposée refléter une hausse globale de la mortalité par pêche) renforce celle qui avait été observée dans l'analyse antérieure de Z (même si certaines divergences peuvent exister entre les deux indicateurs).

Le Groupe de travail reconnaît l'intérêt de ce type d'indicateurs et suggère de comparer ce type d'indicateurs avec les changements survenus au fil du temps dans l'état des stocks, tels qu'estimés par les modèles d'évaluation conventionnels dans de futures analyses. En outre, le Groupe a souligné la nécessité d'évaluer l'exactitude de ces indicateurs par des études de simulation, compte tenu notamment de la possibilité de tailles à l'âge fortement variables pour certaines espèces.

5.3 Autres indicateurs

Dans le même ordre d'idées et en accord avec les approches écosystémiques, le Groupe a également mis l'accent sur la nécessité d'évaluer et d'appréhender plus avant les rapports entre les conditions et les indicateurs environnementaux et le succès des pêcheries thonières. Le Groupe a recommandé de rechercher à identifier des indicateurs environnementaux fiables afin d'expliquer la disponibilité et l'abondance des thonidés. Il serait également souhaitable de mieux comprendre l'impact du prix relatif payé pour l'albacore, le thon obèse et le listao sur les changements de ciblage entre ces espèces et d'autres facteurs économiques.

6. Examen des progrès réalisés dans l'amélioration de la base de données de marquage

Il n'a été présenté aucun document spécifique relatif aux analyses de la base de données de marquage tant pour l'albacore que pour le listao. Le Secrétariat a fourni l'état actualisé de la base de données de marquage, les tableaux des données de marquage actuelles pour le listao et l'albacore et les cartes des emplacements des

marquages et des récupérations de marques (ICCAT 2006). Le Secrétariat a déployé un effort considérable à l'incorporation des suggestions formulées dans le SCRS/2007/057 afin de corriger les problèmes rencontrés dans la base de données. Toutefois, les scientifiques ont estimé qu'il faudrait consacrer plusieurs mois supplémentaires de travail soutenu à la base de données afin de la rendre entièrement opérationnelle pour les évaluations sur l'albacore et le listao. Or, la base de données de marquage inclut les registres de 1.711 récupérations sur les 19.361 albacores marqués (0,09%), 6.538 récupérations sur les 42.483 listaos marqués (15%) et 3.021 récupérations sur les 14.170 thons obèses marqués.

Ces données peuvent faire l'objet de nombreuses applications afin d'estimer les taux de mortalité (Ortiz de Zárate et Bertignac, 2002), d'améliorer les estimations de croissance et de déterminer les taux de déplacement et la structure des stocks, qui pourraient être utilisées pour les évaluations des stocks d'albacore et de listao. La variabilité latitudinale dans les taux de croissance (SCRS/2007/057) pourrait notamment requérir l'estimation des déplacements et/ou des taux de mélange entre les régions. A ce jour, aucune nouvelle information n'a cependant été obtenue de la base de données de marquage susceptible de changer l'état actuel du stock unique d'albacore postulé dans l'évaluation des stocks de 2003 (Anon, 2004).

Il a été noté que les données de marquage sont infiniment souhaitables pour appliquer les modèles d'évaluation Multifan-CL (Miyabe *et al.* 2005). Il est notamment nécessaire de tenir des registres du moment et de la pêcherie dont est originaire le spécimen marqué, ainsi que le moment et la pêcherie ayant récupéré la marque afin d'estimer les taux de mélange et les mortalités par pêche par pêcherie. Pour le listao et l'albacore, on manque d'information sur tous les poissons marqués et sur la pêcherie qui a récupéré les marques ; or, ces données sont disponibles pour le thon obèse et elles seront probablement utilisées dans la prochaine évaluation. En outre, il est recommandé que chaque utilisateur de données et chaque entité de marquage participent au processus de vérification des erreurs et de vérification sur le terrain des registres manquants.

7. Recommandations générales

Les recommandations visant les groupes d'espèces tropicales figurent dans une autre section du présent rapport. Les recommandations contenues dans la présente section sont de caractère plus général et sont destinées au SCRS ou aux CPC.

Information sur les flottilles. Le Groupe a constaté que relativement peu de CPC soumettent des informations complètes sur la taille des flottilles et les caractéristiques des flottilles avec les données de la Tâche I, comme cela est requis. Les groupes d'espèces et le SCRS ont grandement besoin des informations sur les flottilles étant donné qu'elles leur permettent de réaliser une caractérisation adéquate des pêcheries. Il est tout particulièrement important de disposer de données historiques complètes sur les flottilles afin de comprendre les modifications d'exploitation qui ont eu lieu dans le temps. Le Groupe recommande que le SCRS envisage des façons de combler les lacunes existant dans les informations sur les flottilles ainsi que les manières d'améliorer les déclarations à l'avenir.

Fréquences de taille. Le Groupe a félicité les efforts déployés par le Secrétariat en ce qui concerne le contrôle de la qualité visant à améliorer les données de fréquence de taille. Néanmoins, il y a des limites à ce que peut faire le Secrétariat en termes de validation des données. Pour cette raison, il est recommandé que les scientifiques nationaux examinent toutes les données de fréquence de taille maintenues dans les bases de données du Secrétariat aux fins de validation (p.ex. rechercher les données atypiques, entrées en double, classifications d'engin incorrectes, etc. et, de façon générale, veiller à ce que la base de données contienne ce qui a été initialement déclaré). Cet examen devrait être finalisé avant le mois d'octobre 2007. Après cette date, les groupes d'espèces devraient décider de la suite à donner.

Faux poissons. Le Groupe a estimé que ces quantités de prise non-déclarée dénommée « faux poissons » sont considérables, notamment pour le listao, mais peut-être moins importantes pour l'albacore et le thon obèse en raison de la taille réduite de ces poissons. Il a été recommandé que le SCRS considère officiellement ces prises comme des rejets.

8. Autres questions

Afin de faciliter une partie du travail requis pour les analyses Multifan-CL qui sont prévues avant l'évaluation sur le thon obèse de juin 2007, le Groupe d'espèces a examiné la définition des pêcheries dans le modèle et la disponibilité des données. Lors des discussions, une condition a été fixée, à savoir qu'il faudrait faire le moins de

changements possible à la définition des pêcheries, telle qu'établie dans l'évaluation de 2004. Les conclusions sont récapitulées ci-après :

- **Pêcheries.** Le Groupe d'espèces a recommandé de diviser la récente (depuis 1991) pêcherie de senneurs (auparavant « Pêcherie 3 ») en deux pêcheries distinctes, en fonction du type d'opérations (bancs libres par opposition à DCP). Les classifications des pêcheries ont été par ailleurs peaufinées : les canneurs (BB) et senneurs (PS) ghanéens ont été combinés au sein de la même pêcherie ; on a veillé à ce que les prises de toutes les flottilles soient prises en compte dans le modèle (à cette fin, les prises de la Région 3 par engins de surface seraient ajoutées aux prises d'autres palangres (LL) dans la même région) ; on a fait en sorte que les prises des canneurs (BB) espagnols dans la zone tropicale orientale soient incluses dans les pêcheries correspondantes. Un résumé des pêcheries figure au **Tableau 9**.
- **Séries de CPUE.** Les séries de CPUE par année et trimestre seront élaborées par le Secrétariat à l'aide des données de la Tâche II, exception faite des séries suivantes qui seront préparées par les scientifiques nationaux :
 - 1) Palangre japonaise (séries 10, 11 et 12)
 - 2) Palangre brésilienne, séries distinctes pour les pêcheries 14 et 15.
 - 3) Palangre des Açores, pour la pêcherie 9.

9. Adoption du rapport et clôture

Le Président a une fois de plus remercié les hôtes locaux pour l'organisation de la réunion. Le rapport a été adopté et la réunion a été levée.

Références

- ANON. 2004. 2003 ICCAT Atlantic Yellowfin Tuna Stock Assessment Session. Collect. Vol. Sci. Pap. ICCAT, 56(2): 443-527.
- ANON. 2007. Report of the 2006 ICCAT Inter-sessional Tropical Species Working Group (*Sète, France, 24-28 avril 2006*). Collect. Vol. Sci. Pap. ICCAT, 60(1):1-90.
- ARIZ J. and D. Gaertner. 1999. A study of the causes of the increase of the catches of bigeye tuna by the European purse seine tuna fleets in the Atlantic Ocean. Program UE DG-Fish (96/028).
- BEVERTON, R.J.H. and S.J. Holt. 1956. A review of methods for estimating mortality rates in exploited fish populations, with special reference to sources of bias in catch sampling. Rapp. P.-V. Réun, CIEM, 140: 67-83.
- CAYRE, P., T. Diouf, A. Fonteneau et M.H Santa Rita Vieira. 1986. Analyse des données de marquages et recaptures de listao (*Katsuwonus pelamis*) réalisés par le Sénégal et la République du Cap-Vert. In. *Proceedings of the ICCAT Conference on the International Skipjack Year Program*. P.E. K. Symons, P.M. Miyake & G.T. Sakagawa (eds.). pp. 309-316.
- CAYRE, P. and F. Laloe. 1986. Relation poids-longueur du listao (*Katsuwonus pelamis*) de l'Océan Atlantique. Proc. ICCAT Intl. Skipjack Yr. Prog. 1: 335-340.
- GAERTNER, D., J.P. Hallier and M.N. Maunder. 2004. A tag-attrition model as a means to estimate the efficiency of two types of tags used in tropical tuna fisheries. *Fish. Res.*, 69: 171-180
- GAERTNER, D., P. Kebe and C. Palma. 2007. Some clues for correcting the tagging database of tropical tunas. Collect. Vol. Sci. Pap. ICCAT, 60(1): 185-189.
- HERVE A., R. Dédo, S. Diomande et A. Gobo. 2004. Actualisation des quantités de "faux-poissons" débarquées par les senneurs à Abidjan de 1981 à 2004. Collect. Vol. Sci. Pap. ICCAT, 56(2): 443-527.
- ICCAT. 2006. ICCAT Statistical Bulletin, Vol. 35.
- MIYABE, N., Y. Takeuchi, H. Okamoto and V.R. Restrepo. 2005. A new attempt of Atlantic bigeye tuna (*Thunnus obesus*) stock assessment by statistical integrated model (MULTIFAN-CL). Collect. Vol. Sci. Pap. ICCAT, 57(2):177-200.

- OKAMOTO, H. 2007. Standardized Japanese longline CPUE for yellowfin tuna in the Atlantic Ocean from 1965 up to 2005. Collect. Vol. Sci. Pap. ICCAT, 60(1): 342-350.
- ORTIZ DE ZÁRATE, V. de & M. Bertignac. 2002. Analysis of tagging data from North Atlantic albacore (*Thunnus alalunga*): attrition rate estimates. Collect. Vol. Sci. Pap. ICCAT, 4(5): 1438-1453.
- ROMAGNY B., F. Ménard, P. Dewals, D. Gaertner et N. N'Goran. Le " faux-poisson " d'Abidjan et la pêche sous DCP dérivants dans l'Atlantique tropical Est : circuit de commercialisation et rôle socio-économique. In « Pêche thonière et dispositifs de concentration de poissons. Ed. Ifremer, Actes colloq, 28, 634-652.
- SHUFORD, R.L., J.M. Dean, B. Stequert, E. Morize. 2007. Age and growth of yellowfin tuna in the Atlantic Ocean. Collect. Vol. Sci. Pap. ICCAT, 60(1): 330-341.

INFORME DE LA REUNIÓN INTERSESIONES DE 2007
DEL GRUPO DE ESPECIES TROPICALES
(Recife, Brasil, 11-16 de abril de 2007)

1. Apertura, adopción del orden del día y disposiciones para la reunión

La reunión fue inaugurada por el Dr. Sergio Gomes de Mattos, de la Secretaría Especial de Acuicultura y Pesca de Brasil, que presentó una declaración de bienvenida (**Apéndice 1**) en nombre del Secretario Especial, Sr. Altemir Gregolin. El Dr. Víctor Restrepo, en nombre del Sr. Driss Meski, Secretario Ejecutivo de ICCAT, agradeció al Gobierno brasileño que hubiese acogido la reunión y proporcionado todas las disposiciones logísticas.

La lista de participantes se adjunta como **Apéndice 2**. El orden del día (**Apéndice 3**) fue aceptado tras incorporar algunas modificaciones. La lista de documentos que se presentaron a la reunión se adjunta como **Apéndice 4**. La reunión estuvo presidida por el Dr. Renaud Pianet, y las siguientes personas ejercieron las funciones de relatores.

| <i>Sección</i> | <i>Relator</i> |
|--------------------|------------------------------------|
| Puntos 1, 7, 8 y 9 | V. Restrepo |
| Punto 2 | P. Kebe, G. Scott |
| Punto 3 | R. Pianet |
| Punto 4 | S. Cass-Calay |
| Punto 5.1 | C. Brown, D. Gaertner y H. Okamoto |
| Puntos 5.2 y 5.3 | J. Ariz y A. Delgado |
| Punto 6 | P. Kebe y J. Walter |

2. Actualización de las estadísticas básicas y de la captura por edad

2.1 Tarea I

La Secretaría presentó la tabla de capturas (**Tabla 1**) para las tres especies tropicales (rabil, patudo y listado) para los años 1950-2005. Desde la última reunión del SCRS, que se celebró en 2006, se han realizado algunas mejoras para actualizar la base de datos de la Tarea I de ICCAT, con arreglo a los cambios aprobados por los Grupos de especies y por el SCRS. Las modificaciones realizadas en estos conjuntos de datos fueron las siguientes:

- 1) la reclasificación de las capturas de cebo vivo españolas (Islas Canarias) y portuguesas (Azores).
- 2) El ajuste de las capturas de Venezuela, con arreglo a un documento de Nova & Ramos, que fue aprobado por el Grupo de especies tropicales, y
- 3) las correcciones de las capturas de cerco guatemaltecas que habían sido comunicadas dos veces.

El Grupo reiteró la necesidad, para fines científicos, de que las Partes contratantes y Partes, Entidades o Entidades pesqueras no contratantes colaboradoras presenten la información sobre las características de la flota (Formulario 1), solicitada por la Secretaría junto con los datos de la Tarea I. Esta información reviste gran importancia para la evaluación histórica de la capacidad pesquera y para la caracterización del esfuerzo desplegado con el fin de capturar túnidos en la zona del Convenio de ICCAT.

En las discusiones sobre los datos para Angola y Cabo Verde durante los años anteriores a 1960, cuando las pesquerías nacionales de túnidos de dichos países eran muy activas, se llegó a la conclusión de que debería fomentarse la colaboración con los institutos y científicos portugueses para recuperar la información que falta.

El Grupo decidió que los datos de captura de la Tarea I comunicados como FIS (Francia, Côte d'Ivoire y Senegal) serían desglosados por país antes de septiembre de 2007 por los científicos del IRD. Sería útil que se realizará este mismo ejercicio para los datos de la Tarea II con el fin de vincular los datos revisados de la Tarea I con los de la Tarea II, pero, lamentablemente, dado que se había perdido la información básica de los buques, esta tarea parece casi imposible.

Se constató que las capturas de algunos buques operados por europeos con pabellón de Ghana habían sido clasificadas como NEI. Se recomendó que se extrajesen dichos datos de NEI y que se asignaran al pabellón ghanés.

2.2 Tarea II

La Secretaría informó de la disponibilidad de los datos de la Tarea II (captura y esfuerzo y muestreo de tallas) pero no se realizaron análisis exhaustivos de este conjunto de datos. El grupo revisó las recomendaciones formuladas por la anterior reunión del Grupo de especies tropicales, que se celebró en Sète, Francia (Anon., 2007), sobre todo las concernientes a la necesidad de corregir algunas claras discrepancias entre varias pesquerías. Durante esta discusión se anunció que la nueva información de la Tarea II procedente de Brasil estaría disponible dentro de poco tiempo.

La Secretaría recordó la necesidad de contar con muestreo de talla en la escala más fina posible, pero a algunos países les resulta difícil responder a esta petición. Se indicó que para la flota europea la muestra de tallas presentada a la Secretaría había sido extrapolada en cierta medida y que, si fuese necesario, podrían presentarse las muestras de tallas reales. También se constató que podría ser útil que los datos de la pesquería de palangre se comunicasen en la misma escala.

2.3 Captura por talla

2.3.1 Listado. La Secretaría presentó la nueva versión de captura por talla (**Tabla 2**) para los años 1969 a 2005. Debido a los múltiples datos que se han recibido en la Secretaría tras la primera evaluación de listado (1999), la Secretaría decidió reconstruir la totalidad del conjunto de datos. Las normas de sustitución utilizadas se presentan en la **Tabla 3**. El Grupo agradeció a la Secretaría el excelente trabajo llevado a cabo para conseguir importante mejora mediante la reconstrucción de la captura por talla del listado. Con el fin de revisar de forma detallada la información disponible, el Grupo realizó más análisis desglosando los datos por pabellón, arte y stock.

Con el fin de garantizar mejor la calidad de estos datos, se desarrollaron una serie de diagnósticos gráficos para proporcionar un método visual para evaluar los patrones en la captura por talla estimada en una amplia agrupación de definiciones de zona y arte. El Grupo de especies decidió disgregar la captura por talla por pesquerías tal y como se define en la **Tabla 4**.

En el **Apéndice 6** se presentan los gráficos que muestran los perfiles anuales de captura por talla de listado para esta pesquería, y estos deberían utilizarse como guía para análisis futuros de estos datos.

2.3.2 Rabil

La Secretaría presentó un nuevo conjunto de datos de captura por talla para los años 1970-2005 (**Tabla 5**), en el que se incluía una revisión completa realizada hace poco por los científicos japoneses. El archivo se dividió por flotas y zonas con el fin de realizar otros análisis en una escala más fina.

Para el rabil y el listado, la Secretaría presentó la distribución del peso medio por grupo de arte y para todos los artes combinados.

2.3.3 Patudo. La Secretaría no presentó nueva información para esta especie, ya que en junio de 2007 se celebrará una reunión de evaluación completa del patudo; la captura por talla para el patudo se actualizará y presentará antes de dicha fecha.

3. Estimación de los desembarques que no se descartan ni se destinan a las conserveras (“falso pescado”)

El presidente presentó la información disponible, basándose en dos documentos y en los nuevos datos recibidos de Côte d'Ivoire.

Desde hace varios años, en Abidján, los túnidos de talla pequeña, los pequeños túnidos y las capturas fortuitas que no son aceptadas por las conserveras se venden en el mercado local de pescado como “falso pescado”. Esta posibilidad incita a los cerqueros a mantener a bordo parte de su captura que anteriormente hubiese sido descartada. Por consiguiente, las cantidades de “falso pescado” desembarcado se incrementaron rápidamente, sobre todo desde la década de los noventa, con el desarrollo de la pesca con dispositivos de concentración de peces (DCP), y se capturaron más pequeños túnidos y más captura fortuita. Sin embargo, desde 1994, estas cantidades se han reducido debido a la implementación de controles realizados por compañías pesqueras francesas, y a la limitada

capacidad de transporte de los cerqueros restantes. El “falso pescado” podría definirse como la parte de las capturas de la pesca atunera industrial consumida a nivel local.

En 1981 se implementó la estimación de estas capturas de “falso pescado”, tras una iniciativa del Sr. F.X. Bard. En un primer momento, las cantidades desembarcadas se estimaron a partir de la información recopilada junto con los funcionarios de aduanas en los diferentes puntos de salida del puerto pesquero, pero pronto se constató que esta información era objeto de una fuerte subestimación. Por consiguiente, el ORSTOM (antiguo IRD) estableció progresivamente su propio sistema de recopilación de información, mediante un recuento exhaustivo de todas las furgonetas y camiones que sacaban atún del puerto. Se supone que el sistema está funcionando plenamente desde 1994. Las cantidades anuales estimadas de “falso pescado” con respecto a los desembarques totales de túnidos se presentan en la **Tabla 6** y en la **Figura 1**.

En el marco del proyecto patudo de la Dirección General de pesca de la Unión Europea, que complementa al BETYP (Programa ICCAT Año del Atún Rojo), se implementó (1997-1999) un esquema de muestreo especial (composición de especies y tallas). Posteriormente, este muestreo se mejoró para estimar el número de furgonetas y/o camiones por día y de buques atuneros, así como para determinar visualmente la composición específica de estas descargas de “falso pescado” (véase el formulario creado por R. Dédo, **Tabla 7**). La información sobre los buques está disponible desde agosto de 1994, y actualmente se comunica como una categoría especial.

En la **Tabla 8** y en la **Figura 1** se presentan los resultados de este muestreo para dos períodos: 1997-1998 y 2004-2005. Estos resultados muestran amplias variaciones que pueden atribuirse al pabellón de origen de los desembarques (cantidades cada vez mayores de los buques de transporte ghaneses). En las **Figuras 2** y **3** también se ilustran la composición por especies y la distribución por tallas de estas capturas. Es necesario llevar a cabo análisis más detallados de toda la información disponible para mejorar estas estimaciones y, sobre todo, para estimar mejor las cantidades de rabil, patudo y listado implicadas.

El Grupo consideró que estos datos eran importantes, ya que las cantidades implicadas son bastante significativas, sobre todo en lo que concierne al listado. También resulta preocupante el hecho de que este “falso pescado” esté compuesto sobre todo por ejemplares pequeños (35-45 cm). Se estimó que, aunque resulta difícil evaluar la mezcla entre especies de grandes túnidos, se debería intentar realizar un estudio más exhaustivo, en el que se utilice toda la información disponible, y los resultados de dicho estudio deberían utilizarse en las evaluaciones.

Se sugirió que el mejor modo de tener oficialmente en cuenta estas capturas es considerarlas como descartes; se pidió al Grupo de especies tropicales que estudiase la mejor solución en su reunión de octubre de 2007.

4. Examen de la nueva información biológica

Se presentaron dos documentos al Grupo (SCRS/2007/057 y Shuford et al. 2007). En el documento SCRS/2007/057 se describía la variabilidad latitudinal en las tasas de crecimiento del listado (*Katsuwonus pelamis*) del Atlántico oriental. Se volvieron a analizar los datos de marcado convencional recopilados por ICCAT desde la década de los sesenta, utilizando el modelo de crecimiento de von Bertalanffy-Fabens. Los resultados de este estudio sugieren que los parámetros de crecimiento del listado varían con la latitud. La L_{∞} estimada para el listado marcado y recuperado al norte de 10° N fue muy similar a la L_{∞} estimada para el listado marcado y recuperado al sur de 10° N (94,1 cm frente a 92,9 cm, respectivamente). Sin embargo, los coeficientes de tasa de crecimiento estimados, K , diferían en las dos regiones (0,353 frente a 0,195), lo que sugiere que el listado crece más rápidamente en la región septentrional del océano Atlántico oriental que en las zonas ecuatoriales. Los parámetros de crecimiento estimados durante este estudio coincidían con los obtenidos de los listados marcados durante las actividades del proyecto de investigación “Mattes Associées aux Canneurs” (MAC) en la zona de Senegal ($L_{\infty} = 97,26$ y $K = 0,251$). Por el contrario, los parámetros de crecimiento estimados comunicados por Cayré et al. (1986) para la misma región ($L_{\infty} = 62,0$ y $K = 2,08$) eran bastante diferentes y no fueron respaldados por este análisis.

El Grupo consideró las implicaciones de estos resultados. Es evidente que la variabilidad latitudinal en las tasas de crecimiento complicaría las técnicas de evaluación estructuradas por edad, ya que la captura por edad dependería de la localización geográfica y de los patrones de movimiento. Los autores sugirieron posibles alternativas para modelos estándar estructurados por edad, entre las que se incluían la utilización de modelos de captura por edad y matrices de transición-crecimiento para amplias zonas geográficas.

El Grupo formuló varias recomendaciones que podrían mejorar la estimación futura de las tasas de crecimiento para el listado. El Grupo reconoció que el error de medición es un problema común en los datos de marcado.

Algunos miembros manifestaron su inquietud ante el hecho de que la exclusión de ejemplares cuya talla hubiese descendido más 2 cm tras la recaptura podría sesgar los parámetros de crecimiento estimados (ya que la talla medida tiene la misma probabilidad de ser superior que de ser inferior a la talla real). Una posible alternativa sería excluir el ejemplar si el crecimiento aparente era $\pm 3SD$ que el crecimiento previsto. El Grupo sugirió también que podría producirse un sesgo adicional en las tasas de crecimiento específicas de cada región si la proporción de ejemplares excluidos difería en las diferentes regiones.

El Grupo sugirió que sería importante considerar los efectos de la estacionalidad y la posible sensibilidad al tiempo en libertad mínimo aceptable.

El Grupo también reconoció que los cambios en la selectividad pueden generar la percepción de cambio en los parámetros de crecimiento. Este problema se ha comprobado en el Golfo de México estadounidense, tras los cambios introducidos en la talla mínima legal. El Grupo discutió las posibles diferencias en la selectividad al Norte y Sur de 10° N (es decir, las diferentes proporciones de muestras en DCP con respecto a las muestras en bancos libres). Una posible técnica para estimar los parámetros de crecimiento de la población utilizando datos dependientes de las pesquerías (sujetos a selección) es la utilización de una técnica de “verosimilitud truncada”. Esta técnica se ha utilizado recientemente durante las evaluaciones realizadas en el Golfo de México estadounidense (comunicación personal, M. Ortiz³).

El Grupo debatió también la importancia de la recopilación de observaciones directas de la edad de los túnidos tropicales a partir de los análisis de partes duras mediante técnicas modernas. Si se dispone de observaciones directas de composición por edad para los túnidos tropicales, no será necesario estimar la composición por edad utilizando técnicas (método de separación de edades-filo de cuchillo, claves talla-edad) que se sabe que se ven afectadas si la talla por edad es muy variable o si la reproducción se produce a lo largo de todo el año.

Se presentó al Grupo el documento Shuford et al (2007). Este documento aborda la recomendación de la reunión de evaluación de ICCAT del stock de rabil de 2003 en cuanto a que “deberían realizarse investigaciones para validar la curva de crecimiento utilizada para el rabil”. En dicho estudio, se derivó una curva de edad y crecimiento utilizando estimaciones de edad determinadas directamente a partir de microestructuras diarias de otolitos sagitales de 132 ejemplares (5,2-179 cm FL) capturados en el Golfo de Guinea y en Carolina del Norte. Se derivaron la curva y los parámetros de crecimiento utilizando las estimaciones de edad y sus correspondientes longitudes a la horquilla, mediante funciones de crecimiento de von Bertalanffy. El coeficiente de crecimiento resultante (k) fue 0,281; la FL máxima teórica (L_∞) se situó en 245,5 cm, y la FL teórica en la edad cero (t_0), 0,042.

Con el fin de evaluar la contribución relativa de los diferentes períodos de desove a lo largo del año (que están correlacionados con varias zonas de reproducción), se **recomienda** que se realicen más trabajos de investigación utilizando métodos de determinación directa de la edad (u otros métodos apropiados) capaces de estimar el mes de nacimiento, ya que parece que puede haber menos estacionalidad en los meses de nacimiento para algunas especies tropicales (por ejemplo, véase el **Apéndice 5**). El muestreo debería diseñarse de tal modo que sea representativo de la captura y/o del stock.

Los datos que sustentan esta función de crecimiento de von Bertalanffy resultaban convincentes; sin embargo, surgió un debate sobre si se había probado la existencia de un periodo inicial de crecimiento utilizando los datos de marcado. El Grupo no concluyó que hubiese pruebas suficientes en ese momento para descartar la función de crecimiento en dos estanzas asumida para el rabil, aunque se instó a que se llevasen a cabo más investigaciones sobre esta cuestión (lo que incluye la revisión de los estudios de marcado pertinentes). El Grupo recomendó también que se realicen análisis para determinar el efecto de las diferentes funciones de crecimiento en la composición por edad estimada, así como la implicación de estas diferencias en las estimaciones de mortalidad total obtenidas de los análisis curva-captura. Durante la reunión se realizó este análisis, que se resume en el **Apéndice 5**. Los resultados indican que la composición por edad derivada de la separación por edades (filo de chuchillo) es sensible a la curva de crecimiento, y que esta diferencia podría ser suficiente para provocar cambios en las estimaciones de mortalidad total.

El Grupo llegó a la conclusión de que el cambio en el modelo de crecimiento podría alterar las estimaciones de la situación del stock. Por consiguiente, el Grupo recomendó que se recuperasen los datos originales. Estos datos deberían utilizarse para determinar el modo en que se desarrollaron las funciones de crecimiento, para probar ajustes de modelo y estructuras alternativos y para determinar el potencial para el desarrollo de un modelo que incorpore ambos conjuntos de datos .

³ Comunicación personal. Mauricio Ortiz, US DOC National Marine Fisheries Service, Southeast Fisheries Science Center, Miami Laboratory. 75 Virginia Beach Dr. Miami, FL USA 33149. Mauricio.Ortiz@noaa.gov

5. Examen de los indicadores de pesquerías

Los indicadores generales se presentan en la Sección 5.2. La Sección 5.1, a continuación, se refiere a los indicadores específicos de las especies.

En la **Figura 4** se ilustran las capturas totales de túnidos tropicales (rabil, listado y patudo) por arte. Las capturas globales muestran una tendencia creciente hasta alcanzar la cifra de 474.084 t en 1994, seguida de una tendencia decreciente en la mayor parte del periodo reciente. Las tendencias en las capturas se deben sobre todo al desarrollo de la pesquería de cerco.

5.1 Indicadores relacionados con la situación del stock

5.1.1 SKJ

Tendencia general en la captura de listado

Tal y como se ilustra en la **Figura 5**, las capturas totales de listado en el océano Atlántico muestran un descenso continuo desde un punto máximo alcanzado en 1991 (175.000 t), pero con un ligero incremento en los años recientes (138.000 t en 2005).

En lo que se refiere al Atlántico oriental, la pesquería de listado experimentó cambios importantes a principios de los noventa, tras la introducción de los objetos artificiales flotantes (dispositivos de concentración de peces, DCP), por parte de los cerqueros de la Unión Europea y las pesquerías de cebo vivo y las pesquerías de cerco de Ghana. Además, se ha desarrollado un método de pesca en el que el barco de cebo vivo se utiliza a modo de objeto flotante en las aguas frente a Senegal, Mauritania y las Islas Canarias (1992). Todos estos cambios han generado un incremento en la biomasa explotable del stock de listado (en particular, debido a la expansión de la zona de pesca hacia el Oeste) y en la capturabilidad de esta especie. A pesar de estos cambios, las capturas de los cerqueros han descendido, tal y como se describió antes para la captura total. Es probable que este descenso sea consecuencia de la implementación de la moratoria a la pesca con DCP, así como del descenso en el esfuerzo pesquero nominal. Sin embargo, la captura se ha incrementado en los últimos años. La captura de las pesquerías de caña y liña se ha mantenido estable en aproximadamente 40.000 t desde finales de la década de los setenta.

En el Atlántico oeste, tras fluctuar entre 2.000-3.000 t/año, la captura de listado ascendió vertiginosamente hasta situarse en torno a las 40.000 t en 1985. Desde este punto máximo, las capturas occidentales (realizadas sobre todo por la pesquería de cebo vivo brasileña) se mantuvieron en un nivel cercano a las 30.000 t (**Figura 6**).

Índices de abundancia aparentes

El Grupo resaltó la importancia que reviste la actualización de las capturas de las principales pesquerías que comunican capturas de listado. Cabe señalar que el listado es a menudo una especie secundaria, cuya captura depende del diferencial en los precios y de la capturabilidad de otras especies objetivo. Por consiguiente, la estimación del esfuerzo efectivo ejercido sobre el listado (por ejemplo, esfuerzo proporcional a la mortalidad por pesca) sigue siendo problemático y la tasa de capturas puede reflejar a veces una tendencia diferente a la de la abundancia.

Para los cerqueros que pescan de forma alterna en bancos libres y en DCP, se consideró que el tiempo de búsqueda puede ser la mejor medición del esfuerzo básico en bancos libres. También se sugirió que el conjunto de datos del análisis podría restringirse más al esfuerzo asociado con lances libres asumiendo que los buques que recorren largas distancias durante la noche se mueven entre DCP, ya que no pueden buscar bancos libres por la noche. Sin embargo, este enfoque requeriría nuevos estudios, que incluyesen la incorporación de datos de VMS, para determinar si esto es viable y apropiado. Un nuevo proyecto financiado por la UE –estimaciones de captura, esfuerzo y descartes en tiempo real, CEDER- que se inició en 2006 abordará en parte esta cuestión. La idea básica desarrollada en el marco de este proyecto es analizar la trayectoria individual de los cerqueros con el fin de caracterizar las conductas de pesca que reflejan el tiempo de busca para bancos no asociados o el desplazamiento hacia los DCP previamente detectados por radiobalizas (teniendo en cuenta, sin embargo, que sea cual fuere el modo de pesca objeto de investigación, se pueden realizar operaciones de pesca sobre cualquier banco de túnidos detectado por casualidad). Otros factores que podrían considerarse serían los cambios en el tiempo que se han traducido en una reducción del tiempo necesario para realizar los lances y descargar la captura (eficacia creciente del esfuerzo pesquero en el tiempo).

Atlántico oriental

En el documento SCRS/2007/058 se presentan análisis de los cambios en las tasas de captura nominal y en varios indicadores de la pesquería para la pesquería de superficie tropical de la UE (cebo vivo y cerco) que opera en el océano Atlántico oriental. En la **Figura 7** se ilustra el cambio de las CPUE durante el periodo 1991-2006 para los cerqueros de la UE para ambos modos de pesca (a saber, lances en bancos no asociados y en DCP). En esta figura puede observarse que la tasa de captura del listado capturado en bancos libres fluctuó durante estos años (aproximadamente 1 a 4 t/día de pesca), pero sin que se evidenciase tendencia alguna. El incremento en las CPUE para el listado capturado en asociación con DCP desde 1999 puede deberse en parte a una mayor captura por lance positivo (**Figura 7**, panel inferior).

En cuanto a los barcos de cebo vivo europeos con base en Dakar (Senegal), las tasas de captura nominal del listado se incrementaron de forma regular durante toda la serie temporal (**Figura 8**). Cuando se analizan estos datos, debe tenerse en cuenta que desde comienzos de la década de los noventa estos barcos de cebo vivo han desarrollado una técnica de pesca (sobre todo para dirigir su actividad al patudo) en la que el barco de cebo vivo se utiliza como objeto flotante, fijando el cardumen (formado por patudo, rabil y listado), durante toda la temporada de pesca en las aguas frente a Senegal y Mauritania. Como consecuencia de esto, tendría sentido asumir que la adopción de esta técnica de pesca ha incrementado la capturabilidad global de los túnidos. Sin embargo, cabe señalar que el patrón descrito para el listado contrasta con las tendencias decrecientes en las CPUE observadas para las otras dos especies de túnidos tropicales.

Durante la reunión del Grupo que se celebró en Sète (Francia), en 2006, se recomendó que los científicos de diferentes Partes contratantes realizaran análisis de las tendencias en las CPUE para las pesquerías situadas en la periferia de las zonas de distribución de las especies. Durante la reunión del Grupo de especies se presentaron y discutieron los resultados de la estandarización de la CPUE para los barcos de cebo vivo de las Azores. Tal y como se esperaba, debido a la localización de esta zona de pesca con respecto a la zona de distribución del listado, el índice de listado mostraba una elevada variabilidad, pero sin una tendencia significativa (**Figura 9**).

Atlántico occidental

A diferencia de las amplias zonas de pesca observadas en la parte oriental del océano Atlántico, los caladeros del Atlántico occidental suelen ser generalmente más costeros (una explicación de esto sería que la mayor profundidad de la termoclina y de la oxiclina en el Atlántico central limita las zonas con condiciones apropiadas para la pesquería de túnidos de superficie). La pesquería de cebo vivo brasileña supone un caso de estudio interesante, ya que el listado es su principal especie objetivo. La CPUE nominal no se ha actualizado desde la última reunión del SCRS, pero no hay evidencia de ninguna tendencia, incluso aunque se ha observado una fuerte variabilidad (**Figura 10**). Cabe señalar que las tasas de captura comunicadas para esta pesquería son más elevadas que las CPUE observadas en todas las pesquerías de cebo vivo del Atlántico oriental. Desde la última reunión del SCRS no se ha proporcionado información nueva para los cerqueros venezolanos, que pescan sobre todo en el mar Caribe. No se conoce la razón del descenso de la CPUE nominal observado desde 2002 (**Figura 10**) (entre las posibles causas se alude a los cambios en las condiciones medioambientales locales, a una menor abundancia de listado o de sus presas, a una menor asistencia de los barcos de cebo vivo para mantener a los cardúmenes de túnidos sin moverse cerca de la superficie durante la operación de cercado, etc.)

Durante la reunión se presentaron los resultados preliminares de la estandarización de la tasa de captura de listado capturado por la pesquería de recreo estadounidense mediante un modelo delta lognormal. Siguiendo las recomendaciones del Grupo de especies, se intentó realizar un segundo análisis con una categorización más adecuada de algunas variables explicativas (por ejemplo, zonas geográficas más amplias, omisión de estratos en los que es poco probable que haya listado, etc.). Se demostró que la proporción de captura positiva se había incrementado lentamente, mientras que las capturas de las mareas positivas se mantuvieron relativamente constantes. Sin embargo, dado que los intervalos de confianza siguen siendo bastante amplios y las CPUE estandarizadas fluctúan de manera similar al índice nominal (**Figura 11**), sería necesario realizar más estudios.

Peso medio

El Grupo también debatió una serie de análisis diferentes que podrían proporcionar algún indicio sobre la situación del stock a falta de una evaluación completa. Uno de estos indicativos que podría resultar útil sería los cambios en el peso medio de la captura en el tiempo. Una reducción en el peso medio podría reflejar una mortalidad por pesca elevada sostenida o en incremento, aunque cabe esperar una reducción inicial en la talla media en una pesquería y los cambios pueden también reflejar cambios en la selectividad o pulsos de reclutamiento (en tallas más pequeñas).

Las muestras de talla de los ejemplares capturados con palangre en todo el Atlántico son demasiado escasos y no pueden proporcionar una indicación fiable del patrón en la talla media de la captura palangrera global (véase **Apéndice 6**).

Atlántico oriental

El peso medio del listado en el Atlántico oriental oscila entre 2 y 3 kg (**Figura 12**). Desde 1969 hasta finales de la década de los ochenta, se puede observar un lento descenso en el peso medio en las capturas de los cerqueros y de los barcos de cebo vivo. Por consiguiente, los indicadores se han mantenido estables en la última década. El Grupo resaltó la necesidad de volver a examinar la información sobre pesquerías identificada en la **Tabla 4** para evaluar mejor el impacto de la presión pesquera en los diferentes componentes de este stock.

Atlántico occidental

El peso medio del listado es superior en el Atlántico occidental que en el oriental (3-4,5 kg frente a los 2,5-3 kg, respectivamente, véase la **Figura 13**). Este es específicamente el caso de la pesquería de cebo vivo dirigida brasileña durante los últimos veinte años (con la excepción de los dos últimos años en los cuales este indicador ha descendido). El peso medio del listado desembarcado por los cerqueros (sobre todo de Venezuela) es inferior al de el desembarcado por los barcos de cebo vivo, y ha descendido de forma continua hasta aproximadamente 2 kg.

En el documento SCRS/2007/054 se presentaba información sobre el cambio en el tiempo de la talla media del listado capturado por la pesquería palangrera estadounidense. Aunque el listado es una especie de captura fortuita de esta pesquería palangrera e incluso aunque se observa cierta variabilidad en la talla media entre las diferentes zonas de pesca de esta pesquería, el patrón global sugiere que se ha producido un lento incremento en la talla durante los últimos quince años (aproximadamente desde 62 hasta 70 cm). Este patrón se corresponde con un cambio en el peso medio de aproximadamente 4 a 5 kg. (**Figura 14**).

5.1.2 Rabil

Tendencias en la capturas

A diferencia del crecimiento que han experimentado las capturas de rabil en otros océanos del mundo, en el Atlántico se ha producido un marcado descenso en las capturas globales desde 2001 (**Tabla 1; Figura 15**). Las capturas de la pesquería de superficie del Atlántico han exhibido una tendencia descendente desde 2001 a 2005, mientras que las capturas de palangre han fluctuado generalmente sin mostrar una tendencia clara. Las capturas de cerco han experimentado un descenso de más del 55% con respecto al punto máximo de captura alcanzado en 1990.

No está totalmente claro en qué medida el descenso en la captura podría ser el resultado de una reducción en el tamaño del stock o si se debe a reducciones en los niveles de esfuerzo dirigido. Cabría esperar que la reducción de la capacidad de transporte de la pesquería de cerco en el Atlántico (resultado de la antigüedad y de la reducción de las flotas de cerqueros existentes, mientras que se han introducido nuevos buques en el océano Índico) haya tenido un profundo impacto en los niveles de captura (**Figura 16**). El cambio desde 1990 hacia una mayor proporción de lances sobre DCP (**Figura 17**) se ha traducido en un incremento de la proporción de listado en cada lance y en un descenso la talla media del rabil en cada lance. Es posible que las reducciones de las capturas de palangre se deban, al menos en parte, a un cambio en la estrategia de pesca para dirigirse al patudo.

Índices de abundancia

Cerco y cebo vivo en el Atlántico este

La mayor base de datos de captura y esfuerzo, que abarca la pesquería de rabil más grande y más extensa, es la de las pesquerías de cerco y cebo vivo del Atlántico tropical oriental operadas por las flotas europea y asociadas. En el documento SCRS/2007/058 se presentan las principales estadísticas y características de estas pesquerías desde 1991 hasta 2006.

Las capturas de cerco han mostrado, en general, una tendencia descendente, sobre todo desde 2001, aunque se ha observado una ligera recuperación en los datos preliminares de captura de 2006, debida a incrementos en las capturas en bancos libres (**Figura 19**). Las tasas de captura nominal muestran tendencias estables o crecientes (**Figura 20 y 21**). Sin embargo, no se han ajustado estas tendencias para considerar los cambios metodológicos y tecnológicos que se han producido en esta pesquería (es decir, la utilización del sónar en DCP, radares de aves) susceptibles de incrementar la potencia pesquera.

En general, las tasas de captura de rabil de los barcos de cebo vivo con base en Dakar (**Figura 8**) han experimentado un descenso, mientras que la capacidad de transporte se ha incrementado a un ritmo constante (**Figura 18**). No está claro el modo en que la adopción en la década de los noventa de técnicas en las que se utilizan los barcos de cebo vivo como dispositivos de concentración de peces ha afectado a la tendencia en las tasas de captura. Desde finales de los noventa las tasas de captura han fluctuado sin una tendencia clara.

Cerco en el Atlántico occidental

No se dispone de nueva información de las pesquerías de cerco en el Atlántico oeste.

Índices de palangre y de caña y carrete

En la reunión se presentaron varios índices de CPUE de otras pesquerías diferentes a las de cerco. Todos los índices se estandarizaron mediante GLM, con diferentes supuestos de distribución de error (lognormal o Poisson). Tenían en común los mismos factores básicos, como año, estación y zona, junto con otros factores específicos para cada caso.

Se presentaron dos índices para la pesquería de palangre pelágico estadounidense, desde 1987 hasta 2006 (SCRS/2007/055) obtenidos a partir de los datos de los cuadernos de pesca de los pescadores, en número de ejemplares y en biomasa (ajustando las cifras de los cuadernos de pesca mediante los pesos medio por periodo y por zona a partir de los datos de los observadores). Estos índices muestran una clara tendencia descendente hasta 2003, seguida por un incremento en los tres últimos años (**Figura 22**). También se desarrollaron los índices en número de ejemplares para la pesquería de palangre pelágico estadounidense utilizando los datos de los observadores; dichos índices se presentaron en el documento SCRS/2007/056. En la **Figura 23** se muestra el índice basado en datos de observadores y que abarca la totalidad de la pesquería palangrera pelágica estadounidense comparándolo con el índice basado en los datos de los cuadernos de pesca, el tamaño de la muestra de los datos de los observadores podría influir en la variabilidad relativamente alta del índice. También se calculó un índice independiente para la pesquería de palangre pelágico estadounidense del Golfo de México utilizando los datos de los observadores estadounidenses (**Figura 24**), dicho índice mostraba una fuerte variabilidad sin una tendencia clara. La finalización de la incorporación prevista de los datos de observadores mexicanos con el fin de calcular un índice combinado podría mejorar estos resultados.

En el documento SCRS/2007/059 se presentó un índice en número para la pesquería palangrera brasileña (1978-2005). No se evidenció ninguna tendencia clara, y los valores presentaban fuertes variaciones durante la década de los noventa (**Figura 25**). La discusión se centró en la importancia del factor especie objetivo, que se calculó mediante un análisis de conglomerado. Se consideró este enfoque podría no reflejar totalmente los cambios reales en la conducta relacionados con la especie objetivo, y que esto podría ser explicar, en parte, la variabilidad.

En Okamoto (2007) se presentaba un índice para la flota palangrera japonesa (1965-2005) en número de peces, en el que se utilizaron, además de los factores comunes, factores medioambientales como la temperatura de la superficie del mar. Se agruparon los datos de captura y esfuerzo por mes, cuadrículas de 5° y número de anzuelos entre flotadores. Los datos para 2005 se consideraron preliminares. El índice mostraba una clara tendencia global descendente (**Figura 26**), aunque las estimaciones de valor para 2003 y 2004 habían mostrado una cierta recuperación (previa a la estimación preliminar de 2005). Este índice es el índice de abundancia estandarizada de rabil con la mayor cobertura espaciotemporal.

En el documento SCRS/2007/052 se presentaba un índice, en número de peces, para la pesquería estadounidense de caña y carrete (1986-2006). En este análisis se utilizaron encuestas *in situ*. Las tendencias eran bastante variables, con una tendencia descendente desde 1986 a 1992, seguida por una tendencia creciente (con importantes fluctuaciones) hasta 1999, y finalmente por una tendencia decreciente en general. Se manifestó cierta inquietud con respecto a que las mareas fructíferas dentro del conjunto de datos del análisis fueran escasas, lo que podría contribuir a la variabilidad en el índice. Se debatieron alternativas que podrían restringir potencialmente el conjunto de datos del análisis para centrarse más en el esfuerzo dirigido al rabil; se aplicó este tratamiento alternativo durante la reunión y los índices actualizados (que variaron ligeramente con este nuevo enfoque) se muestran en la **Figura 27**. Se están considerando mejoras adicionales al análisis para realizar cálculos que se presentarán en reuniones futuras.

Tendencias en el peso medio/talla media

La tendencia en el peso medio global, calculada a partir de los datos de captura por talla, ha ido descendiendo a un ritmo bastante constante desde 1973 (**Figura 28**). En la **Figura 29** se muestran las tendencias en el peso

medio por grupo de arte. El peso medio en las capturas de cerco, que suponen la mayor parte de los desembarques, ha descendido desde 1992. Este descenso se debe, al menos en parte, a cambios en la selectividad asociados con la pesca sobre objetos flotantes. También se han producido descensos menos drásticos en el peso medio para la pesquería de cebo vivo. Las flotas de palangre, que no han experimentado cambios tan drásticos en la selectividad y que se dirigen a ejemplares más grandes, han experimentado un descenso general en el peso medio desde 1975, aunque los promedios calculados han experimentado una amplia variación que se inició en 2002. Las causas de esta variabilidad en el peso medio del palangre en los últimos años no están claras, aunque gran parte de estos datos se consideran todavía preliminares. Los valores para 2005 son preliminares.

Para determinar los cambios en el peso medio de la flota de cerco con independencia de los cambios en la selectividad asociada con la pesca con DCP (también conocidos como “objetos”), se examinaron las tendencias de la flota de cerco europea y asociada de forma independiente y por tipo de lance (**Figura 30**). En general, los pesos medios mostraron un descenso tanto en los lances sobre bancos libres como en los lances sobre DPC, aunque se produjo una ligera recuperación en 2006. Esto sugiere que el descenso de los pesos medios en el cerco no puede atribuirse totalmente a un incremento en la proporción de lances sobre DCP. En la **Figura 31** se ilustran las distribuciones completas de tallas para los dos tipos de lances, comparando el periodo 2001-2005 con el de 2006, durante los seis últimos años. En la **Figura 32** se muestran las distribuciones de tallas para el mismo periodo en las flotas de cebo vivo europea y asociada.

Durante la reunión se presentó información sobre la talla media del rabil, por año, capturado por la flota palangrera estadounidense (SCRS/2007/054), tal y como se muestra en la **Figura 33**. No se observó una tendencia significativa en la talla media para el periodo 1992-2006.

El examen de estos diferentes indicios en la pesquería no puede sustituir a una evaluación total del stock. Sin embargo, los descensos observados en las tendencias de abundancia estandarizada para las principales pesquerías palangreras, junto con los descensos en el peso medio que no pueden explicarse totalmente por el incremento de los lances de cerco sobre DCP, refuerzan la necesidad de realizar una evaluación exhaustiva de stock de rabil. Es importante que dicha evaluación considere estos y otros indicadores.

5.1.3 Patudo

Tendencia general en la captura de patudo por arte

La captura total anual (**Figura 34**) experimentó un marcado incremento, y alcanzó las 130.000 t en 1994, y descendió rápidamente hasta menos de la mitad, aproximadamente 60.000 t en 2005. Este importante descenso se observó no sólo en las pesquerías de palangre, sino también en las pesquerías de cerco y de cebo vivo. La captura de palangre respondió de aproximadamente el 60-70% de la captura total. En 2005, la captura de las principales pesquerías ascendió a 35.400 t, 12.500 t y 11.000 t, para las pesquerías de palangre, cerco y cebo vivo, respectivamente.

Indicadores de las pesquerías presentados en esta reunión

Durante la reunión se presentaron las CPUE estandarizadas de patudo para una pesquería de palangre, dos pesquerías de cebo vivo y una pesquería de cerco. Las CPUE de Taipeí Chino y Japón, que son las principales flotas que capturan patudo, no se actualizarán hasta la próxima evaluación de patudo, que tendrá lugar en junio de 2007, utilizando los datos disponibles más recientes.

Cerco de la UE (SCRS/2007/058): La captura de patudo de la pesquería de cerco de la UE, que ascendió a aproximadamente 30.000 t en 1993, descendió hasta 13.000 t en 1998, y se ha mantenido en el mismo nivel tras dicho año. Aunque el 80-90% del patudo se ha capturado en operaciones en bancos asociados con objetos, en 2006 la captura en bancos libres fue excepcionalmente alta, con aproximadamente un 30%. La CPUE de cada tipo de operación (banco libre u objeto) se ha mantenido al mismo nivel y no muestra ninguna tendencia marcada, con la excepción de una CPUE relativamente alta en lances sobre bancos libres en 2006 (**Figura 35**).

El Grupo debatió el modo en que debería estandarizarse la CPUE del cerco para la próxima evaluación de stock de patudo en junio de 2007. En cuanto a los dos índices de CPUE, “captura por lance positivo” y “captura por día de búsqueda”, el primero sería apropiado para el patudo pequeño, y las CPUE de los dos tipos de operaciones, bancos libres y asociados con objetos, deberían tratarse por separado (véase también la Sección 8).

Cebo vivo de la UE con base en Dakar (SCRS/2007/058): la captura de patudo de los barcos de cebo vivo de la UE ha fluctuado en torno a 2.000-4.000 t, con la excepción de las elevadas capturas de 5.000-7.000 t desde 1999

hasta 2001, inclusive (**Figura 36**). El esfuerzo total ha experimentado un constante incremento pasando de 1.500 días en 1991 hasta aproximadamente 3.500 días en los últimos años. La CPUE (toneladas/día) que ha fluctuado entre 1,5 t y 2,5 t, descendió repentinamente hasta 1,0 t y se ha mantenido en un nivel bajo hasta la fecha (**Figura 37**).

Palangre brasileño (SCRS/2007/059): Se estandarizó la CPUE de patudo para la pesquería palangrera brasileña para el periodo 1978-2005, utilizando el mismo conjunto de datos y el mismo método que se utilizó para el rabil. La CPUE estandarizada de patudo (ejemplares/100 anzuelos) se mantuvo estable en torno a 0,3-0,5 t hasta 2000, y posteriormente se mantuvo en un nivel bajo del orden de 0,2 t (**Figura 28**). Se mencionó que no se disponía de información sobre estrategia de pesca o configuración del arte, aunque deberían ser factores importantes para estandarizar los cambios anuales y estacionales en la estrategia de pesca en función de la especie.

Cebo vivo de Azores: La captura de cebo vivo de Azores, que fluctuó entre 1.000 y 6.000 t para el periodo 1950 -1999, descendió después hasta menos de 1.000 t. El patudo se captura sobre todo en el segundo trimestre, de mayo a julio. Para la CPUE, estandarizada mediante un modelo delta lognormal, se observó una tendencia descendente constante hasta 2003, y una tendencia creciente en 2004 y 2005 (**Figura 39**). El Grupo consideró que la CPUE de la pesquería de las Islas Canarias debería ser diferente a la de cebo vivo de Azores.

Peso medio

Durante esta reunión, se presentaron análisis de peso medio y talla media para los últimos años para las pesquerías de cebo vivo y de cerco de la UE. La información sobre tallas para esta especie se resumirá, incluyendo otras pesquerías, en la próxima reunión de evaluación de patudo, que se celebrará en junio de 2007.

Cerco de la UE: el peso medio de la captura se ha mantenido constante en torno a 4-5 kg en la captura de los lances sobre objetos, mientras que la captura de los lances sobre bancos libres ha fluctuado entre 5 y 14 kg (**Figura 40**). Cabe destacar que el patudo grande de aproximadamente 140-170 cm predominó en los lances sobre bancos libres en 2006, mientras que, en ese mismo año, la composición por talla de las capturas en bancos asociados con objetos fue similar a la de años anteriores (**Figura 41**).

Cebo vivo de la UE con base en Dakar: el peso medio de la pesquería de cebo vivo (**Figura 42**) fue elevado, se situó en aproximadamente 10 kg desde 1991 hasta 1997 y descendió repentinamente hasta 7 Kg. en 1998. Este bajo peso medio se mantuvo hasta 2004 y después volvió a un nivel alto de aproximadamente 10 kg en 2005 y 2006.

5.2 Indicadores de las pesquerías relacionados con las pesquerías multiespecíficas y los ecosistemas

El Grupo resaltó que las pesquerías de túnidos tropicales son multiespecíficas, con fuertes interacciones en las selectividades y las mortalidades por pesca entre el rabil, listado y patudo. Considerando lo anterior, sería útil desarrollar nuevos indicadores que reflejen la situación de la pesquería en su conjunto. Siguiendo esta línea, se reconoció que las pesquerías de túnidos tropicales influyen en el ecosistema pelágico.

Este año no se presentó ningún documento sobre este tema. Sin embargo, el Grupo consideró que los puntos de la reunión de Sète (2006) seguían siendo válidos:

- Indicadores para el desarrollo sostenible de las pesquerías de captura marinas (Código de conducta para la pesca responsable).
- Uso actual de los indicadores de la pesquería y los puntos de referencia y su aplicación potencial a la ordenación de pesquerías marinas.
- Indicadores comunitarios que pueden medir el impacto de la pesca.
- El marco de trabajo de la FAO para el uso de indicadores cuantitativos y mediciones de rendimiento para gestionar las especies objetivo y los impactos en el ecosistema.

En este sentido, la UE prevé integrar la información del impacto de la pesca en los ecosistemas en su nueva Reglamentación sobre recopilación de datos, que se iniciará en 2008.

Sin embargo, se resaltó que en este momento el Grupo está trabajando con varios indicadores que podrían considerarse desde el punto de vista multiespecífico (captura de todas las especies/lance, CPUE). La discusión tendrá que remitirse al Subcomité de ecosistemas para conseguir una perspectiva más amplia del problema. El

Grupo examinó varios indicadores generales de las pesquerías de cerco y cebo vivo como: cambio de la capacidad de transporte en el tiempo (**Figuras 16 y 18**), número total de lances, porcentaje de lances fructíferos por modo de pesca (**Figura 17**) y área total visitada y explotada (**Figuras 43 y 44**).

Con el fin de examinar el patrón de la producción global de la pesquería de palangre y las tasas de captura en el Atlántico tropical oriental para una comparación con el patrón disponible para las pesquerías de superficie, se examinaron la captura y el esfuerzo por cuadrículas de 5° en la región que se extiende desde la costa africana hacia el mar hasta 30° W de longitud y entre 10°S y 25°N de latitud. Los datos que se utilizaron fueron los datos registrados en el archivo CATDIS y los datos de esfuerzo pesquero del palangre recopilados por el Subcomité de ecosistemas en su reunión de marzo de 2007. En la **Figura 45** se ilustra el patrón de esfuerzo, captura y CPUE nominal por año para todo el periodo y para el periodo desde 1991 para compararlo con perspectivas similares de la flota de cerco tropical; en la **Figura 46** se presenta el área total visitada y explotada (1°x1°) por la flota palangrera japonesa desde 1997.

Con el objetivo de fomentar enfoques multiespecíficos en las pesquerías de túnidos tropicales, durante la reunión se realizaron comparaciones de los cambios en el tiempo en la mortalidad total Z para el rabil y el listado, utilizando los datos de captura por talla facilitados por la Secretaría. Se procedió a una estimación aparente de Z para cada especie sobre la base de la siguiente ecuación:

$$Z = K * (L_{\infty} - L_{moy}) / (L_{moy} - L_c),$$

donde L_{∞} y K representan los parámetros convencionales de la curva de crecimiento de von Bertalanffy, L_c = la talla en la que los ejemplares están plenamente reclutados y L_{moy} la talla media para los ejemplares plenamente reclutados (Beverton y Holt, 1956) (**Figura 47**). En esta figura puede observarse que la mortalidad total de listado descendió desde finales de la década de los noventa, posiblemente debido a la moratoria a la pesca sobre objetos flotantes, ya que el listado ha sido la principal especie afectada.

Durante la reunión actual del Grupo de especies se actualizó otro indicador. Este indicador, denominado “asimetría” en lo sucesivo, se basa en el supuesto razonable de que un incremento en el esfuerzo pesquero reduce la proporción de ejemplares mayores en la población y, debido a esto, la composición talla/edad se vuelve más asimétrica (Rosenberg and Brault (1991) en Caddy, 2004). Este indicador se define como:

$$\text{Asimetría} = N - 1 \sum [(X_i - X_{moy}) / s]^3,$$

donde N es el número de clases de edad/talla, X_i es la abundancia relativa de la clase i , X_{moy} y s son la abundancia media y la desviación estándar, respectivamente. En la **Figura 48** se muestran los cambios de este indicador a lo largo de los años para las tres especies. La tendencia general descrita en esta figura (es decir, que se asume que refleja un incremento global en la mortalidad por pesca) refuerza la tendencia observada en el anterior análisis de Z (aunque pueden existir algunas discrepancias entre ambos indicadores).

El Grupo reconoce el interés de este tipo de indicadores y sugiere que, en futuros análisis, se comparen este tipo de indicadores con los cambios del estado del stock en el tiempo, tal y como se han estimado mediante los modelos de evaluación convencionales. Asimismo, el Grupo indicó la necesidad de evaluar la precisión de dichos indicadores mediante estudios de simulación, especialmente cuando se considera la posibilidad de una gran variabilidad en la talla por edad para algunas especies.

5.3 Otros indicadores

En esta misma línea y en consonancia con los enfoques ecosistémicos, el Grupo resaltó también la necesidad de evaluar y comprender aún más las relaciones entre las condiciones e indicadores medioambientales y el éxito de las pesquerías de túnidos. El Grupo recomendó que se trabajase en la identificación de indicadores medioambientales fiables para explicar la abundancia y disponibilidad de túnidos. Sería conveniente también adquirir una mejor comprensión de los efectos del precio relativo que se paga por el rabil, patudo y listado, así como de otros factores económicos, en los cambios de estrategia pesquera que afectan a estas especies.

6. Examen de los progresos realizados en la mejora de la base de datos sobre mercado

No se presentaron documentos específicos relacionados con los análisis de las bases de datos de mercado para el rabil o el listado. La Secretaría presentó la situación de actualización de la base de datos de mercado, tablas sobre los datos de mercado actuales para el listado y rabil, así como mapas de las

localizaciones de la colocación y recuperación de marcas (ICCAT 2006). La Secretaría ha desarrollado un esfuerzo importante dedicado a incorporar las sugerencias del documento SCRS/2007/057 para corregir los problemas detectados en la base de datos. Sin embargo, se cree que se necesitan varios meses más de trabajo dedicado a la base de datos para que ésta resulte plenamente utilizable para las evaluaciones de rabil y listado. No obstante, la base de datos de marcado incluye registros de 1.711 recuperaciones para 19.361 rabiles marcados (0,09%), 6.538 recuperaciones para 42.483 listados marcados (15%) y 3.021 recuperaciones para 14.170 patudos marcados.

Estos datos pueden aplicarse para estimar tasas de mortalidad (Ortiz de Zárate y Bertignac, 2002), para mejorar las estimaciones de crecimiento y para determinar las tasas de movimiento y la estructura del stock, que podrían aplicarse a las evaluaciones de rabil y listado. En particular, la variabilidad latitudinal en las tasas de crecimiento (SCRS/2007/057) puede requerir la estimación de las tasas de movimiento y/o mezcla entre regiones. Sin embargo, hasta ahora no se ha obtenido nueva información de la base de datos de marcado susceptibles de cambiar la situación actual de un único stock de rabil asumida en la evaluación de stock de 2003 (Anon, 2004).

Se indicó que los datos de marcado son muy convenientes para aplicar los modelos de evaluación Multifan-CL (Miyabe *et al.* 2005). En particular, es necesario contar con registros de la pesquería que realiza la liberación y del momento en que se realiza para cada ejemplar marcado y de la pesquería que recupera la marca y del momento en que la recupera con el fin de estimar las tasas de mezcla y las mortalidades por pesca por pesquerías. Para el listado y para el rabil, no se cuenta con información sobre todos los ejemplares marcados y sobre las pesquerías que los recuperan, sin embargo, si se dispone de estos datos para el patudo y posiblemente estos datos se utilizarán en la próxima evaluación. Asimismo, se recomienda que los usuarios individuales de los datos y las entidades de marcado individuales participen en el proceso de detección de errores y verificación en el terreno de los registros que faltan.

7. Recomendaciones generales

Las recomendaciones dirigidas al Grupo de especies tropicales están incluidas en otras partes de este informe. Las Recomendaciones de esta sección revisten un carácter más general y están dirigidas al SCRS o las Partes contratantes y Partes, Entidades o Entidades pesqueras no contratantes colaboradoras (CPC).

Información sobre la flota. El Grupo constató que relativamente pocas CPC están presentando información completa sobre las características y el tamaño de la flota junto con los datos de la Tarea I, tal y como se requiere. La información sobre la flota es extremadamente valiosa para los Grupos de especies y para el SCRS, ya que permite una caracterización adecuada de las pesquerías. Contar con información histórica completa sobre la flota reviste especial importancia a la hora de comprender los cambios en la explotación que se han producido en el tiempo. El Grupo recomienda que el SCRS considere el modo de cubrir las lagunas existentes en la información sobre la flota y el modo en que se puede mejorar la comunicación de esta información en el futuro.

Frecuencias de talla. El Grupo elogió los esfuerzos de control de calidad realizados por la Secretaría para mejorar los datos de frecuencias de tallas. Sin embargo, existen limitaciones en cuanto a lo que la Secretaría puede hacer en términos de validación de datos. Por ello, se recomienda que los científicos nacionales examinen todos los datos de frecuencias de talla de las bases de datos de la Secretaría a efectos de validación (por ejemplo, datos atípicos, entradas duplicadas, clasificaciones incorrectas de artes, etc. cerciorándose en general de que lo que aparece en la base de datos es igual a lo que se comunicó originalmente). Este examen debería completarse antes de octubre de 2007. Tras ese plazo, los Grupos de especies deberían decidir cómo proceder.

Falso pescado. El Grupo consideró que las cantidades de captura no comunicadas consideradas *falso pescado* eran bastante importantes, sobre todo para el listado, aunque quizás menos para el rabil y patudo, porque las tallas de los ejemplares en cuestión son más pequeñas. Se recomendó que el SCRS considere oficialmente estas capturas como descartes.

8. Otros asuntos

Con el fin de facilitar parte del trabajo que tiene que realizarse para los análisis MULTIFAN-CL que están previstos para antes de la evaluación de patudo de junio de 2007, el Grupo de especies examinó la definición de las pesquerías en el modelo y la disponibilidad de datos. Durante el debate se estableció la condición que se intentasen realizar los menores cambios posibles en las pesquerías que se definieron en la evaluación de 2004. A

continuación se expone un resumen de las conclusiones a las que se llegó:

- **Pesquerías.** El Grupo de Especies recomendó dividir la pesquería de cerco (anteriormente “Pesquería 3”) reciente (desde 1991) en dos pesquerías independientes en función del tipo de lance (bancos libres y DCP). Se realizaron otras mejoras en las clasificaciones de las pesquerías como combinar BB+PS de Ghana en una misma pesquería; asegurase de que en el modelo se tienen en cuenta las capturas de todas las flotas (a este efecto, se añadirían las capturas de la Región 3 de los artes de superficie a las capturas de Otros LL en la misma región; asegurarse de que las capturas de cebo vivo españolas en la zona tropical oriental se incluyen en las pesquerías correspondientes. En la **Tabla 9** se presenta un resumen de las pesquerías.
- **Series de CPUE.** La Secretaría preparará las series de CPUE por año y trimestre utilizando los datos de la Tarea II, con la excepción de las siguientes series de CPUE que serán preparadas por científicos nacionales:
 - 1) Palangre japonés (series 10, 11 y 12)
 - 2) Palangre brasileño, series independientes para las pesquerías 14 y 15.
 - 3) Palangre de Azores para la pesquería 9.

9. Adopción del informe y clausura

El presidente volvió a expresar su agradecimiento a los anfitriones locales por la organización de la reunión. El informe fue adoptado y la reunión fue clausurada.

Referencias

- ANON. 2004. 2003 ICCAT Atlantic Yellowfin Tuna Stock Assessment Session. Collect. Vol. Sci. Pap. ICCAT, 56(2): 443-527.
- ANON. 2007. Report of the 2006 ICCAT Inter-sessional Tropical Species Working Group. (Sète, Frnace, April 24 a28, 2006) Collect. Vol. Sci. Pap. ICCAT, 60(1): 1-90.
- ARIZ J. and D. Gaertner. 1999. A study of the causes of the increase of the catches of bigeye tuna by the European purse seine tuna fleets in the Atlantic Ocean. Program UE DG-Fish (96/028).
- BEVERTON, R.J.H. and S.J. Holt. 1956. A review of methods for estimating mortality rates in exploited fish populations, with special reference to sources of bias in catch sampling. Rapp. P.-V. Réun, CIEM, 140: 67-83.
- CAYRE, P., T. Diouf, A. Fonteneau et M.H Santa Rita Vieira. 1986. Analyse des données de marquages et recaptures de listao (*Katsuwonus pelamis*) réalisés par le Sénégal et la République du Cap-Vert. In. *Proceedings of the ICCAT Conference on the International Skipjack Year Program*. P.E. K. Symons, P.M. Miyake & G.T. Sakagawa (eds.). pp. 309-316.
- CAYRE, P. and F. Laloe. 1986. Relation poids-longueur de listao (*Katsuwonus pelamis*) de l’Océan Atlantique. Proc. ICCAT Intl. Skipjack Yr. Prog. 1: 335-340.
- GAERTNER, D., J.P. Hallier and M.N. Maunder. 2004. A tag-attrition model as a means to estimate the efficiency of two types of tags used in tropical tuna fisheries. *Fish. Res.*, 69: 171–180
- GAERTNER, D., P. Kebe and C. Palma. 2007. Some clues for correcting the tagging database of tropical tunas. Collect. Vol. Sci. Pap. ICCAT. 60(1): 185-189.
- HERVE A., R. Dédo, S. Diomande et A. Gobo. 2004. Actualisation des quantités de "faux-poissons" débarquées par les senneurs à Abidjan de 1981 à 2004. Collect. Vol. Sci. Pap. ICCAT, 56(2): 443-527.
- ICCAT. 2006. ICCAT Statistical Bulletin, Vol. 35.
- MIYABE, N., Y. Takeuchi, H. Okamoto and V.R. Restrepo. 2005. A new attempt of Atlantic bigeye tuna (*Thunnus obesus*) stock assessment by statistical integrated model (MULTIFAN-CL). Collect. Vol. Sci. Pap. ICCAT, 57(2):177-200.
- OKAMOTO, H. 2007. Standardized Japanese longline CPUE for yellowfin tuna in the Atlantic Ocean from 1965 up to 2005. Collect. Vol. Sci. Pap. ICCAT. 60(1): 342-350

- ORTIZ DE ZÁRATE, V. de & M. Bertignac. 2002. Analysis of tagging data from North Atlantic albacore (*Thunnus alalunga*): attrition rate estimates. Collect. Vol. Sci. Pap. ICCAT, 4(5): 1438-1453.
- ROMAGNY B., F. Ménard, P. Dewals, D. Gaertner et N. N'Goran. Le “ faux-poisson ” d'Abidjan et la pêche sous DCP dérivants dans l'Atlantique tropical Est : circuit de commercialisation et rôle socio-économique. In « Pêche thonière et dispositifs de concentration de poissons. Ed. Ifremer, Actes colloq, 28, 634-652.
- SHUFORD, R.L., J.M. Dean, B. Stequert, E. Morize. 2007. Age and growth of yellowfin tuna in the Atlantic Ocean. Collect. Vol. Sci. Pap. ICCAT. 60(1): 1330-341

TABLEAUX

Tableau 1. Prises de thon obèse, d'albacore et de listao par année et pavillon.

Tableau 2. Prise par taille du listao de l'Atlantique Est (tableau supérieur) et Ouest (tableau inférieur).

Tableau 3. Liste des substitutions réalisées pour obtenir la distribution par taille des prises de listao dans l'Atlantique Est.

Tableau 4. Prise par taille de l'albacore de l'Atlantique.

Tableau 5. Définitions des pêches proposées afin d'être utilisées dans de nouvelles analyses sur le listao et l'albacore.

Tableau 6. Volume total de thonidés débarqués et transbordés dans un port d'Abidjan et quantités estimées correspondantes de « faux poissons » (d'après le nombre de fourgons et/ou camions).

Tableau 7. Formulaire utilisé pour estimer les quantités et la composition spécifique des déchargements de « faux poissons ».

Tableau 8. Composition spécifique des déchargements de “faux-poissons” pendant deux périodes d'échantillonnage.

Tableau 9. Définitions des pêches suggérées pour l'évaluation sur le thon obèse par MULTIFAN-CL. (NOTE : Zone 1 = N de 25°N ; Zone 2 = 15°S à 25°N ; Zone 3 = S de 15°S).

TABLAS

Tabla 1. Capturas de patudo, rabil y listado por año y pabellón.

Tabla 2. Captura por talla de listado del Atlántico este (tabla superior) y oeste (tabla inferior).

Tabla 3. Lista de sustituciones realizadas para obtener la distribución por talla de la captura de rabil en el Atlántico este

Tabla 4. Captura por talla del rabil del Atlántico

Tabla 5. Definiciones de pesquerías propuestas para su utilización en ulteriores análisis de listado y rabil.

Tabla 6. Cantidades totales de túnidos desembarcadas y transbordadas en Abidján y cantidades correspondientes estimadas de “falso pescado” (a partir del número de furgonetas y/o camiones).

Tabla 7. Formulario utilizado para estimar las cantidades y composición por especie de desembarques de “falso pescado”.

Tabla 8. Composición por especies de desembarques de “falso pescado” durante los dos periodos muestreados.

Tabla 9. Definiciones de pesquerías sugeridas para la evaluación BET MULTIFAN-CL. (NOTA: Región 1= N de 25°N, Región 2 = 15°S a 25°N, Región 3 = S de 15°S).

FIGURES

- Figure 1.** Evolution de l'estimation du “faux-poisson” déchargé dans le port d'Abidjan depuis 1981.
- Figure 2.** Composition spécifique du “faux-poisson” déchargé pendant deux périodes d'échantillonnage.
- Figure 3.** Composition par taille du “faux-poisson” déchargé pendant la période d'échantillonnage 1997-1998.
- Figure 4.** Prise totale d'espèces tropicales (albacore, listao et thon obèse) par engin au titre de la période 1950-2005.
- Figure 5.** Prise totale de listao atlantique par engin au titre de la période 1950-2005.
- Figure 6.** Total des débarquements de listao de l'Atlantique Est et Ouest de 1950 à 2005.
- Figure 7.** Changements des différents indices de CPUE du listao pour les senneurs de l'Union européenne dans l'Atlantique Est : CPUE en t/jours de recherche (panneau supérieur) et en t/opération positive (panneau inférieur).
- Figure 8.** Changements dans le temps de la CPUE des trois espèces thonières pour les canneurs basés à Dakar.
- Figure 9.** CPUE standardisée du listao pour la pêcherie de canneurs des Açores. L'indice a été obtenu en ajustant un GLM delta-lognormal aux registres de capture journaliers. Symboles ouverts : CPUE observée. Lignes : CPUE prédictive et intervalles de confiance d'environ 95%.
- Figure 10.** Changements dans les CPUE nominales pour les canneurs brésiliens et les senneurs vénézuéliens dans l'Atlantique Ouest (1981-2005).
- Figure 11.** Changements dans les CPUE standardisées pour la pêcherie récréative des Etats-Unis dans l'Atlantique Ouest (1981-2005).
- Figure 12.** Changement dans le temps du poids moyen (kg) à partir de la prise par taille du listao de l'Atlantique Est capturé par le principal engin de pêche.
- Figure 13.** Changement dans le temps du poids moyen (kg) à partir de la prise par taille du listao de l'Atlantique Ouest capturé par le principal engin de pêche.
- Figure 14.** Diagrammes de distribution des données (médiane, 1^{er} et 3^{ème} quartile, minimum et maximum) du poids de la carcasse du listao. Les largeurs des boîtes sont proportionnelles à la taille de l'échantillon et les pointillés représentent les longueurs qui sont en dehors de la gamme de l'interquartile 1,5*. Les poids sont obtenus en convertissant en poids les longueurs à la fourche mesurées individuellement, en utilisant la relation Cayre-Laloe (1986).
- Figure 15.** La prise totale d'albacore de l'Atlantique par engin pour la période 1950-2005.
- Figure 16.** Changement dans le temps de la capacité de transport des senneurs de l'Union européenne.
- Figure 17.** Proportion des opérations avec DCP, % des opérations réussies et nombre total d'opérations pour les senneurs de l'Union européenne dans l'Atlantique Est.
- Figure 18.** Changement dans le temps de la capacité de transport des canneurs basés à Dakar.
- Figure 19.** Tendance des captures d'albacore des senneurs de l'Union européenne et associés dans l'Atlantique Est, par type d'opération.
- Figure 20.** Tendance de la capture par unité d'effort nominal de l'albacore (t/jour de recherche) des senneurs de l'Union européenne et associés dans l'Atlantique Est, par type d'opération.
- Figure 21.** Tendance de la capture par unité d'effort nominal de l'albacore (t/opération positive) des senneurs de l'Union européenne et associés dans l'Atlantique Est, par type d'opération.
- Figure 22.** Comparaison de la CPUE standardisée de l'albacore en poids et nombre obtenue des journaux de bord de la pêcherie palangrière pélagique des Etats-Unis dans l'Atlantique Ouest. Les deux mesures sont échelonnées à leurs moyennes individuelles.
- Figure 23.** Comparaison des journaux de bord des palangriers pélagiques des Etats-Unis avec la CPUE standardisée de l'albacore consignée par les observateurs (#1.000 hameçons) pour l'Atlantique Ouest. Les indices sont échelonnés à leur moyenne.
- Figure 24.** CPUE standardisée de l'albacore en nombre obtenue des données d'observateurs de la flottille palangrière pélagique des Etats-Unis, élaborée pour toutes les zones de la pêcherie ainsi que pour le Golfe du Mexique.

Figure 25. CPUE standardisée de l’albacore pour l’Atlantique Ouest, en nombre, obtenue des données des carnets de pêche de la flottille palangrière pélagique du Brésil.

Figure 26. CPUE standardisée de l’albacore pour l’Atlantique, en nombre, obtenue des données palangrières pélagiques japonaises agrégées par mois, carré de 5° et nombre d’hameçons entre flotteurs.

Figure 27. CPUE standardisée de l’albacore pour l’Atlantique Ouest, en nombre, obtenue des données de l’enquête sur le terrain réalisée au sein de la pêcherie à la canne et moulinet des Etats-Unis.

Figure 28. Poids moyen global de l’albacore de l’Atlantique.

Figure 29. Poids moyen de l’albacore de l’Atlantique par groupe d’engin.

Figure 30. Tendances du poids moyen de l’albacore, par type d’opérations, pour la flottille de senneurs européens et associés.

Figure 31. Distribution numérique de la longueur de l’albacore, par type d’opérations (DCP – en haut ; bancs libres – en bas) pour la flottille de senneurs européens et associés.

Figure 32. Distribution numérique de la longueur de l’albacore pour la flottille de canneurs européens et associés.

Figure 33. Diagrammes de distribution des données (médiane, 1^{er} et 3^{ème} quartile, minimum et maximum) de la longueur à la fourche en projection horizontale de l’albacore, par an, pour la pêcherie palangrière pélagique des Etats-Unis. Les largeurs des boîtes sont proportionnelles à la taille de l’échantillon et les pointillés représentent les longueurs qui sont en dehors de la gamme de l’interquartile 1,5*.

Figure 34. Prise annuelle de thon obèse par engin. PS : senneurs ; LL : palangriers et BB : canneurs.

Figure 35. Deux types de CPUE (gauche: t/jour de recherche; droite: t/opération positive) pour le thon obèse capturé par la pêcherie de senneurs de l’Union européenne.

Figure 36. Prise totale (t) et effort (jours) de la pêcherie de canneurs de l’Union européenne.

Figure 37. Changement historique dans la CPUE des canneurs de l’Union européenne en ce qui concerne le thon obèse.

Figure 38. CPUE nominale et standardisée de l’albacore et du thon obèse pour les palangriers thoniens brésiliens, de 1978 à 2005.

Figure 39. CPUE standardisée du thon obèse pour la pêcherie de canneurs des Açores. Symboles ouverts : CPUE observée. Lignes : CPUE prédictive et intervalles de confiance d’environ 95%.

Figure 40. Changement du poids moyen du thon obèse capturé par opération sur bancs associés à des objets, sur bancs libres et total.

Figure 41. Composition par taille du thon obèse capturé lors d’opérations avec objet flottant (gauche) et sur bancs libres (droite) en 2001-2005 et 2006.

Figure 42. Changement du poids moyen du thon obèse capturé par la pêcherie de canneurs de l’Union européenne.

Figure 43. Changement dans le temps de la zone totale visitée et exploitée par les senneurs de l’Union européenne.

Figure 44. Changement dans le temps de la zone totale visitée et exploitée par les canneurs basés à Dakar.

Figure 45. Pêcheries palangrières, effort (hameçons), schéma de CPUE nominale et capture, par année pour l’ensemble de la période et pour la période courante depuis 1991.

Figure 46. Changement dans le temps de la zone totale visitée et exploitée (1°x1°) par la flottille palangrière japonaise.

Figure 47. Changements au fil des ans de la mortalité totale Z pour les trois espèces tropicales (YFT, BET et SKJ).

Figure 48. Tendances d’un “indicateur démographique” (“asymétrie ») analysée pendant la réunion en ce qui concerne l’albacore, le listao et le thon obèse. Cet indicateur est supposé refléter une augmentation globale de la mortalité par pêche.

FIGURAS

Figura 1. Evolución de la estimación de “falso pescado” desembarcado en el Puerto de Abidján desde 1981.

Figura 2. Composición por especies del “falso pescado” desembarcado durante los dos periodos muestreados.

Figura 3. Composición por talla del “falso pescado” desembarcado durante el periodo de muestreo 1997-1998.

Figura 4. Captura total de especies tropicales (rabil, listado y patudo) por arte para el periodo 1950-2005.

Figura 5. Captura total de listado del Atlántico por arte para el periodo 1950-2005.

Figura 6. Desembarques totales de listado del Atlántico oriental y occidental desde 1950 hasta 2005.

Figura 7. Cambios de diferentes índices de CPUE SKJ para los cerqueros de la UE en el Atlántico este: CPUE en t/día de búsqueda (panel superior) y en t/lance positivo (panel inferior).

Figura 8. Cambios en el tiempo de la CPUE de tres especies de túnidos para los barcos de cebo vivo con base en Dakar.

Figura 9. CPUE estandarizada para el listado para la pesquería de cebo vivo de Azores. El índice se obtuvo mediante el ajuste de un GLM delta lognormal a los registros de captura diarios. Símbolos abiertos: CPUE observada. Líneas: CPUE predicha e intervalos de confianza aproximados del 95%.

Figura 10. Cambios en la CPUE nominal para los barcos de cebo vivo brasileños y para los cerqueros venezolanos en el Atlántico occidental (1981-2005).

Figura 11. Cambios en las CPUE estandarizadas para la pesquería de recreo estadounidense en el Atlántico occidental (1981-2005).

Figura 12. Cambios en el peso medio (kg) en el tiempo a partir de la captura por talla del listado del Atlántico oriental capturado por arte de pesca principal.

Figura 13. Cambios en el peso medio (kg) en el tiempo a partir de la captura por talla del listado del Atlántico occidental capturado por el arte de pesca principal

Figura 14. Diagrama de distribución de datos (mediana, primer y tercer cuartil, mínimo y máximo) del peso de los cuerpos de listado. Las anchuras de las cajas son proporcionales a la talla de la muestra, y los puntos representan las longitudes fuera de la gama del intercuartil 1,5*. Los pesos se obtuvieron convirtiendo en peso las longitudes a horquilla medidas individualmente utilizando la relación Cayre-Laloe (1986)

Figura 15. Captura total de rabil del Atlántico por arte para el periodo 1950-2005.

Figura 16. Cambio en el tiempo de la capacidad de transporte de los cerqueros de la UE.

Figura 17. Proporción de lances en DCP, % de lances positivos y número total de lances para los cerqueros de la UE en el Atlántico oriental.

Figura 18. Cambio en el tiempo de la capacidad de transporte de los barcos de cebo vivo con base en Dakar.

Figura 19. Tendencia de las capturas de rabil de la flota de cerqueros UE y asociadas en el Atlántico oriental por tipo de lance.

Figura 20. Tendencia de la captura por unidad de esfuerzo nominal del rabil (toneladas/día de búsqueda) de las flotas de la cercos de la UE y asociadas en el Atlántico este por tipo de lance.

Figura 21. Tendencia de la captura por unidad de esfuerzo nominal del rabil (toneladas/lance positivo) de las flotas de la cercos de la UE y asociadas en el Atlántico este por tipo de lance.

Figura 22. Comparación de la CPUE estandarizada del rabil en peso y número obtenida de los cuadernos de pesca de la pesquería de palangre pelágico estadounidense en el Atlántico occidental. Ambas mediciones se han hecho relativas a sus medias individuales.

Figura 23. Comparación de los cuadernos de pesca de la pesquería de palangre pelágico estadounidense con la CPUE de rabil estandarizada registrada por observadores (#/1.000 anzuelos) para el Atlántico occidental. Los índices se han hecho relativos a su media.

Figura 24. CPUE de rabil en número estandarizada obtenida de los datos de observadores de la pesquería de palangre estadounidense, desarrollada para todas las zonas de la pesquería, así como para el Golfo de México.

Figura 25. CPUE de rabil estandarizada para el Atlántico oeste, en número, derivada de los datos de los cuadernos de pesca de la pesquería de palangre pelágico de Brasil.

Figura 26. CPUE de rabil estandarizada para el Atlántico, en número, derivada de los datos de la pesquería de palangre pelágico de Japón agrupados por meses, cuadrículas de cinco grados y número de anzuelos entre flotadores.

Figura 27. CPUE estandarizada de rabil para el Atlántico oeste, en número, derivada de los datos de una encuesta in situ de la pesquería de caña y carrete estadounidense.

Figura 28. Peso medio global de la pesquería de rabil del Atlántico.

Figura 29. Peso medio del rabil del Atlántico por grupo de arte.

Figura 30. Tendencias en el peso medio del rabil, por tipo de lance, para la flotas de cerco europea y asociadas.

Figura 31. Distribuciones de talla de rabil en número, por tipo de lance (DCP, parte superior; bancos libres, parte inferior) para las flotas de cerco europea y asociadas.

Figura 32. Distribuciones de talla del rabil en número para las flotas de cebo vivo europea y asociadas.

Figura 33. Diagrama de distribución de datos (mediana, primer y tercer cuartil, mínimo y máximo) de la longitud a horquilla en proyección horizontal del rabil, por año, para la pesquería de palangre pelágico estadounidense. Las anchuras de las cajas son proporcionales a la talla de la muestra, y los puntos representan las longitudes fuera de la gama del intercuartil 1,5*.

Figura 34. Captura anual de patudo por arte, PS: cerco, LL: palangre y BB: cebo vivo.

Figura 35. Dos tipos de CPUE (izquierda: toneladas/día de búsqueda, derecha: toneladas/lance positivo) para el patudo capturado por la pesquería de cerco de la UE.

Figura 36. Captura total (t) y esfuerzo (días) en la pesquería de cebo vivo de la EU.

Figura 37. Cambio histórico en la CPUE de la pesquería de cebo vivo de la UE para el patudo.

Figura 38. CPUE nominal y estandarizada de rabil y patudo para los palangreros brasileños, desde 1978 hasta 2005.

Figura 39. CPUE estandarizada para el patudo para la pesquería de cebo vivo de Azores. Símbolos abiertos: CPUE observada; Líneas: CPUE predicha e intervalos de confianza aproximados del 95%.

Figura 40. Cambio en el peso medio del patudo captura por lances en bancos asociados con objetos, lances en bancos libres y total.

Figura 41. Composición por talla del patudo en lances en objetos (izquierda) y en bancos libres (derecha) en 2001-2005 y 2006.

Figura 42. Cambio en el peso medio del patudo capturado por la pesquería de cebo vivo de la UE.

Figura 43. Cambio en el tiempo de la zona total visitada y explotada por los cerqueros de la UE.

Figura 44. Cambio en el tiempo de la zona total visitada y explotada por los barcos de cebo vivo con base en Dakar.

Figura 45.- Pesquerías de palangre. Esfuerzo (anzuelos), patrón de CPUE nominal y captura, por año, para la totalidad del periodo y para el periodo desde 1991.

Figura 46. Cambio en el tiempo en la zona total visitada y explotada ($1^{\circ} \times 1^{\circ}$) por la flota palangrera japonesa.

Figura 47. Cambios en el transcurso de los años de la mortalidad total Z para las tres especies tropicales (YFT, BET and SKJ).

Figura 48. Tendencias en un “indicador demográfico” (“asimetría”) analizado durante la reunión de rabil, listado y patudo. Se asume que este indicador refleja un incremento global en la mortalidad por pesca.

APPENDICES

Appendice 1. Déclaration de bienvenue de M. Altermir Gregolin, Secrétaire Spécial pour l’Aquaculture et les Pêcheries du Brésil.

Appendice 2. Liste des participants.

Appendice 3. Ordre du jour.

Appendice 4. Liste des documents.

Appendice 5. Effet de la fonction de croissance utilisée pour estimer la prise par âge obtenue du découpage des âges.

Appendice 6. Profils de la prise par taille spécifique à la pêcherie et schémas de la taille moyenne du listao.

APÉNDICES

Apéndice 1. Declaración de bienvenida, en nombre del Sr. Altemir Gregolin, Secretario Especial de Agricultura y Pesca de Brasil.

Apéndice 2. Lista de participantes

Apéndice 3. Orden del día

Apéndice 4. Lista de documentos

Apéndice 5. Efectos de la función de crecimiento utilizada para estimar la captura por edad derivada de la separación de edades (filo de cuchillo).

Apéndice 6. Perfiles de captura por talla específicos de cada pesquería y patrones en la talla media para el listado.

Table 1. Catches of bigeye, yellowfin and skipjack, by year and flag.

Summary of bigeye catch by flag and year

| Flag | 1970 | 1971 | 1972 | 1973 | 1974 | 1975 | 1976 | 1977 | 1978 | 1979 | 1980 | 1981 | 1982 | 1983 | 1984 | 1985 | 1986 | 1987 | 1988 | 1989 | 1990 | 1991 | 1992 | 1993 | 1994 | 1995 | 1996 | 1997 | 1998 | 1999 | 2000 | 2001 | 2002 | 2003 | 2004 | 2005 | | |
|----------------------------|------|-------|-------|-------|-------|-------|------|-------|------|-------|-------|-------|-------|-------|-------|-------|-------|-------|-------|-------|-------|-------|-------|-------|-------|-------|-------|-------|-------|-------|-------|-------|-------|-------|-------|------|-----|---|
| Angola | 0 | 0 | 0 | 0 | 0 | 0 | 0 | 0 | 0 | 0 | 0 | 0 | 0 | 0 | 0 | 0 | 0 | 0 | 0 | 0 | 0 | 0 | 0 | 0 | 0 | 0 | 0 | 0 | 0 | 0 | 0 | 0 | 0 | 0 | | | | |
| Argentina | 100 | 44 | 0 | 25 | 18 | 95 | 176 | 84 | 23 | 0 | 0 | 0 | 0 | 0 | 0 | 100 | 41 | 72 | 50 | 17 | 78 | 22 | 0 | 0 | 0 | 0 | 0 | 0 | 0 | 0 | 0 | 0 | 0 | | | | | |
| Barbados | 0 | 0 | 0 | 0 | 0 | 0 | 0 | 0 | 0 | 0 | 0 | 0 | 0 | 0 | 0 | 0 | 0 | 0 | 0 | 0 | 0 | 0 | 0 | 0 | 0 | 0 | 0 | 0 | 0 | 0 | 0 | 0 | 0 | | | | | |
| Benin | 0 | 0 | 0 | 0 | 0 | 0 | 0 | 0 | 0 | 0 | 0 | 40 | 45 | 0 | 0 | 0 | 15 | 6 | 7 | 8 | 10 | 10 | 7 | 8 | 9 | 9 | 30 | 13 | 11 | 0 | 0 | 0 | 0 | | | | | |
| Brasil | 0 | 37 | 28 | 70 | 197 | 181 | 678 | 1183 | 812 | 782 | 698 | 505 | 776 | 521 | 656 | 419 | 873 | 756 | 946 | 512 | 591 | 350 | 790 | 1256 | 601 | 1935 | 1707 | 1237 | 644 | 2024 | 2768 | 2659 | 2582 | 2455 | 1496 | 108 | | |
| Cambodia | 0 | 0 | 0 | 0 | 0 | 0 | 0 | 0 | 0 | 0 | 0 | 0 | 0 | 0 | 0 | 0 | 0 | 0 | 0 | 0 | 0 | 0 | 0 | 0 | 0 | 0 | 0 | 0 | 0 | 0 | 0 | 0 | 0 | 0 | | | | |
| Canada | 0 | 0 | 0 | 0 | 0 | 0 | 0 | 23 | 0 | 0 | 0 | 0 | 0 | 0 | 0 | 0 | 11 | 144 | 95 | 31 | 10 | 26 | 67 | 124 | 111 | 148 | 144 | 166 | 120 | 263 | 327 | 241 | 279 | 182 | 143 | 18 | | |
| Cape Verde | 111 | 95 | 146 | 142 | 131 | 115 | 50 | 47 | 464 | 45 | 27 | 72 | 200 | 293 | 167 | 112 | 86 | 60 | 117 | 100 | 52 | 151 | 105 | 85 | 209 | 66 | 16 | 10 | 1 | 1 | 1 | 1 | 1 | 1 | 1 | 1 | 1 | |
| China P.R. | 0 | 0 | 0 | 0 | 0 | 0 | 0 | 0 | 0 | 0 | 0 | 0 | 0 | 0 | 0 | 0 | 0 | 0 | 0 | 0 | 0 | 0 | 0 | 0 | 0 | 0 | 0 | 0 | 0 | 0 | 0 | 0 | 0 | 0 | | | | |
| Chinese Taipei | 8538 | 6191 | 5639 | 4314 | 3499 | 4464 | 3701 | 3364 | 2970 | 2486 | 2561 | 1887 | 2147 | 1623 | 925 | 1220 | 1125 | 1488 | 1469 | 940 | 5755 | 13850 | 11546 | 13426 | 19680 | 18023 | 21850 | 19242 | 16314 | 16837 | 16795 | 16429 | 18483 | 21563 | 17717 | 1198 | | |
| Congo | 0 | 0 | 0 | 0 | 0 | 0 | 0 | 0 | 0 | 0 | 5 | 0 | 0 | 0 | 0 | 8 | 19 | 10 | 10 | 14 | 15 | 12 | 12 | 14 | 9 | 9 | 8 | 0 | 0 | 0 | 0 | 0 | 0 | 0 | | | | |
| Côte D'Ivoire | 0 | 0 | 0 | 0 | 0 | 0 | 0 | 0 | 0 | 0 | 0 | 0 | 0 | 0 | 0 | 0 | 0 | 0 | 0 | 0 | 0 | 0 | 0 | 0 | 0 | 0 | 0 | 0 | 0 | 0 | 0 | 0 | 0 | 0 | | | | |
| Cuba | 4100 | 3200 | 2000 | 2600 | 2400 | 1900 | 1300 | 1800 | 2300 | 2300 | 1385 | 711 | 521 | 421 | 447 | 239 | 171 | 190 | 151 | 87 | 62 | 34 | 56 | 36 | 7 | 7 | 5 | 0 | 0 | 0 | 0 | 0 | 0 | 0 | 0 | 0 | 0 | 0 |
| Dominica | 0 | 0 | 0 | 0 | 0 | 0 | 0 | 0 | 0 | 0 | 0 | 0 | 0 | 0 | 0 | 0 | 0 | 0 | 0 | 0 | 0 | 0 | 0 | 0 | 0 | 0 | 0 | 0 | 0 | 0 | 0 | 0 | 0 | 0 | | | | |
| EC.España | 4072 | 7418 | 4015 | 5681 | 4515 | 8882 | 7436 | 9736 | 6849 | 5419 | 8430 | 10010 | 9332 | 8794 | 13617 | 10340 | 10884 | 8875 | 8475 | 8263 | 10355 | 14705 | 14656 | 16782 | 22096 | 17849 | 15393 | 12513 | 7115 | 13739 | 11250 | 10134 | 10524 | 10969 | 8251 | 761 | | |
| EC.France | 3885 | 3972 | 3954 | 4442 | 5201 | 4901 | 6485 | 8970 | 8985 | 7308 | 6283 | 8020 | 7074 | 8124 | 4254 | 4615 | 4266 | 3905 | 4161 | 3261 | 5023 | 5581 | 6888 | 12719 | 12263 | 8363 | 9171 | 5980 | 5624 | 5529 | 5949 | 4948 | 4293 | 3940 | 2926 | 281 | | |
| EC.Ireland | 0 | 0 | 0 | 0 | 0 | 0 | 0 | 0 | 0 | 0 | 0 | 0 | 0 | 0 | 0 | 0 | 0 | 0 | 0 | 0 | 0 | 0 | 0 | 0 | 0 | 0 | 0 | 0 | 0 | 0 | 0 | 0 | 0 | 0 | | | | |
| EC.Poland | 0 | 0 | 0 | 0 | 0 | 0 | 0 | 0 | 0 | 0 | 0 | 0 | 0 | 0 | 0 | 0 | 4 | 0 | 0 | 0 | 0 | 0 | 0 | 0 | 0 | 0 | 0 | 0 | 0 | 0 | 0 | 0 | 0 | 0 | | | | |
| EC.Portugal | 5133 | 2892 | 3962 | 5855 | 10945 | 6813 | 2929 | 4522 | 5350 | 3483 | 3706 | 3086 | 1861 | 4075 | 4354 | 6457 | 7428 | 5036 | 2818 | 5295 | 6233 | 5718 | 5796 | 5616 | 3099 | 9662 | 5810 | 5437 | 6334 | 3314 | 1498 | 1605 | 2590 | 1655 | 3204 | 405 | | |
| Faroé Islands | 0 | 0 | 0 | 0 | 0 | 0 | 0 | 0 | 0 | 0 | 0 | 0 | 0 | 0 | 0 | 0 | 0 | 0 | 0 | 0 | 0 | 0 | 0 | 0 | 0 | 0 | 0 | 0 | 0 | 0 | 0 | 0 | 0 | 0 | | | | |
| FR.St Pierre et Miquelon | 0 | 0 | 0 | 0 | 0 | 0 | 0 | 0 | 0 | 0 | 0 | 0 | 0 | 0 | 0 | 0 | 0 | 0 | 0 | 0 | 0 | 0 | 0 | 0 | 0 | 0 | 0 | 0 | 0 | 0 | 0 | 0 | 0 | 0 | | | | |
| Gabon | 0 | 0 | 0 | 0 | 0 | 0 | 0 | 0 | 0 | 0 | 0 | 0 | 0 | 0 | 0 | 0 | 0 | 0 | 0 | 0 | 0 | 0 | 0 | 0 | 0 | 0 | 0 | 0 | 0 | 0 | 0 | 0 | 0 | 0 | | | | |
| Ghana | 0 | 0 | 0 | 0 | 30 | 73 | 84 | 170 | 237 | 124 | 238 | 332 | 780 | 791 | 491 | 2162 | 1887 | 1720 | 1178 | 1214 | 2158 | 5031 | 4090 | 2866 | 3577 | 4738 | 5517 | 5805 | 7431 | 13252 | 11460 | 5586 | 14095 | 5893 | 4816 | 6944 | 233 | |
| Grenada | 0 | 0 | 0 | 0 | 0 | 0 | 0 | 0 | 0 | 0 | 0 | 0 | 0 | 0 | 0 | 0 | 0 | 0 | 0 | 0 | 0 | 0 | 0 | 0 | 0 | 0 | 0 | 0 | 0 | 0 | 0 | 0 | 0 | 0 | | | | |
| Guatemala | 0 | 0 | 0 | 0 | 0 | 0 | 0 | 0 | 0 | 0 | 0 | 0 | 0 | 0 | 0 | 0 | 0 | 0 | 0 | 0 | 0 | 0 | 0 | 0 | 0 | 0 | 0 | 0 | 0 | 0 | 0 | 0 | 0 | 0 | | | | |
| Guinea Ecuatorial | 0 | 0 | 0 | 0 | 0 | 0 | 0 | 0 | 0 | 0 | 0 | 0 | 0 | 0 | 0 | 0 | 0 | 0 | 0 | 0 | 0 | 0 | 0 | 0 | 0 | 0 | 0 | 0 | 0 | 0 | 0 | 0 | 0 | 0 | | | | |
| Iceland | 0 | 0 | 0 | 0 | 0 | 0 | 0 | 0 | 0 | 0 | 0 | 0 | 0 | 0 | 0 | 0 | 0 | 0 | 0 | 0 | 0 | 0 | 0 | 0 | 0 | 0 | 0 | 0 | 0 | 0 | 0 | 0 | 0 | 0 | | | | |
| Japan | 9504 | 21299 | 19665 | 22014 | 22946 | 17548 | 8170 | 10144 | 9863 | 12150 | 20922 | 22091 | 33513 | 15212 | 24870 | 32103 | 23081 | 18961 | 32064 | 39540 | 35231 | 30356 | 34722 | 35053 | 38503 | 35477 | 33171 | 26490 | 24330 | 21833 | 24605 | 18087 | 15306 | 19572 | 17064 | 1133 | | |
| Korea, Republic of | 4079 | 7353 | 5730 | 6018 | 7831 | 10493 | 6923 | 8090 | 9716 | 8022 | 10235 | 12274 | 10809 | 9383 | 8989 | 10704 | 6084 | 4438 | 4919 | 7896 | 2690 | 802 | 866 | 377 | 386 | 423 | 1250 | 796 | 163 | 124 | 43 | 1 | 87 | 143 | 629 | 77 | | |
| Liberia | 0 | 0 | 0 | 0 | 0 | 0 | 0 | 0 | 0 | 0 | 0 | 0 | 0 | 0 | 0 | 0 | 0 | 0 | 0 | 0 | 16 | 13 | 42 | 65 | 53 | 57 | 57 | 57 | 57 | 57 | 57 | 57 | 57 | | | | | |
| Libya | 0 | 0 | 0 | 0 | 0 | 0 | 0 | 0 | 0 | 0 | 0 | 0 | 0 | 0 | 0 | 0 | 0 | 0 | 0 | 0 | 0 | 0 | 0 | 0 | 0 | 0 | 0 | 0 | 0 | 0 | 0 | 0 | 0 | 0 | | | | |
| Marcos | 0 | 0 | 0 | 0 | 0 | 0 | 15 | 170 | 324 | 394 | 414 | 387 | 622 | 625 | 552 | 120 | 30 | 0 | 8 | 0 | 0 | 0 | 0 | 0 | 0 | 0 | 0 | 0 | 0 | 0 | 0 | 0 | 0 | | | | | |
| Mexico | 0 | 0 | 0 | 0 | 0 | 0 | 0 | 0 | 0 | 0 | 0 | 0 | 0 | 0 | 0 | 0 | 0 | 0 | 0 | 0 | 0 | 0 | 0 | 0 | 0 | 0 | 0 | 0 | 0 | 0 | 0 | 0 | 0 | 0 | | | | |
| Namibia | 0 | 0 | 0 | 0 | 0 | 0 | 0 | 0 | 0 | 0 | 0 | 0 | 0 | 0 | 0 | 0 | 0 | 0 | 0 | 0 | 0 | 0 | 0 | 0 | 0 | 0 | 0 | 0 | 0 | 0 | 0 | 0 | 0 | 0 | | | | |
| NEI (ETRO) | 0 | 0 | 0 | 0 | 0 | 0 | 0 | 0 | 0 | 0 | 0 | 0 | 0 | 0 | 0 | 0 | 0 | 0 | 0 | 0 | 0 | 0 | 0 | 0 | 0 | 0 | 0 | 0 | 0 | 0 | 0 | 0 | 0 | 0 | | | | |
| NEI (Flag related) | 0 | 0 | 0 | 0 | 0 | 0 | 0 | 0 | 0 | 0 | 0 | 0 | 0 | 0 | 0 | 0 | 0 | 0 | 0 | 0 | 0 | 0 | 0 | 0 | 0 | 0 | 0 | 0 | 0 | 0 | 0 | 0 | 0 | 0 | | | | |
| NEI (UK.TOT) | 0 | 0 | 0 | 0 | 0 | 0 | 0 | 0 | 0 | 0 | 0 | 0 | 0 | 0 | 0 | 0 | 0 | 0 | 0 | 0 | 0 | 0 | 0 | 0 | 0 | 0 | 0 | 0 | 0 | 0 | 0 | 0 | 0 | 0 | | | | |
| Netherlands Antilles | 0 | 0 | 0 | 0 | 0 | 0 | 0 | 0 | 0 | 0 | 0 | 0 | 0 | 0 | 0 | 0 | 0 | 0 | 0 | 0 | 0 | 0 | 0 | 0 | 0 | 0 | 0 | 0 | 0 | 0 | 0 | 0 | 0 | 0 | | | | |
| Norway | 0 | 0 | 0 | 0 | 0 | 0 | 0 | 0 | 0 | 0 | 0 | 0 | 0 | 0 | 0 | 0 | 0 | 0 | 0 | 0 | 0 | 0 | 0 | 0 | 0 | 0 | 0 | 0 | 0 | 0 | 0 | 0 | 0 | 0 | | | | |
| Panama | 0 | 0 | 182 | 2710 | 2081 | 2091 | 2135 | 1493 | 2127 | 513 | 4518 | 2500 | 2844 | 2732 | 3165 | 4461 | 5173 | 5616 | 3847 | 3157 | 5258 | 7446 | 9991 | 10138 | 13234 | 9927 | 4777 | 2098 | 1252 | 580 | 952 | 89 | 63 | 0 | | | | |
| Philippines | 0 | 0 | 0 | 0 | 0 | 0 | 0 | 0 | 0 | 0 | 0 | 0 | 0 | 0 | 0 | 0 | 0 | 0 | 0 | 0 | 0 | 0 | 0 | 0 | 0 | 0 | 0 | 0 | 0 | 0 | 0 | 0 | 0 | 0 | | | | |
| Russian Federation | 0 | 0 | 0 | 0 | 0 | 0 | 0 | 0 | 0 | 0 | 0 | 0 | 0 | 0 | 0 | 0 | 0 | 0 | 0 | 0 | 0 | 0 | 0 | 0 | 0 | 0 | 0 | 0 | 0 | 0 | 0 | 0 | 0 | 0 | | | | |
| S. Tomé e Príncipe | 0 | 0 | 0 | 0 | 0 | 0 | 0 | 0 | 0 | 0 | 0 | 0 | 0 | 0 | 0 | 0 | 0 | 0 | 0 | 0 | 0 | 0 | 0 | 0 | 0 | 0 | 0 | 0 | 0 | 0 | 0 | 0 | 0 | 0 | | | | |
| Senegal | 0 | 0 | 0 | 0 | 0 | 0 | 0 | 0 | 0 | 0 | 0 | 0 | 0 | 0 | 0 | 0 | 0 | 0 | 0 | 0 | 0 | 0 | 0 | 0 | 0 | 0 | 0 | 0 | 0 | 0 | 0 | 0 | 0 | 0 | | | | |
| Seychelles | 0 | 0 | 0 | 0 | 0 | 0 | 0 | 0 | 0 | 0 | 0 | 0 | 0 | 0 | 0 | 0 | 0 | 0 | 0 | 0 | 0 | 0 | 0 | 0 | 0 | 0 | 0 | 0 | 0 | 0 | 0 | 0 | 0 | 0 | | | | |
| Sierra Leone | 0 | 0 | 0 | 0 | 0 | 0 | 0 | 0 | 0 | 0 | 0 | 0 | 0 | 0 | 0 | 0 | 0 | 0 | 0 | 0 | 0 | 0 | 0 | 0 | 0 | 0 | 0 | 0 | 0 | 0 | 0 | 0 | 0 | 0 | | | | |
| South Africa | 0 | 0 | 0 | 0 | 1 | 0 | 0 | 0 | 0 | 0 | 19 | 422 | 381 | 137 | 187 | 160 | 102 | 168 | 200 | 553 | 367 | 296 | 72 | 43 | 88 | 76 | 27 | 7 | 10 | 53 | 55 | 249 | 239 | 341 | 113 | 270 | 22 | |
| St. Vincent and Grenadines | | | | | | | | | | | | | | | | | | | | | | | | | | | | | | | | | | | | | | |

Summary of yellowfin catch by flag and year

Summary of skipjack catch by flag, year and stock

| Stock | Flag | 1970 | 1971 | 1972 | 1973 | 1974 | 1975 | 1976 | 1977 | 1978 | 1979 | 1980 | 1981 | 1982 | 1983 | 1984 | 1985 | 1986 | 1987 | 1988 | |
|-------|----------------------------|-------|-------|-------|-------|-------|-------|-------|-------|-------|-------|-------|-------|-------|-------|-------|-------|-------|-------|-------|-------|
| AT.E | Angola | 955 | 1996 | 1677 | 1443 | 3474 | 653 | 1514 | 4036 | 3501 | 3628 | 3482 | 2532 | 2257 | 318 | 46 | 131 | 56 | 80 | 30 | |
| | Benin | 0 | 0 | 0 | 0 | 0 | 0 | 0 | 0 | 0 | 0 | 8 | 30 | 60 | 68 | 38 | 10 | 20 | 11 | 5 | |
| | Canada | 585 | 1230 | 7 | 1189 | 0 | 0 | 0 | 0 | 0 | 0 | 0 | 0 | 0 | 0 | 0 | 0 | 0 | 0 | 3 | |
| | Cape Verde | 1124 | 962 | 1477 | 1446 | 1332 | 1170 | 825 | 748 | 1284 | 998 | 2094 | 1588 | 1636 | 1400 | 1391 | 2030 | 877 | 2076 | 1456 | |
| | Cayman Islands | 0 | 0 | 0 | 0 | 0 | 0 | 0 | 0 | 0 | 0 | 289 | 1800 | 30 | 0 | 0 | 0 | 0 | 0 | 0 | |
| | China P.R. | 0 | 0 | 0 | 0 | 0 | 0 | 0 | 0 | 0 | 0 | 0 | 0 | 0 | 0 | 0 | 0 | 0 | 0 | 0 | |
| | Chinese Taipei | 0 | 0 | 0 | 0 | 0 | 0 | 0 | 0 | 0 | 0 | 0 | 0 | 0 | 2 | 2 | 7 | 4 | 0 | 1 | |
| | Congo | 0 | 0 | 0 | 0 | 0 | 0 | 0 | 0 | 0 | 0 | 1250 | 200 | 0 | 5 | 10 | 8 | 8 | 8 | 8 | |
| | Côte D'Ivoire | 0 | 0 | 0 | 0 | 0 | 0 | 0 | 0 | 0 | 0 | 0 | 0 | 0 | 0 | 0 | 0 | 0 | 0 | 0 | |
| | Cuba | 0 | 200 | 100 | 0 | 100 | 300 | 200 | 100 | 200 | 100 | 196 | 198 | 189 | 135 | 310 | 246 | 569 | 81 | 206 | |
| | EC.Bulgaria | 0 | 0 | 0 | 0 | 0 | 0 | 0 | 0 | 0 | 0 | 0 | 0 | 0 | 0 | 0 | 0 | 0 | 0 | 0 | |
| | EC.España | 7986 | 14569 | 23616 | 20388 | 35941 | 17727 | 16255 | 22347 | 25066 | 18748 | 26384 | 35458 | 38016 | 28933 | 46649 | 35100 | 41992 | 33076 | 47643 | |
| | EC.Estonia | 0 | 0 | 0 | 0 | 0 | 0 | 0 | 0 | 0 | 0 | 0 | 0 | 0 | 0 | 0 | 0 | 0 | 0 | 0 | |
| | EC.France | 12052 | 18695 | 17295 | 11181 | 27066 | 12323 | 17039 | 31138 | 25903 | 18602 | 25767 | 26926 | 31132 | 29727 | 12994 | 13645 | 13045 | 17114 | 16504 | |
| | EC.Germany | 0 | 0 | 0 | 0 | 0 | 0 | 0 | 0 | 0 | 0 | 0 | 0 | 0 | 0 | 0 | 0 | 0 | 0 | 0 | |
| | EC.Ireland | 0 | 0 | 0 | 0 | 0 | 0 | 0 | 0 | 0 | 0 | 0 | 0 | 0 | 0 | 0 | 0 | 0 | 0 | 0 | |
| | EC.Latvia | 0 | 0 | 0 | 0 | 0 | 0 | 0 | 0 | 0 | 0 | 0 | 0 | 0 | 0 | 0 | 0 | 0 | 0 | 0 | |
| | EC.Lithuania | 0 | 0 | 0 | 0 | 0 | 0 | 0 | 0 | 0 | 0 | 0 | 0 | 0 | 0 | 0 | 0 | 0 | 0 | 0 | |
| | EC.Portugal | 959 | 4200 | 3710 | 2206 | 1904 | 569 | 2068 | 4388 | 4584 | 3074 | 1954 | 2825 | 5530 | 1113 | 3974 | 2409 | 5446 | 8420 | 14257 | |
| | Gabon | 0 | 0 | 0 | 0 | 0 | 0 | 0 | 0 | 0 | 0 | 0 | 0 | 0 | 0 | 0 | 0 | 0 | 0 | 0 | |
| | Ghana | 0 | 0 | 0 | 0 | 288 | 701 | 1426 | 2199 | 3492 | 2866 | 4299 | 5812 | 7858 | 18272 | 24376 | 20697 | 19082 | 22268 | 24347 | 26597 |
| | Guatemala | 0 | 0 | 0 | 0 | 0 | 0 | 0 | 0 | 0 | 0 | 0 | 0 | 0 | 0 | 0 | 0 | 0 | 0 | 0 | |
| | Japan | 11005 | 17954 | 13538 | 14524 | 19582 | 3807 | 15042 | 16845 | 14614 | 14686 | 12304 | 12935 | 9930 | 6002 | 1504 | 2098 | 2031 | 1982 | 3200 | |
| | Korea, Republic of | 0 | 0 | 0 | 922 | 2123 | 4469 | 1948 | 3600 | 8132 | 12017 | 6718 | 7538 | 2827 | 1553 | 699 | 153 | 5 | 6 | 3 | |
| | Maroc | 1115 | 118 | 1 | 72 | 28 | 264 | 538 | 3850 | 1891 | 1852 | 5001 | 3017 | 3956 | 2531 | 885 | 1002 | 1220 | 1028 | 428 | |
| | Namibia | 0 | 0 | 0 | 0 | 0 | 0 | 0 | 0 | 0 | 0 | 0 | 0 | 0 | 0 | 0 | 0 | 0 | 0 | 0 | |
| | NEI (ETRO) | 0 | 0 | 0 | 0 | 0 | 0 | 0 | 0 | 0 | 0 | 0 | 0 | 1560 | 3383 | 927 | 590 | 540 | 791 | 2994 | |
| | Netherlands Antilles | 0 | 0 | 0 | 0 | 0 | 0 | 0 | 0 | 0 | 0 | 0 | 0 | 0 | 0 | 0 | 0 | 0 | 0 | 0 | |
| | Norway | 0 | 0 | 0 | 0 | 0 | 0 | 0 | 0 | 0 | 0 | 0 | 0 | 0 | 0 | 0 | 0 | 581 | 738 | 0 | |
| | Panama | 0 | 0 | 676 | 159 | 979 | 1854 | 2467 | 3970 | 2880 | 1750 | 1735 | 144 | 2541 | 1611 | 0 | 0 | 0 | 0 | 0 | |
| | Rumania | 0 | 0 | 0 | 0 | 0 | 0 | 0 | 0 | 0 | 0 | 0 | 8 | 0 | 0 | 0 | 0 | 3 | 0 | 0 | |
| | Russian Federation | 0 | 0 | 0 | 0 | 0 | 0 | 0 | 0 | 0 | 0 | 0 | 0 | 0 | 0 | 0 | 0 | 0 | 0 | 0 | |
| | S. Tomé e Príncipe | 0 | 0 | 0 | 0 | 0 | 30 | 35 | 118 | 100 | 34 | 33 | 90 | 78 | 103 | 18 | 20 | 20 | 20 | 21 | |
| | Senegal | 0 | 0 | 0 | 0 | 0 | 0 | 0 | 0 | 0 | 0 | 0 | 0 | 0 | 0 | 0 | 0 | 0 | 0 | 0 | |
| | South Africa | 0 | 0 | 0 | 0 | 67 | 1 | 0 | 40 | 90 | 2 | 48 | 110 | 37 | 104 | 14 | 66 | 101 | 88 | 157 | |
| | St. Vincent and Grenadines | 0 | 0 | 0 | 0 | 0 | 0 | 0 | 0 | 0 | 0 | 0 | 0 | 0 | 0 | 0 | 0 | 0 | 0 | 0 | |
| | U.S.A. | 11752 | 16224 | 12152 | 21246 | 19973 | 7369 | 1766 | 5859 | 6797 | 2073 | 2608 | 2800 | 79 | 0 | 0 | 0 | 0 | 0 | 0 | |
| | U.S.S.R. | 138 | 161 | 0 | 286 | 407 | 359 | 3633 | 6674 | 2856 | 1161 | 2991 | 1750 | 3957 | 1223 | 1000 | 1404 | 1688 | 547 | 1822 | |
| | UK.St Helena | 100 | 100 | 100 | 100 | 9 | 22 | 19 | 12 | 21 | 76 | 70 | 112 | 271 | 103 | 85 | 62 | 139 | 139 | 158 | |
| | Venezuela | 0 | 0 | 0 | 0 | 0 | 0 | 0 | 0 | 0 | 0 | 0 | 0 | 0 | 0 | 0 | 358 | 0 | 0 | 0 | |
| AT.W | Argentina | 0 | 0 | 100 | 16 | 28 | 0 | 0 | 33 | 4 | 0 | 17 | 1 | 137 | 243 | 505 | 101 | 138 | 90 | 7 | |
| | Barbados | 0 | 0 | 0 | 0 | 0 | 0 | 0 | 0 | 0 | 0 | 0 | 78 | 72 | 39 | 48 | 36 | 33 | 21 | 3 | |
| | Brasil | 400 | 100 | 0 | 0 | 0 | 0 | 0 | 83 | 190 | 635 | 2065 | 6071 | 13913 | 18322 | 15945 | 13567 | 25101 | 23155 | 16286 | 17316 |
| | Canada | 0 | 0 | 0 | 0 | 13 | 0 | 0 | 181 | 0 | 86 | 0 | 0 | 180 | 0 | 0 | 0 | 0 | 0 | 0 | |
| | Chinese Taipei | 0 | 0 | 0 | 0 | 0 | 0 | 0 | 0 | 0 | 0 | 0 | 9 | 18 | 6 | 6 | 3 | 1 | 2 | 7 | |
| | Colombia | 0 | 0 | 0 | 0 | 0 | 0 | 0 | 0 | 0 | 0 | 0 | 0 | 0 | 0 | 0 | 0 | 0 | 0 | 0 | |
| | Cuba | 1800 | 1600 | 1400 | 1500 | 1800 | 2300 | 2800 | 2400 | 1800 | 2000 | 2255 | 1086 | 1134 | 1700 | 1248 | 1632 | 1277 | 1101 | 1631 | |
| | Dominica | 0 | 0 | 0 | 0 | 0 | 0 | 0 | 0 | 0 | 0 | 0 | 0 | 0 | 0 | 0 | 0 | 0 | 0 | 0 | |
| | Dominican Republic | 200 | 200 | 200 | 200 | 234 | 171 | 78 | 41 | 64 | 87 | 59 | 71 | 80 | 106 | 68 | 204 | 600 | 62 | 63 | |
| | EC.España | 0 | 0 | 120 | 0 | 0 | 103 | 0 | 266 | 2031 | 1052 | 0 | 0 | 0 | 209 | 2610 | 500 | 0 | 0 | 0 | |
| | EC.France | 0 | 0 | 900 | 332 | 72 | 75 | 0 | 0 | 0 | 86 | 0 | 0 | 0 | 0 | 0 | 0 | 0 | 0 | 0 | |
| | EC.Portugal | 0 | 0 | 0 | 0 | 0 | 0 | 0 | 0 | 0 | 0 | 0 | 0 | 0 | 0 | 0 | 0 | 0 | 0 | 0 | |
| | Grenada | 0 | 0 | 0 | 0 | 0 | 0 | 0 | 0 | 0 | 1 | 4 | 8 | 1 | 15 | 12 | 7 | 9 | 5 | 22 | |
| | Jamaica | 0 | 0 | 0 | 0 | 0 | 0 | 0 | 0 | 0 | 0 | 0 | 0 | 0 | 0 | 0 | 0 | 0 | 0 | 0 | |
| | Japan | 0 | 0 | 0 | 421 | 1126 | 438 | 0 | 0 | 0 | 0 | 0 | 0 | 0 | 0 | 0 | 0 | 0 | 0 | 0 | |
| | Korea, Republic of | 0 | 0 | 0 | 0 | 0 | 0 | 0 | 0 | 0 | 0 | 0 | 0 | 0 | 0 | 0 | 0 | 17 | 20 | 0 | |
| | Mexico | 0 | 0 | 0 | 0 | 0 | 0 | 0 | 0 | 0 | 0 | 0 | 1 | 3 | 0 | 25 | 30 | 48 | 11 | 13 | |
| | Netherlands Antilles | 0 | 0 | 0 | 0 | 0 | 0 | 0 | 0 | 0 | 40 | 40 | 40 | 40 | 40 | 40 | 40 | 40 | 40 | 40 | |
| | Panama | 0 | 0 | 0 | 0 | 0 | 0 | 0 | 0 | 0 | 720 | 161 | 1026 | 0 | 0 | 0 | 0 | 0 | 0 | 0 | |
| | St. Vincent and Grenadines | 0 | 0 | 0 | 0 | 0 | 0 | 0 | 0 | 0 | 0 | 0 | 0 | 0 | 0 | 0 | 0 | 0 | 0 | 17 | |
| | Sta. Lucia | 71 | 71 | 71 | 76 | 76 | 81 | 88 | 100 | 100 | 41 | 40 | 37 | 38 | 35 | 64 | 53 | 76 | 60 | 53 | |
| | Trinidad and Tobago | 0 | 0 | 0 | 0 | 0 | 0 | 0 | 0 | 0 | 0 | 0 | 0 | 1 | 2 | 1 | 0 | 0 | 0 | 1 | |
| | U.S.A. | 0 | 0 | 138 | 0 | 0 | 198 | 519 | 320 | 1695 | 1029 | 981 | 2753 | 33 | 697 | 853 | 1814 | 1115 | 734 | 57 | |
| | UK.Bermuda | 0 | 0 | 0 | 0 | 0 | 0 | 0 | 0 | 0 | 0 | 0 | 0 | 0 | 0 | 0 | 0 | 0 | 0 | 0 | |
| | Venezuela | 0 | 0 | 0 | 276 | 87 | 98 | 0 | 0 | 0 | 1890 | 4900 | 12645 | 12778 | 16526 | 10712 | 5690 | 5750 | 4509 | 0 | 0 |
| MEDI | Algérie | 0 | 0 | 0 | 0 | 0 | 0 | 0 | 0 | 0 | 0 | 0 | 0 | 0 | 0 | 0 | 0 | 0 | 0 | 0 | |
| | EC.España | 0 | 0 | 0 | 0 | 0 | 0 | 0 | 0 | 0 | 0 | 0 | 0 | 0 | 1 | 10 | 0 | 0 | 0 | 0 | |
| | EC.France | 0 | 0 | 0 | 0 | 0 | 0 | 0 | 0 | 0 | 0 | 0 | 0 | 0 | 0 | 0 | 0 | 0 | 0 | 0 | |
| | EC.Greece | 0 | 0 | 0 | 0 | 0 | 0 | 0 | 0 | 0 | 0 | 0 | 0 | 0 | 0 | 0 | 0 | 0 | 0 | 0 | |
| | EC.Italy | 0 | 0 | 0 | 0 | 0 | 0 | 0 | 0 | 0 | 0 | 0 | 0 | 0 | 0 | 0 | 0 | 0 | 0 | 0 | |

Table 2. Eastern (upper table) and western (lower table) Atlantic skipjack catch at size.

Table 2. Eastern (up)

Table 3. List of substitutions carried out to obtain the size distribution of the skipjack catch in the eastern Atlantic.

| SKJ | rfYr | T1 | | | | | | | | | | SZ | | | | | | | | | | estY | | | | | | | | | |
|-----|------|------|--------------------|-------------------|---------|----------|---------|--------|---------|------|------|-----------------------|------------------|----------|---------|--------|---------|----------|----------|-------------|------|------|-------|--------|-------|-------|------|------------|---------|---------|--|
| | | rfID | rfYr | t1Yr | t1FlagN | t1FleetC | t1GearG | t1Gear | t1Stock | t1Yt | RF | szYr | szFlagN | szFleetC | szGearG | szGear | szStock | Lmg | Lmed | Wmed | szYt | szNt | szInf | InProc | szInt | szFrq | File | bmrl | TPe | remarks | |
| 1 | 1969 | 1969 | Angola | AGO | BB | BBI | ATE | 1798 | 1757.5 | | 1977 | Angola | AGO | BB | BBI | ATE | 34- 60 | 48.5787 | 2.368184 | 1.023055312 | 432 | 0 | 1073 | 2 | 1 | 1 cur | mm | sub-raise | 1798 | | |
| 2 | 1969 | 1969 | Angola | AGO | SU | SURF | ATE | 25 | 24.437 | | 1977 | Angola | AGO | BB | BBI | ATE | 34- 60 | 48.5787 | 2.368184 | 1.023055312 | 432 | 0 | 1073 | 2 | 1 | 1 cur | mm | sub-raise | 25 | | |
| 3 | 1969 | 1969 | Angola | AGO | TP | TRAP | ATE | 64 | 62.558 | | 1977 | Angola | AGO | BB | BBI | ATE | 34- 60 | 48.5787 | 2.368184 | 1.023055312 | 432 | 0 | 1073 | 2 | 1 | 1 cur | mm | sub-raise | 64 | | |
| 4 | 1969 | 1969 | Brasil | BRA | SU | SURF | ATW | 400 | 48.442 | | 1980 | Brasil | BRA-BRA-RJANERO | BB | BB | ATW | 42- 74 | 60.29689 | 4.750996 | 8.257231218 | 1738 | 0 | 1519 | 1 | 1 | 1 cur | mm | sub-raise | 400 | | |
| 5 | 1969 | 1969 | Canada | CAN | PS | PSG | ATE | 146 | 43.933 | | 1969 | Canada | CAN | PS | PSG | ATE | 37- 70 | 50.21011 | 2.623778 | 3.321702579 | 1266 | 1 | 219 | 1 | 1 | 1 cur | mm | raise | 146 | | |
| 6 | 1969 | 1969 | Chinese Taipei | TAI | LL | LLFB | ATE | 3 | 182.9 | | 1981 | Chinese Taipei | TAI | LL | LLFB | ATE | 40- 52 | 45.5 | 1.894429 | 0.015155431 | 8 | 0 | 7610 | 2 | 1 | 1 n06 | qu | sub-raise | 3 | | |
| 7 | 1969 | 1969 | Chinese Taipei | TAI | LL | LLFB | ATW | 1.228 | 3.8096 | | 1981 | Chinese Taipei | TAI | LL | LLFB | ATW | 22- 92 | 68.71429 | 7.674818 | 0.322342376 | 42 | 0 | 7610 | 2 | 1 | 1 n06 | qu | sub-raise | 1 | | |
| 8 | 1969 | 1969 | Cuba | CUB | BB | BBI | ATW | 1255 | 149.06 | | 1974 | Cuba | CUB | BB | BBI | ATW | 25- 79 | 50.36493 | 2.886331 | 8.419428461 | 2917 | 0 | 634 | 1 | 1 | 1 cur | mm | sub-raise | 1255 | | |
| 9 | 1969 | 1969 | Dominican Republic | DOM | SU | SURF | ATW | 100 | 11.877 | | 1974 | Cuba | CUB | BB | BBI | ATW | 25- 79 | 50.36493 | 2.886331 | 8.419428461 | 2917 | 0 | 634 | 1 | 1 | 1 cur | mm | sub-raise | 100 | | |
| 10 | 1969 | 1969 | EC.España | EC.ESP-ES-CANARY | BB | BB | ATE | 828 | 1072.7 | | 1973 | EC.España | EC.ESP-ES-CANARY | BB | BB | ATE | 42- 74 | 55.58879 | 3.606816 | 0.771858688 | 214 | 0 | 515 | 2 | 1 | 1 cur | mm | sub-raise | 828 | | |
| 11 | 1969 | 1969 | EC.España | EC.ESP-ES-ETRO | PS | PS | ATE | 6190 | 7674.9 | | 1974 | EC.España | EC.ESP-ES-ETRO | PS | PS | ATE | 34- 58 | 45.9561 | 1.967141 | 0.80652783 | 410 | 0 | 637 | 2 | 1 | 1 cur | mm | sub-raise | 6190 | | |
| 12 | 1969 | 1969 | EC.France | EC.FRA | BB | BB | ATE | 3569 | 175.01 | | 1969 | Mixed flags (FIS) | MIX.FIS | BB | BBF | ATE | 39- 68 | 53.9204 | 3.303958 | 6.931704387 | 2098 | 0 | 225 | 1 | 1 | 1 cur | mm | join-raise | 1213 | | |
| 13 | 1969 | 1969 | EC.France | EC.FRA | BB | BB | ATE | 175.01 | | | 1969 | Mixed flags (FIS) | MIX.FIS | BB | BBI | ATE | 34- 67 | 51.29747 | 2.882009 | 13.46186513 | 4671 | 0 | 224 | 1 | 1 | 1 cur | mm | join-raise | 2356 | | |
| 14 | 1969 | 1969 | EC.France | EC.FRA | PS | PSG | ATE | 121 | 450.81 | | 1969 | Mixed flags (FIS) | MIX.FIS | PS | PSG | ATE | 39- 58 | 49.87143 | 2.556241 | 0.268405292 | 105 | 0 | 222 | 1 | 1 | 1 cur | mm | raise | 121 | | |
| 15 | 1969 | 1969 | EC.France | EC.FRA | PS | PSM | ATE | 2466 | 547.66 | | 1969 | Mixed flags (FIS) | MIX.FIS | PS | PSM | ATE | 43- 56 | 47.7 | 2.175844 | 0.108792222 | 50 | 0 | 227 | 1 | 1 | 1 cur | mm | join-raise | 60 | | |
| 16 | 1969 | 1969 | EC.France | EC.FRA | PS | PSM | ATE | 547.66 | | | 1969 | Mixed flags (FIS) | MIX.FIS | PS | PSLB | ATE | 36- 73 | 53.31101 | 3.181766 | 4.394018535 | 1381 | 0 | 228 | 1 | 1 | 1 cur | mm | join-raise | 2406 | | |
| 17 | 1969 | 1969 | EC.Portugal | EC.PRT-PT-AZORES | BB | BB | ATE | 982 | 1272.3 | | 1973 | EC.España | EC.ESP-ES-CANARY | BB | BB | ATE | 42- 74 | 55.58879 | 3.606816 | 0.771858688 | 214 | 0 | 515 | 2 | 1 | 1 cur | mm | sub-raise | 982 | | |
| 18 | 1969 | 1969 | EC.Portugal | EC.PRT-PT-MADEIRA | BB | BB | ATE | 758 | 982.05 | | 1973 | EC.España | EC.ESP-ES-CANARY | BB | BB | ATE | 42- 74 | 55.58879 | 3.606816 | 0.771858688 | 214 | 0 | 515 | 2 | 1 | 1 cur | mm | sub-raise | 758 | | |
| 19 | 1969 | 1969 | Japan | JPN | BB | BBF | ATE | 4926 | 6630.6 | | 1973 | Japan (ICCAT program) | JPN.ICCAT | BB | BBF | ATE | 38- 60 | 49.12667 | 2.476406 | 0.742921744 | 300 | 0 | 533 | 2 | 1 | 9 cur | mm | sub-raise | 4926.00 | | |
| 20 | 1969 | 1969 | Japan | JPN | LL | LLFB | ATE | 1 | 23.086 | | 1975 | Japan | JPN | LL | LLHB | ATE | 58- 72 | 65.64286 | 6.18808 | 0.043316559 | 7 | 0 | 784 | 1 | 1 | 1 cur | mm | sub-raise | 1 | | |
| 21 | 1969 | 1969 | Japan | JPN | LL | LLMB | ATE | 5 | 115.43 | | 1975 | Japan | JPN | LL | LLHB | ATE | 58- 72 | 65.64286 | 6.18808 | 0.043316559 | 7 | 0 | 784 | 1 | 1 | 1 cur | mm | sub-raise | 5 | | |
| 22 | 1969 | 1969 | Japan | JPN | PS | PSD | ATE | 424 | 67.137 | | 1969 | Japan | JPN | PS | PSD | ATE | 20- 74 | 49.19899 | 2.75061 | 6.315399706 | 2296 | 0 | 220 | 1 | 1 | 1 cur | mm | raise | 424 | | |
| 23 | 1969 | 1969 | Japan | JPN | PS | PSM | ATE | 255 | 40.377 | | 1969 | Japan | JPN | PS | PSD | ATE | 20- 74 | 49.19899 | 2.75061 | 6.315399706 | 2296 | 0 | 220 | 1 | 1 | 1 cur | mm | sub-raise | 255 | | |
| 24 | 1969 | 1969 | Maroc | MAR | BB | BB | ATE | 145 | 187.86 | | 1973 | EC.España | EC.ESP-ES-CANARY | BB | BB | ATE | 42- 74 | 55.58879 | 3.606816 | 0.771858688 | 214 | 0 | 515 | 2 | 1 | 1 cur | mm | sub-raise | 145 | | |
| 25 | 1969 | 1969 | U.S.A. | USA | PS | PS | ATE | 4747 | 891.8 | | 1969 | U.S.A. | USA | PS | PS | ATE | 38- 65 | 52.92235 | 3.131151 | 5.322957494 | 1700 | 0 | 221 | 1 | 1 | 1 cur | mm | raise | 4747 | | |
| 26 | 1969 | 1969 | U.S.A. | USA | PS | PS | ATW | 102 | 464.69 | | 1975 | U.S.A. | USA | PS | PS | ATW | 51- 67 | 58.92 | 4.390015 | 0.219500764 | 50 | 0 | 791 | 1 | 1 | 1 cur | mm | sub-raise | 102 | | |
| 27 | 1970 | 1970 | Angola | AGO | BB | BBI | ATE | 941 | 919.79 | | 1977 | Angola | AGO | BB | BBI | ATE | 34- 60 | 48.5787 | 2.368184 | 1.023055312 | 432 | 0 | 1073 | 2 | 1 | 1 cur | mm | sub-raise | 941 | | |
| 28 | 1970 | 1970 | Angola | AGO | SU | SURF | ATE | 14 | 13.684 | | 1977 | Angola | AGO | BB | BBI | ATE | 34- 60 | 48.5787 | 2.368184 | 1.023055312 | 432 | 0 | 1073 | 2 | 1 | 1 cur | mm | sub-raise | 14 | | |
| 29 | 1970 | 1970 | Brasil | BRA | SU | SURF | ATW | 400 | 48.442 | | 1980 | Brasil | BRA-BRA-RJANERO | BB | BB | ATW | 42- 74 | 60.29689 | 4.750996 | 8.257231218 | 1738 | 0 | 1519 | 1 | 1 | 1 cur | mm | sub-raise | 400 | | |
| 30 | 1970 | 1970 | Canada | CAN | PS | PSG | ATE | 585 | 763.21 | | 1970 | Canada | CAN | PS | PSG | ATE | 38- 64 | 49.95 | 2.55501 | 0.766502986 | 300 | 1 | 266 | 1 | 1 | 1 cur | mm | raise | 585 | | |
| 31 | 1970 | 1970 | Cape Verde | CPV | BB | BB | ATE | 1124 | 1456.2 | | 1973 | EC.España | EC.ESP-ES-CANARY | BB | BB | ATE | 42- 74 | 55.58879 | 3.606816 | 0.771858688 | 214 | 0 | 515 | 2 | 1 | 1 cur | mm | sub-raise | 1124 | | |
| 32 | 1970 | 1970 | Chinese Taipei | TAI | LL | LLFB | ATE | 7 | 435.88 | | 1981 | Chinese Taipei | TAI | LL | LLFB | ATE | 40- 52 | 45.5 | 1.894429 | 0.015155431 | 8 | 0 | 7610 | 2 | 1 | 1 n06 | qu | sub-raise | 7 | | |

Table 4. Atlantic yellowfin catch at size.

| | 1970 | 1971 | 1972 | 1973 | 1974 | 1975 | 1976 | 1977 | 1978 | 1979 | 1980 | 1981 | 1982 | 1983 | 1984 | 1985 | 1986 | 1987 | 1988 | 1989 | 1990 | 1991 | 1992 | 1993 | 1994 | 1995 | 1996 | 1997 | 1998 | 1999 | 1999 | 2000 | 2001 | 2002 | 2003 | 2004 | 2005 |
|-----|------|------|------|------|------|------|------|------|------|------|------|------|------|------|------|------|------|------|------|------|------|------|------|------|------|------|------|------|------|------|------|------|------|------|------|------|------|
| 4 | | | | | | | | | | | | | | | | | | | | | | | | | | | | | | | | | | | | | |
| 10 | | | | | | | | | | | | | | | | | | | | | | | | | | | | | | | | | | | | | |
| 16 | | | | | | | | | | | | | | | | | | | | | | | | | | | | | | | | | | | | | |
| 18 | | | | | | | | | | | | | | | | | | | | | | | | | | | | | | | | | | | | | |
| 20 | | | | | | | | | | | | | | | | | | | | | | | | | | | | | | | | | | | | | |
| 24 | | | | | | | | | | | | | | | | | | | | | | | | | | | | | | | | | | | | | |
| 26 | | | | | | | | | | | | | | | | | | | | | | | | | | | | | | | | | | | | | |
| 28 | | | | | | | | | | | | | | | | | | | | | | | | | | | | | | | | | | | | | |
| 30 | | | | | | | | | | | | | | | | | | | | | | | | | | | | | | | | | | | | | |
| 32 | | | | | | | | | | | | | | | | | | | | | | | | | | | | | | | | | | | | | |
| 34 | | | | | | | | | | | | | | | | | | | | | | | | | | | | | | | | | | | | | |
| 36 | | | | | | | | | | | | | | | | | | | | | | | | | | | | | | | | | | | | | |
| 38 | | | | | | | | | | | | | | | | | | | | | | | | | | | | | | | | | | | | | |
| 40 | | | | | | | | | | | | | | | | | | | | | | | | | | | | | | | | | | | | | |
| 42 | | | | | | | | | | | | | | | | | | | | | | | | | | | | | | | | | | | | | |
| 44 | | | | | | | | | | | | | | | | | | | | | | | | | | | | | | | | | | | | | |
| 46 | | | | | | | | | | | | | | | | | | | | | | | | | | | | | | | | | | | | | |
| 48 | | | | | | | | | | | | | | | | | | | | | | | | | | | | | | | | | | | | | |
| 50 | | | | | | | | | | | | | | | | | | | | | | | | | | | | | | | | | | | | | |
| 52 | | | | | | | | | | | | | | | | | | | | | | | | | | | | | | | | | | | | | |
| 54 | | | | | | | | | | | | | | | | | | | | | | | | | | | | | | | | | | | | | |
| 56 | | | | | | | | | | | | | | | | | | | | | | | | | | | | | | | | | | | | | |
| 58 | | | | | | | | | | | | | | | | | | | | | | | | | | | | | | | | | | | | | |
| 60 | | | | | | | | | | | | | | | | | | | | | | | | | | | | | | | | | | | | | |
| 62 | | | | | | | | | | | | | | | | | | | | | | | | | | | | | | | | | | | | | |
| 64 | | | | | | | | | | | | | | | | | | | | | | | | | | | | | | | | | | | | | |
| 66 | | | | | | | | | | | | | | | | | | | | | | | | | | | | | | | | | | | | | |
| 68 | | | | | | | | | | | | | | | | | | | | | | | | | | | | | | | | | | | | | |
| 70 | | | | | | | | | | | | | | | | | | | | | | | | | | | | | | | | | | | | | |
| 72 | | | | | | | | | | | | | | | | | | | | | | | | | | | | | | | | | | | | | |
| 74 | | | | | | | | | | | | | | | | | | | | | | | | | | | | | | | | | | | | | |
| 76 | | | | | | | | | | | | | | | | | | | | | | | | | | | | | | | | | | | | | |
| 78 | | | | | | | | | | | | | | | | | | | | | | | | | | | | | | | | | | | | | |
| 80 | | | | | | | | | | | | | | | | | | | | | | | | | | | | | | | | | | | | | |
| 82 | | | | | | | | | | | | | | | | | | | | | | | | | | | | | | | | | | | | | |
| 84 | | | | | | | | | | | | | | | | | | | | | | | | | | | | | | | | | | | | | |
| 86 | | | | | | | | | | | | | | | | | | | | | | | | | | | | | | | | | | | | | |
| 88 | | | | | | | | | | | | | | | | | | | | | | | | | | | | | | | | | | | | | |
| 90 | | | | | | | | | | | | | | | | | | | | | | | | | | | | | | | | | | | | | |
| 92 | | | | | | | | | | | | | | | | | | | | | | | | | | | | | | | | | | | | | |
| 94 | | | | | | | | | | | | | | | | | | | | | | | | | | | | | | | | | | | | | |
| 96 | | | | | | | | | | | | | | | | | | | | | | | | | | | | | | | | | | | | | |
| 98 | | | | | | | | | | | | | | | | | | | | | | | | | | | | | | | | | | | | | |
| 100 | | | | | | | | | | | | | | | | | | | | | | | | | | | | | | | | | | | | | |
| 102 | | | | | | | | | | | | | | | | | | | | | | | | | | | | | | | | | | | | | |
| 104 | | | | | | | | | | | | | | | | | | | | | | | | | | | | | | | | | | | | | |
| 106 | | | | | | | | | | | | | | | | | | | | | | | | | | | | | | | | | | | | | |
| 108 | | | | | | | | | | | | | | | | | | | | | | | | | | | | | | | | | | | | | |
| 110 | | | | | | | | | | | | | | | | | | | | | | | | | | | | | | | | | | | | | |
| 112 | | | | | | | | | | | | | | | | | | | | | | | | | | | | | | | | | | | | | |
| 114 | | | | | | | | | | | | | | | | | | | | | | | | | | | | | | | | | | | | | |
| 116 | | | | | | | | | | | | | | | | | | | | | | | | | | | | | | | | | | | | | |
| 118 | | | | | | | | | | | | | | | | | | | | | | | | | | | | | | | | | | | | | |
| 120 | | | | | | | | | | | | | | | | | | | | | | | | | | | | | | | | | | | | | |
| 122 | | | | | | | | | | | | | | | | | | | | | | | | | | | | | | | | | | | | | |
| 124 | | | | | | | | | | | | | | | | | | | | | | | | | | | | | | | | | | | | | |
| 126 | | | | | | | | | | | | | | | | | | | | | | | | | | | | | | | | | | | | | |
| 128 | | | | | | | | | | | | | | | | | | | | | | | | | | | | | | | | | | | | | |
| 130 | | | | | | | | | | | | | | | | | | | | | | | | | | | | | | | | | | | | | |
| 132 | | | | | | | | | | | | | | | | | | | | | | | | | | | | | | | | | | | | | |
| 134 | | | | | | | | | | | | | | | | | | | | | | | | | | | | | | | | | | | | | |
| 136 | | | | | | | | | | | | | | | | | | | | | | | | | | | | | | | | | | | | | |
| 138 | | | | | | | | | | | | | | | | | | | | | | | | | | | | | | | | | | | | | |
| 140 | | | | | | | | | | | | | | | | | | | | | | | | | | | | | | | | | | | | | |
| 142 | | | | | </ | | | | | | | | | | | | | | | | | | | | | | | | | | | | | | | | |

Table 5. Fishery definitions proposed for use in further analysis for skipjack and yellowfin.

| Stock | Fishery | Flags | Gear | Period |
|---------------|---------|--|---------|-----------|
| Atlantic East | 1E | EC-France, EC-Spain and Others | PS | 1965-1985 |
| Atlantic East | 2E | EC-France, EC-Spain and Others | PS | 1986-1990 |
| Atlantic East | 3E | EC-France, EC-Spain and Others | PS | 1991-2005 |
| Atlantic East | 4E | Ghana | PS & BB | 1973-2005 |
| Atlantic East | 5E | EC-France, EC-Spain (Dakar Based), Senegal | BB | 1965-1979 |
| Atlantic East | 6E | EC-France, EC-Spain (Dakar Based), Senegal | BB | 1980-2005 |
| Atlantic East | 7E | Azores, Madeira, Canaries | BB | 1965-2005 |
| Atlantic East | 8E | Others | BB | 1965-2005 |
| Atlantic East | 9E | All | LL | 1965-2005 |
| Atlantic East | 10E | Others | Others | 1965-2005 |
| Atlantic West | 1W | All | BB | 1965-2005 |
| Atlantic West | 2W | All | PS | 1965-2005 |
| Atlantic West | 3W | All | LL | 1965-2005 |
| Atlantic West | 4W | All | Others | 1965-2005 |

Table 6. Total tunas unloaded and transhipped in Abidjan harbour and corresponding estimated quantities of “faux-poisson” (from the number of vans and/or trucks).

| Year | Total Tuna (tons) | Number of vans | Number of trucks | Conversion rate (tons) | “faux- poisson” (tons) | % “faux- poisson” |
|------|----------------------|-------------------|---------------------|---------------------------|------------------------------|----------------------|
| 1981 | 106000 | 1933 | | 1,5 | 2 900 | 3 |
| 1982 | 98000 | 2067 | | 1,5 | 3 100 | 3 |
| 1983 | 93000 | 2934 | | 1,5 | 4 400 | 5 |
| 1984 | 64000 | 667 | | 1,5 | 1 000 | 2 |
| 1985 | 73000 | 433 | | 1,5 | 650 | 1 |
| 1986 | 91000 | 839 | | 1,5 | 1 259 | 1 |
| 1987 | 102000 | 3533 | | 2,4 | 8 500 | 8 |
| 1988 | 94000 | 3530 | | 2,4 | 8 500 | 9 |
| 1989 | 108000 | 3145 | | 2,4 | 7 500 | 7 |
| 1990 | 134000 | 4019 | | 2,4 | 9 600 | 7 |
| 1991 | 164000 | 6729 | | 3 | 20 000 | 12 |
| 1992 | 135000 | 7437 | | 3 | 22 000 | 16 |
| 1993 | 158000 | 8332 | | 3 | 25 000 | 16 |
| 1994 | 148000 | 5755 | | 3 | 17 000 | 11 |
| 1995 | 155000 | 3553 | | 3 | 10 600 | 7 |
| 1996 | 167000 | | | 3 | 11 000 | 7 |
| 1997 | 119000 | | | 3,5 | 10 500 | 9 |
| 1998 | 136000 | | | 3,5 | 10 500 | 8 |
| 1999 | 128000 | | | 3,5 | 14 000 | 11 |
| 2000 | 121000 | | | 4,5 | 20 000 | 17 |
| 2001 | 111000 | | | 4,5 | 15 000 | 14 |
| 2002 | 123000 | | | 4,5 | 6 800 | 6 |
| 2003 | 131000 | | | 4,5 | 14 000 | 11 |
| 2004 | 104000 | | | 4,5 | 15 000 | 14 |
| 2005 | 118621 | 502 | 2686 | 4,5/6,5 | 20 751 | 17 |
| 2006 | 142482 | | | 6,5 | 19 082 | 13 |

Table 7. Form used to estimate the quantities and species composition of “faux-poisson” unloadings.

| NOM → DU THONIER | | Suivi du Débarquement du Faux poisson au Port de pêche | | | | | | ANNÉE : 2003 |
|---|-------------------------|--|-------------------------|--------------------|-------------------------|----------------------|-------------------------|-------------------------|
| DATE DE → DEBARQUEMENT | 17.11.2003 | 18.11.2003 | 19.11.2003 | 20.11.2003 | / / 2003 | / / 2003 | | |
| COMPOSITION SPÉCIFIQUE DU DÉBARQUEMENT | Albacores (Pièces) | | | | | | | |
| | Albacores bon état | Albacores bon état | Albacores bon état | Albacores bon état | Albacores bon état | Albacores bon état | Albacores bon état | |
| | Albacores Petite taille | X | Albacores Petite taille | X | Albacores Petite taille | X | Albacores Petite taille | Albacores Petite taille |
| | Albacores abîmés | | Albacores abîmés | | Albacores abîmés | | Albacores abîmés | Albacores abîmés |
| | Listao bon état | | Listao bon état | | Listao bon état | | Listao bon état | Listao bon état |
| | Listao Petite taille | X | Listao Petite taille | X | Listao Petite taille | X | Listao Petite taille | Listao Petite taille |
| | Listao abîmés | | Listao abîmés | | Listao abîmés | | Listao abîmés | Listao abîmés |
| | Patudos Pièces | | Patudos Pièces | | Patudos Pièces | | Patudos Pièces | Patudos Pièces |
| | Patudos bon état | | Patudos bon état | | Patudos bon état | | Patudos bon état | Patudos bon état |
| | Patudos Petite taille | X | Patudos Petite taille | X | Patudos Petite taille | X | Patudos Petite taille | Patudos Petite taille |
| | Patudos abîmés | | Patudos abîmés | | Patudos abîmés | | Patudos abîmés | Patudos abîmés |
| | Thonine | X | Thonine | X | Thonine | X | Thonine | Thonine |
| | Auxide | X | Auxide | X | Auxide | X | Auxide | Auxide |
| | Banane | | Banane | X | Banane | X | Banane | Banane |
| | Barracuda | | Barracuda | | Barracuda | | Barracuda | Barracuda |
| | Marlin | Marlin | 5 | Marlin | 1 | Marlin | 1 | Marlin |
| | Voilier | Voilier | 1 | Voilier | | Voilier | | Voilier |
| | Requin | | Requin | | Requin | | Requin | Requin |
| | Thon blanc | Thon blanc | X | Thon blanc | X | Thon blanc | X | Thon blanc |
| | Gros Thons | Gros Thons | X | Gros Thons | X | Gros Thons | X | Gros Thons |
| | Balistes | Balistes | | Balistes | | Balistes | | Balistes |
| | Chinchards | Chinchards | | Chinchards | | Chinchards | | Chinchards |
| | Coriphènes | Coriphènes | X | Coriphènes | X | Coriphènes | X | Coriphènes |
| | Espadon | Espadon | | Espadon | | Espadon | | Espadon |
| | Bachées | 01 | 05 | 03 | 01 | | | 10 |
| Fourgonnettes | | | | | | | | |
| Secs | | 3 de 60 KGS | 1 de 60 KGS | 15 de 60 KGS | | | 19 de 60 KGS | |
| Marlins (Pièces) | | 05 | 01 | 01 | | | 7 | |
| Voiliers (Pièces) | | 01 | | | | | 1 | |
| Gros Thons | | 01 | | 09 | | | 3 | |
| Requin (Pièces) | | | | | | | | |
| TOTAL | | | | | | | | |

Table 8. Species composition of the “faux-poisson” unloadings during two sampled periods.

| Species | Average sampling 1997-1998 | | Average sampling 2004-2005 | |
|----------------------|----------------------------|-----|----------------------------|-----|
| | Tons | % | Tons | % |
| All species | 9 782 | | 17 583 | |
| Skipjack | 1 280 | 13% | 7 326 | 42% |
| Yellowfin and bigeye | 818 | 8% | 2 534 | 14% |
| Minor tunas | 6 356 | 65% | 4 935 | 28% |
| Others | 1 327 | 14% | 2 788 | 16% |

Table 9. Suggested fishery definitions for the bigeye MULTIFAN-CL Assessment. (NOTE: Region 1= N of 25°N, Region 2 = 15°S to 25°N, Region 3 = S of 15°S).

| Fishery | Region | Name | Fleets | GEARS | Years |
|-----------|---------------|--------------------|------------------------------|-------------|-----------|
| 1 | 2 | Early PS | 21, 8, 73, 29, other | PS | 1965-1985 |
| 2 | 2 | Transition PS | 21, 8, 73, 29, other | PS | 1986-1990 |
| 3 | 2 | Late PS FreeSchool | 21, 8, 73, 29, other | PS | 1991-2005 |
| 4 | 2 | Late PS FAD | 21, 8, 73 | PS | 1991-2005 |
| 5 | 2 | Ghana BB+PS | 27 | BB+PS | 1965-2005 |
| 6 | 2 (S of 10°N) | TRO-south BB | 21, 8, 73, other | BB | 1962-2005 |
| 7 | 2 (N of 10°N) | TRO-north BB early | 21, 8, 73, 50, 53, 65, other | BB | 1965-1979 |
| 8 | 2 (N of 10°N) | TRO-north BB late | 21, 8, 73, 50, 53, 65, other | BB | 1980-2005 |
| 9 | 1 | Northern BB | 45, 153, 154, other | BB | 1965-2005 |
| 10 | 1 | Japan LL North | 12 | LL | 1961-2005 |
| 11 | 2 | Japan LL TRO | 12 | LL | 1961-2005 |
| 12 | 3 | Japan LL South | 12 | LL | 1961-2005 |
| 13 | 1 | Other LL North | 5, others | LL + others | 1965-2005 |
| 14 | 2 | Other LL TRO | 3, 5, others | LL + others | 1965-2005 |
| 15 | 3 | Other LL South | 3, 5, 20, others | LL + others | 1961-2005 |

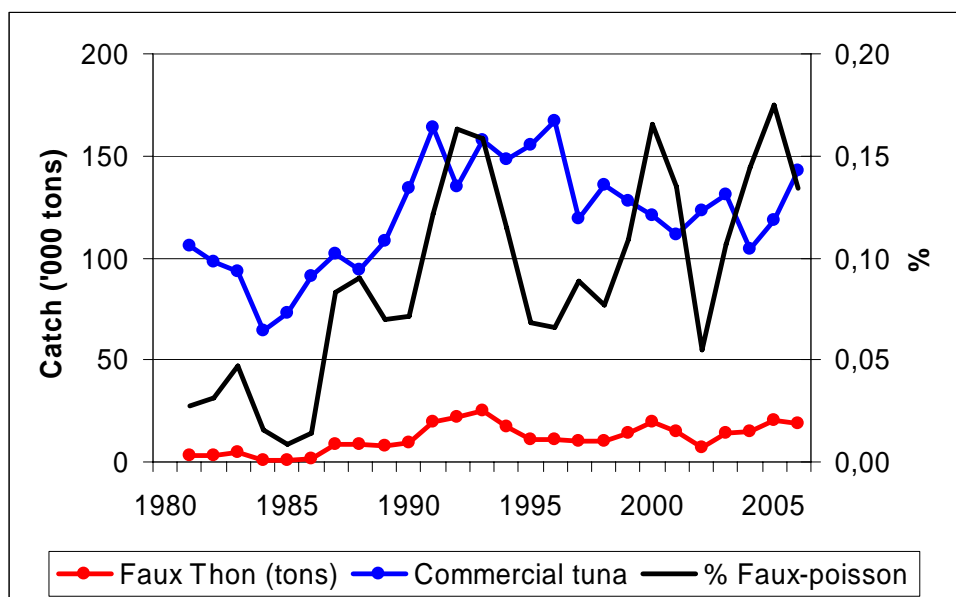


Figure 1. Evolution of the estimation of “faux-poisson” unloaded in the port of Abidjan since 1981.

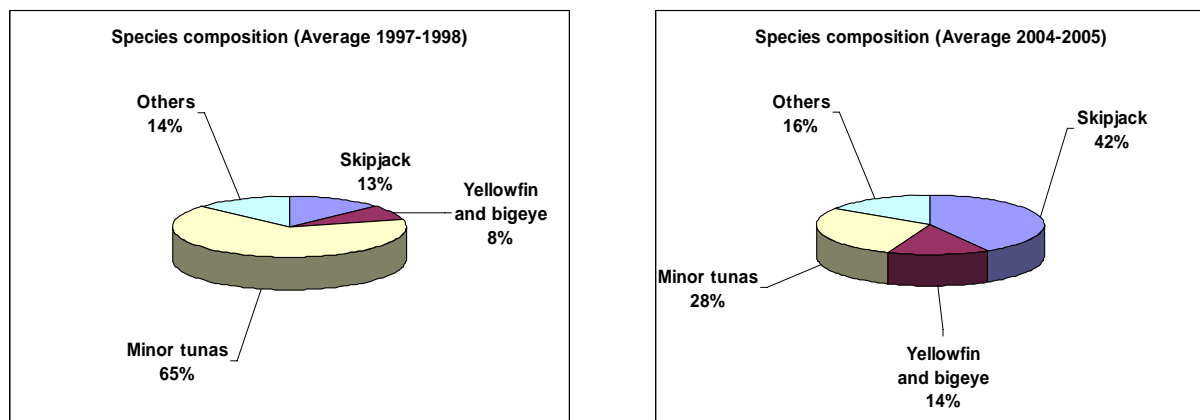


Figure 2. Species composition of the “faux-poisson” unloadings during two sampled periods.

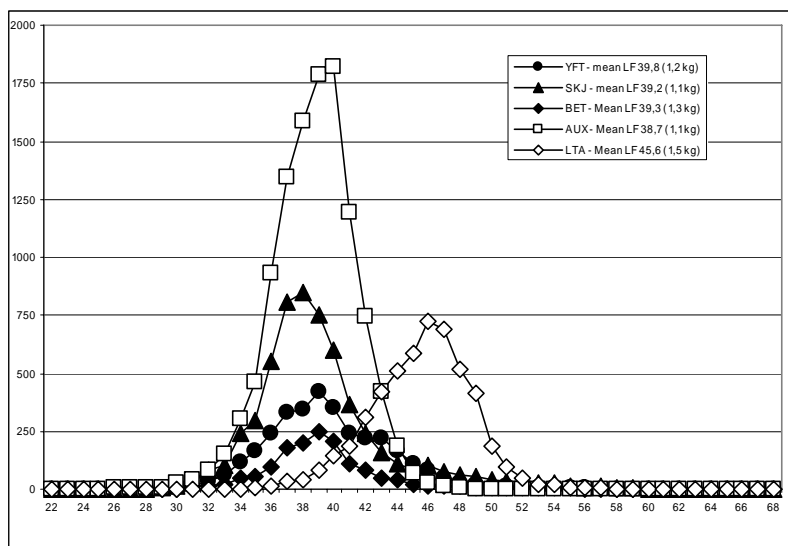


Figure 3. Size composition of the “faux-poisson” unloaded during the 1997-1998 sampling period.

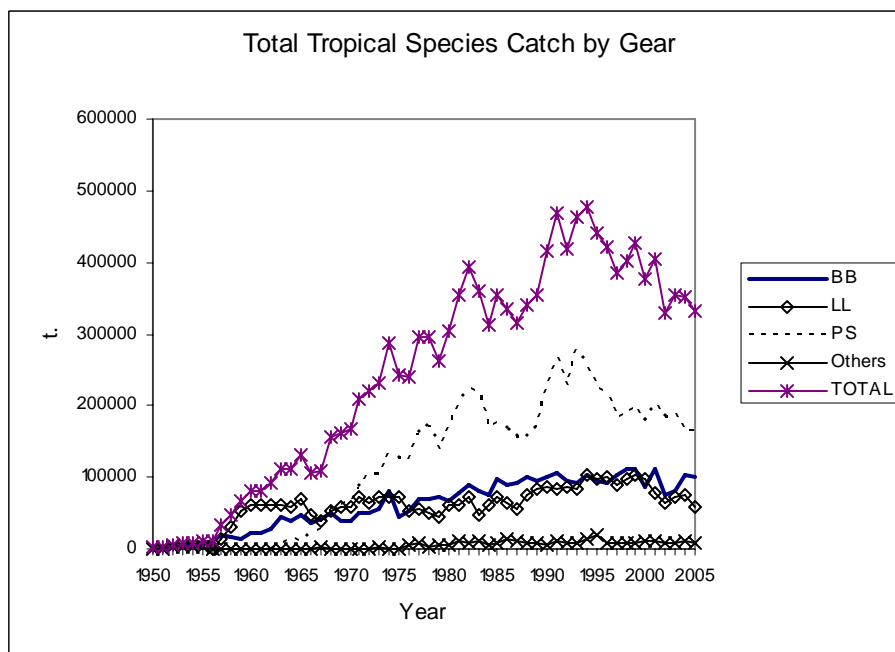


Figure 4. Tropical species (yellowfin, skipjack and bigeye) total catch by gear for the period 1950-2005.

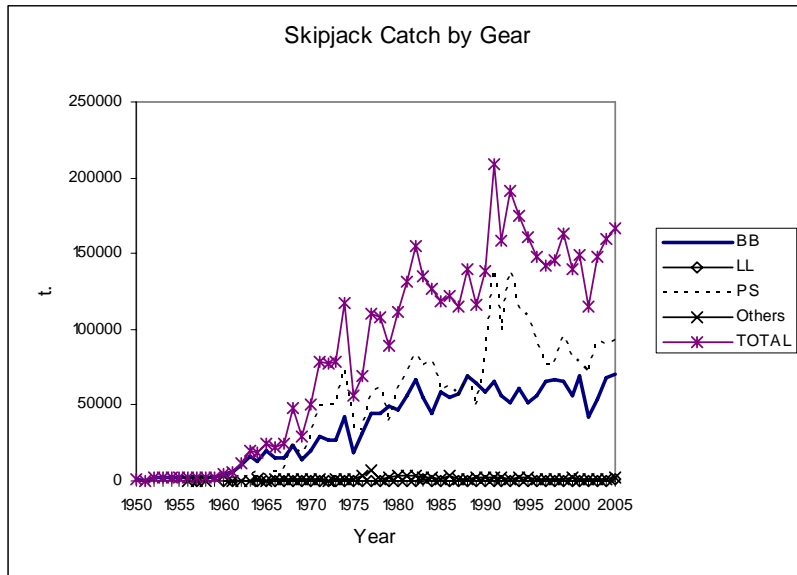


Figure 5. Total catch of Atlantic skipjack by gear for the period 1950-2005.

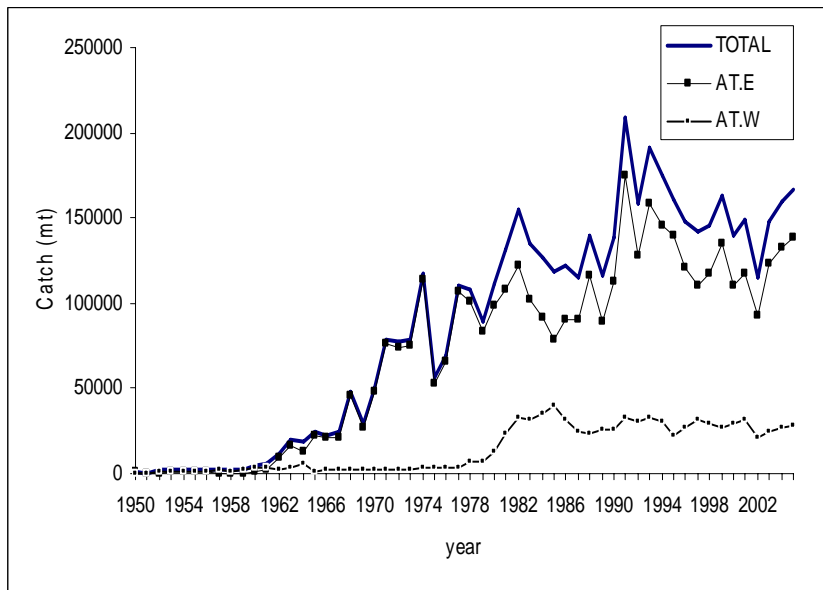


Figure 6. Total eastern and western Atlantic skipjack landings from 1950 to 2005.

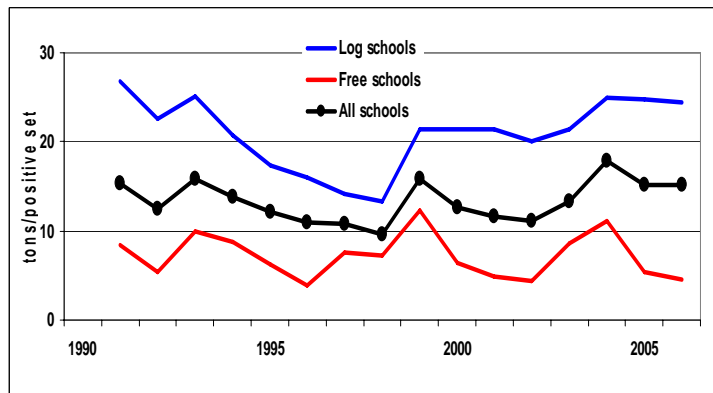
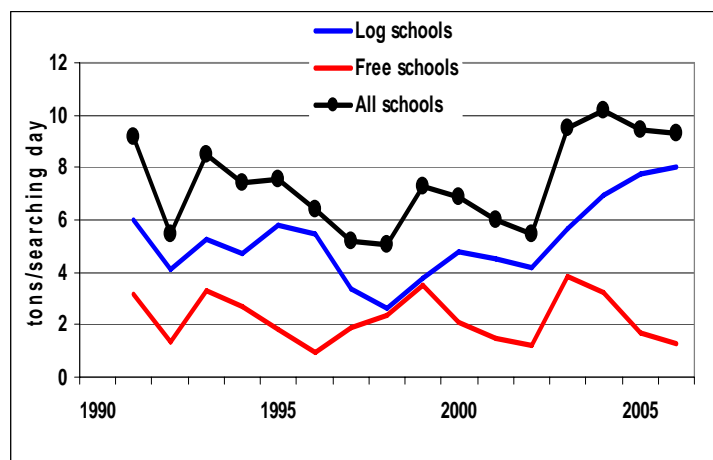


Figure 7. Changes of different skipjack CPUE indices for the EU purse seiners in the eastern Atlantic: CPUE in t/searching days (upper panel) and in t/positive set (lower panel).

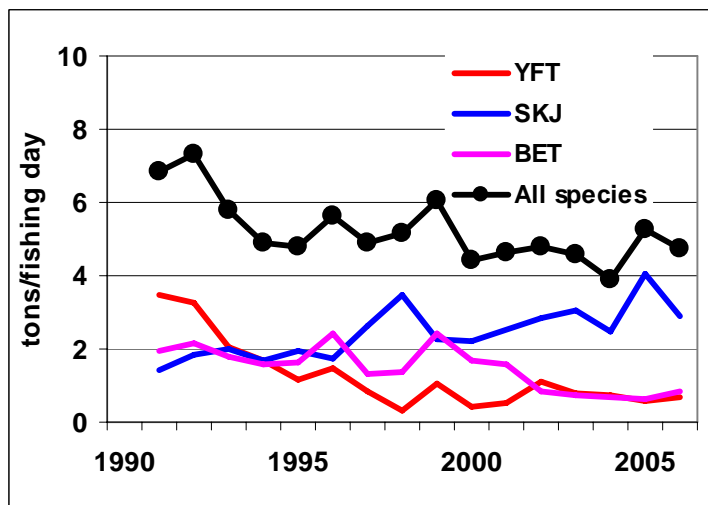


Figure 8. Changes over time of the CPUE of the three species of tunas for the Dakar-based baitboats.

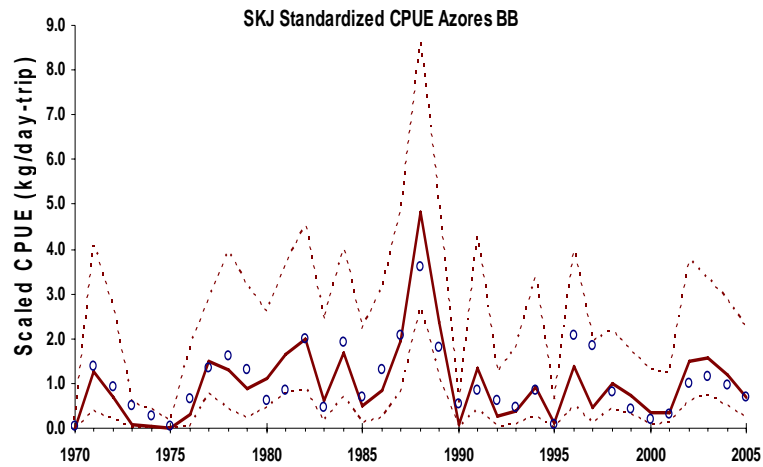


Figure 9. Standardized CPUE for skipjack for the Azorean baitboat fishery. The index was obtained by fitting a delta-lognormal GLM to daily catch records. Open symbols: observed CPUE. Lines: predicted CPUE and approximate 95% confidence intervals.

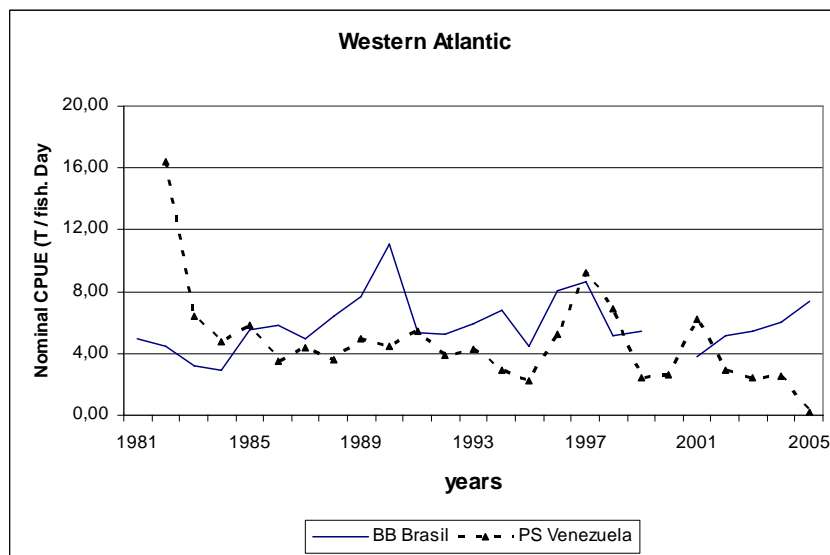


Figure 10. Changes in nominal CPUEs for the Brazilian baitboats and for the Venezuelan purse seiners in the western Atlantic (1981-2005).

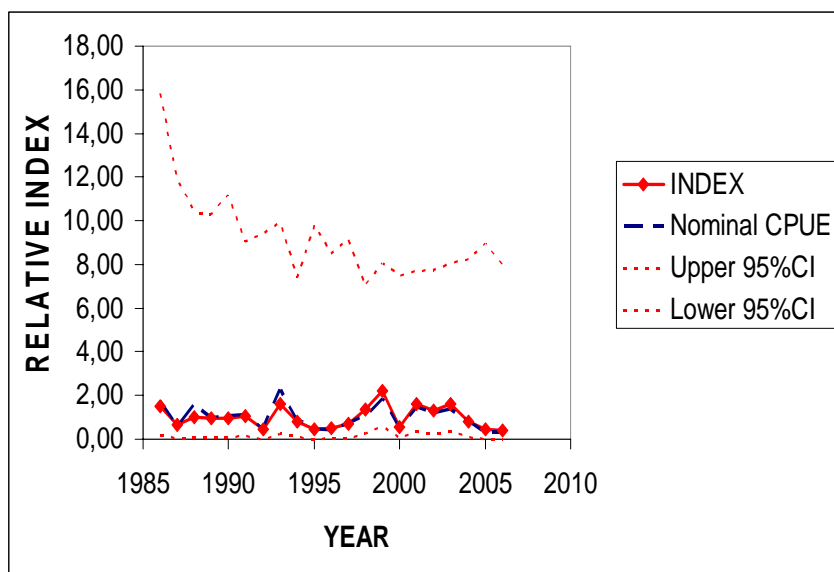


Figure 11. Changes in standardized CPUEs for the U.S. recreational fishery in the western Atlantic (1981-2005).

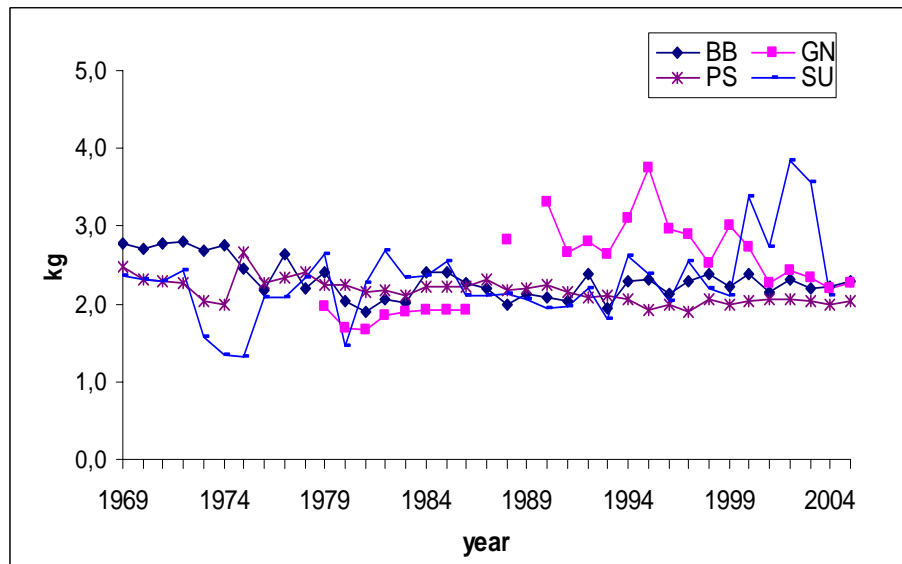


Figure 12. Change over time of the mean weight (kg) from catch at size for the eastern Atlantic skipjacks caught by the main fishing gear.

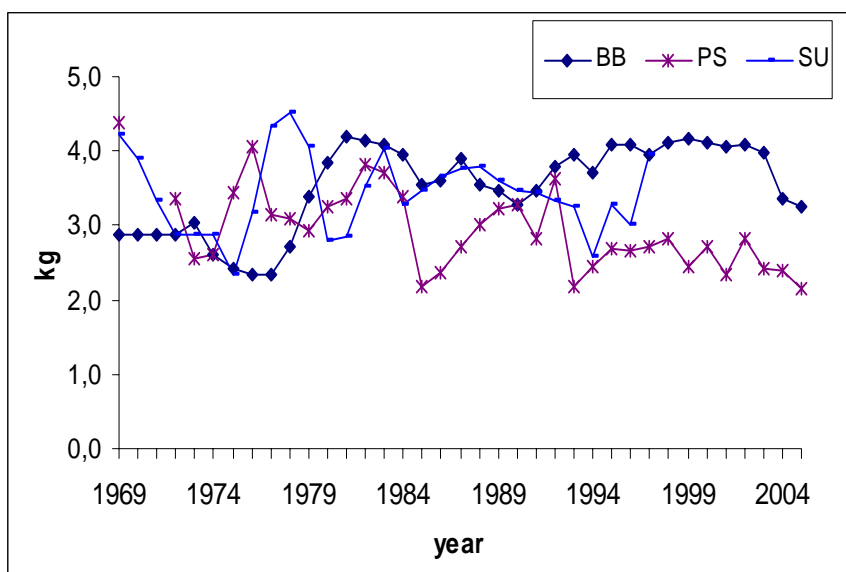


Figure 13. Change over time of the mean weight (kg) from catch at size for the western Atlantic skipjack caught by the main fishing gear.

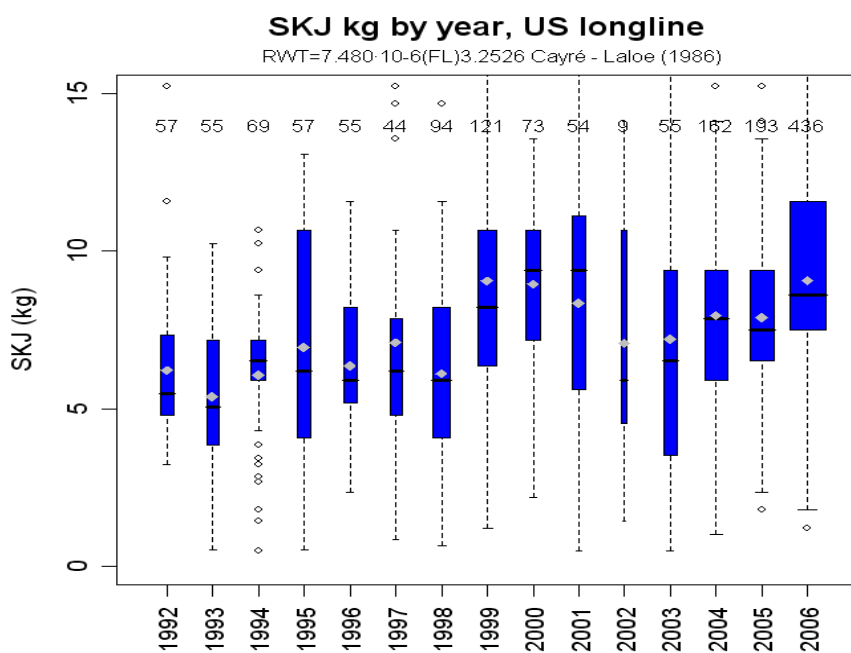


Figure 14. Box and whisker plots (median, 1st, 3rd quartile, minimum and maximum) of skipjack tuna carcass weight. Box widths are proportional to sample size and dots represent lengths that are outside the 1.5*interquartile range. Weights are obtained by converting individually measured fork lengths to weight using the Cayre-Laloe (1986) relationship.

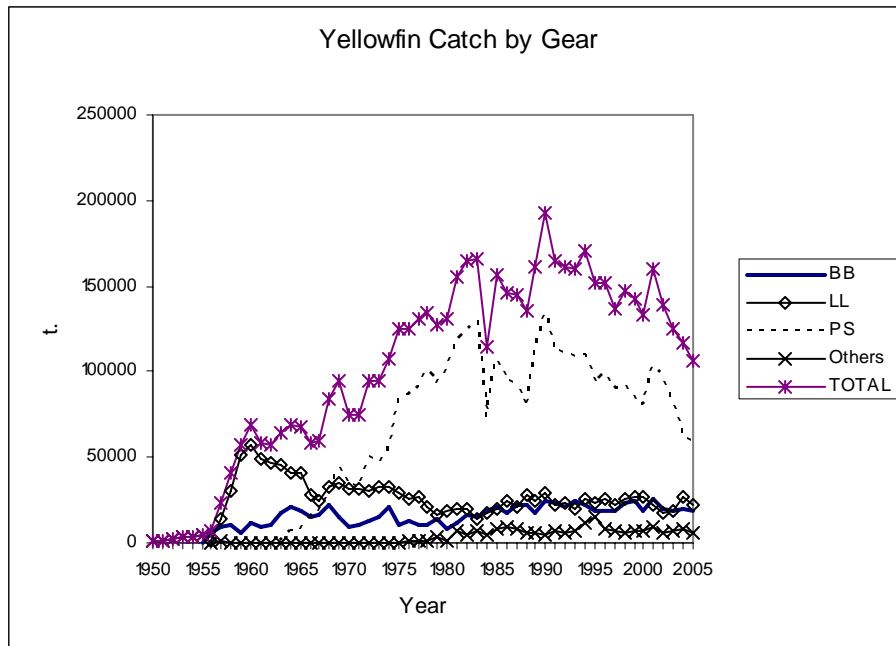


Figure 15. Total catch of Atlantic yellowfin by gear for the period 1950-2005.

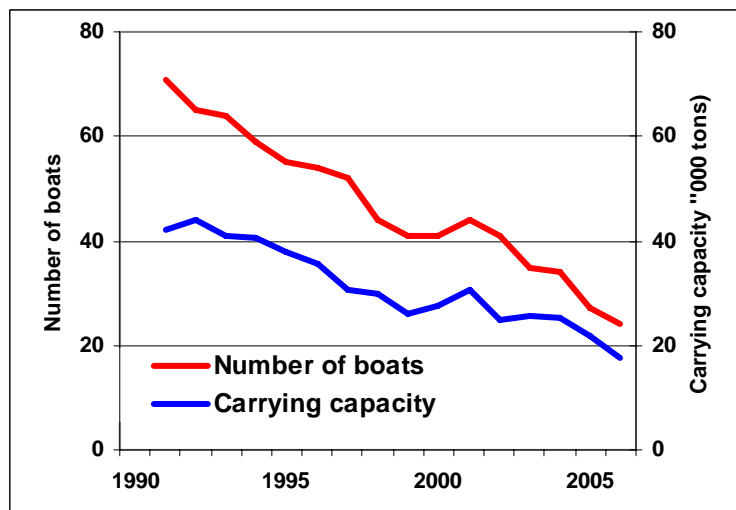


Figure 16. Change over time of the carrying capacity of the EU purse seiners.

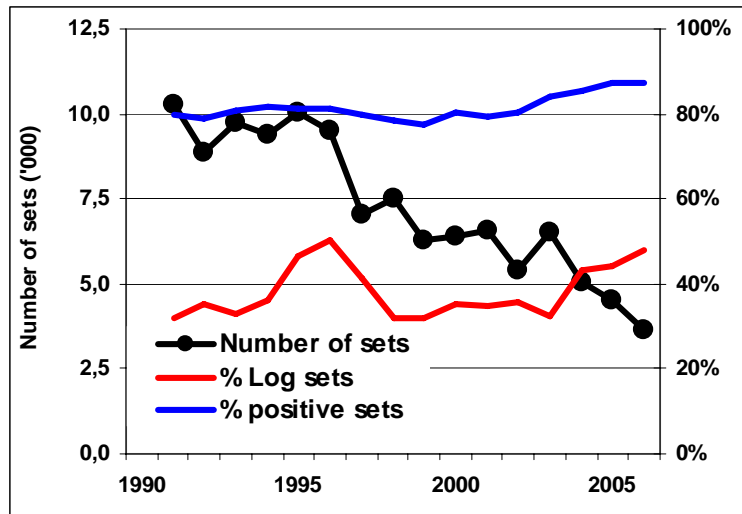


Figure 17. Proportion of FADs sets, % of successful sets and total number of sets for the EU purse seiners in the eastern Atlantic.

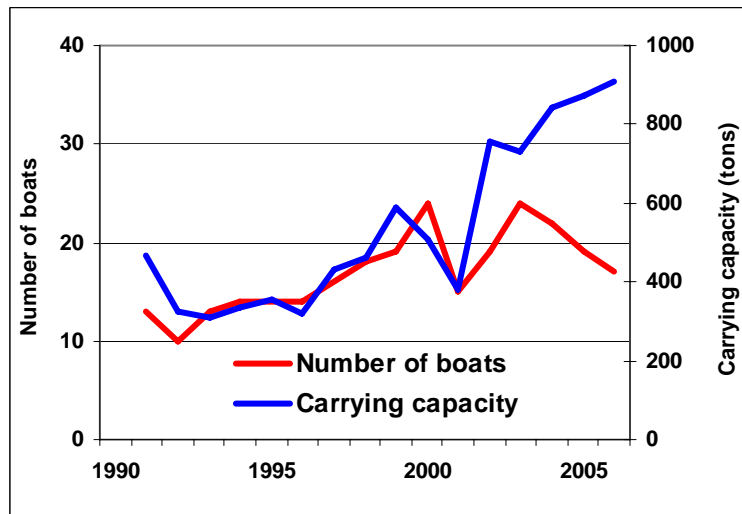


Figure 18. Change over time of the carrying capacity of the Dakar-based baitboats.

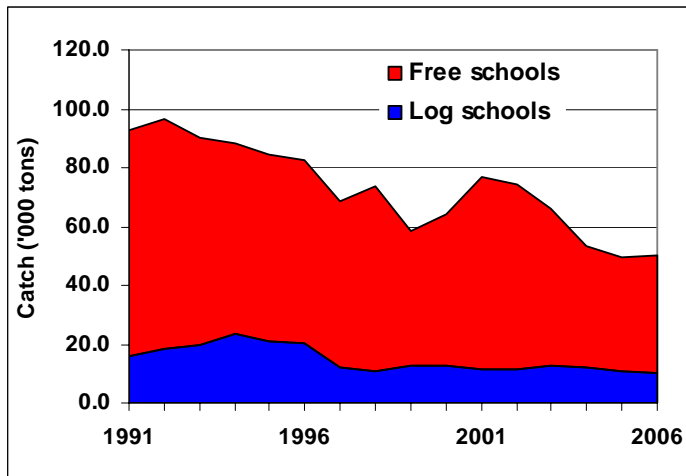


Figure 19. Yellowfin catch trend of EU and associated purse seiners in the east Atlantic, by type of set.

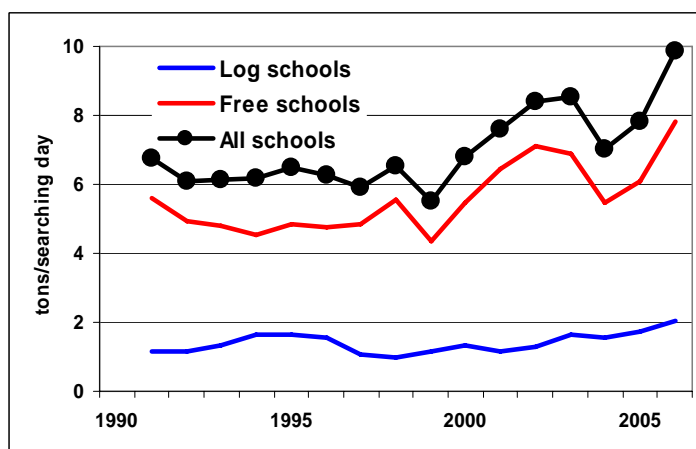


Figure 20. Nominal yellowfin catch per unit effort trend (tons/searching day) of EU and associated purse seiners in the east Atlantic, by type of set.

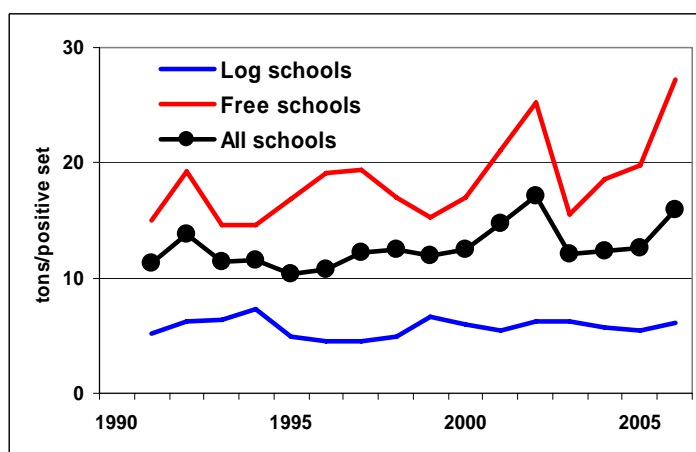


Figure 21. Nominal yellowfin catch per unit effort trend (tons/positive set) of EU and associated purse seiners in the east Atlantic, by type of set.

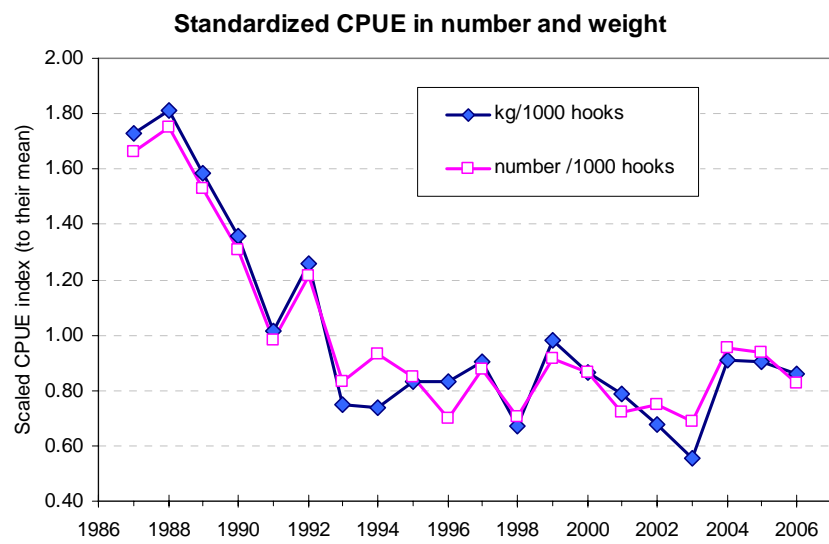


Figure 22. Comparison of standardized yellowfin CPUE in weight and number derived from U.S. pelagic longline fishery logbooks in the west Atlantic. Both measures are scaled to their individual means.

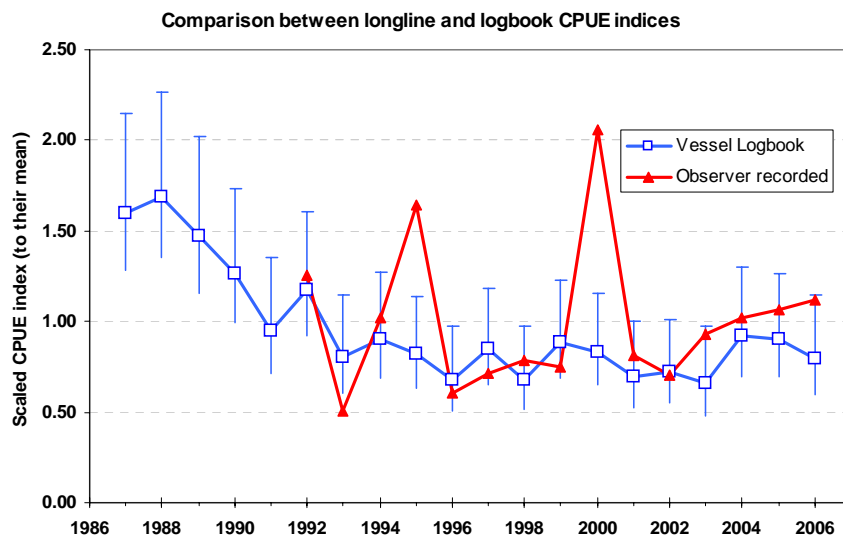


Figure 23. Comparison of U.S. pelagic longline logbook versus observer recorded standardized yellowfin CPUE (#/1000 hooks) for the west Atlantic. Indices are scaled to their mean.

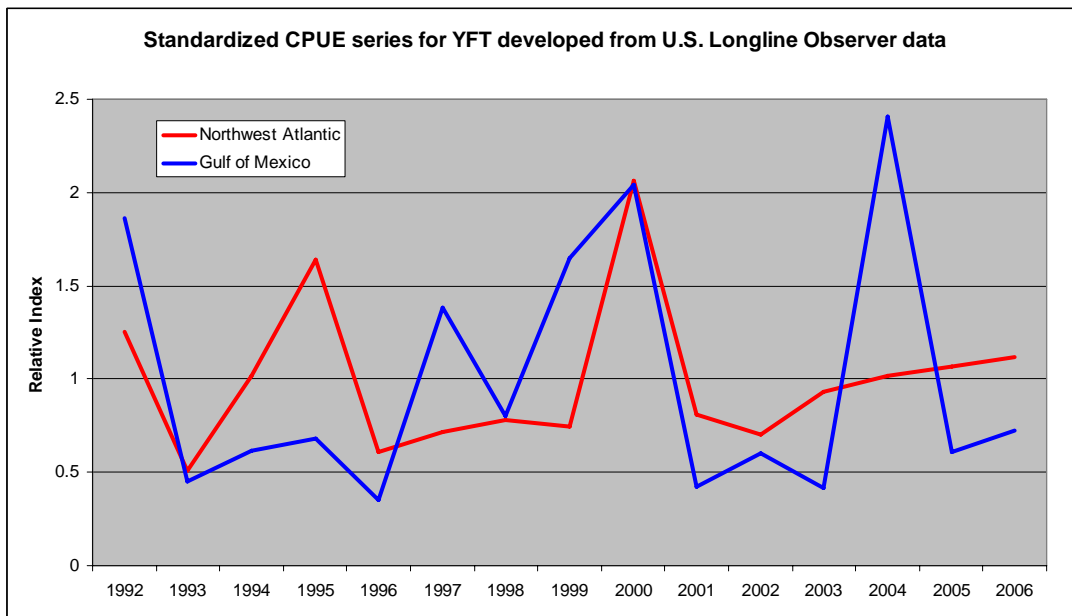


Figure 24. Standardized yellowfin CPUE in number derived from U.S. pelagic longline observer data, developed for all areas of the fishery as well as for the Gulf of Mexico.

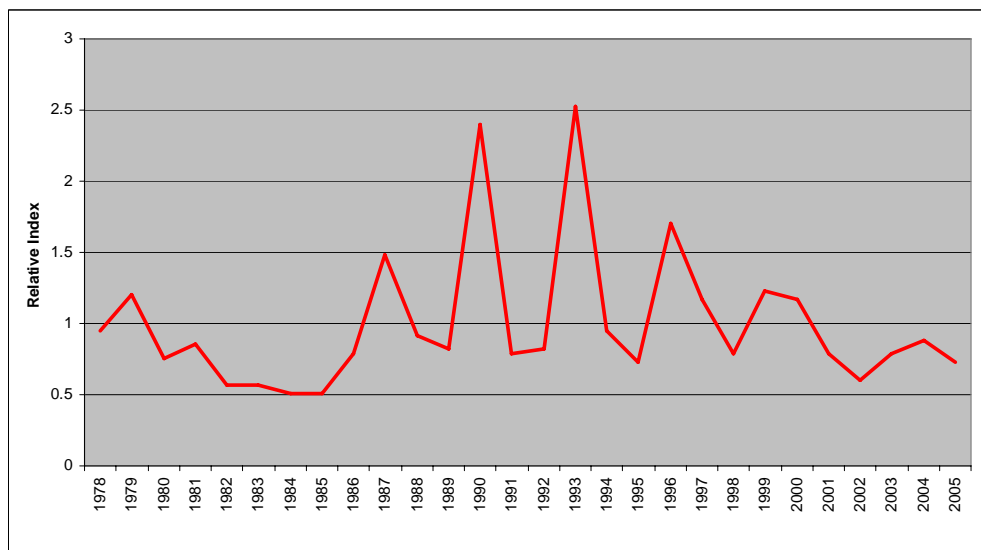


Figure 25. Standardized yellowfin CPUE for the west Atlantic, in number, derived from Brazilian pelagic longline logbook data.

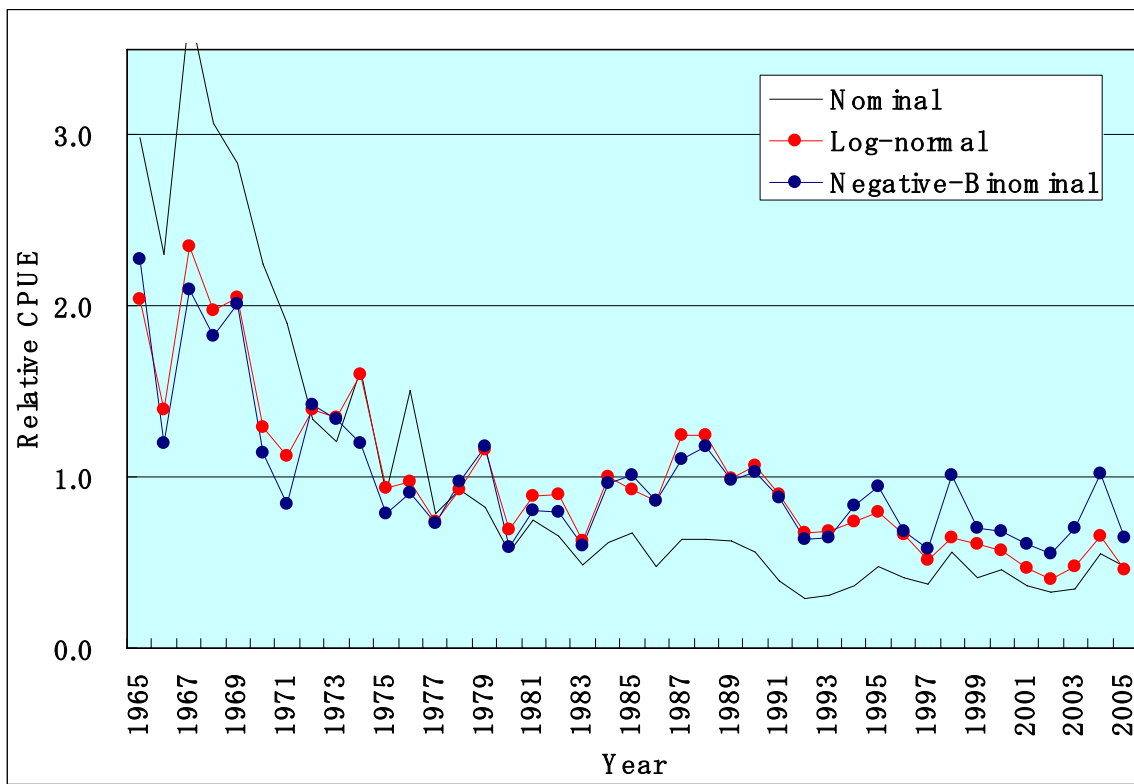


Figure 26. Standardized yellowfin CPUE for the Atlantic, in number, derived from Japanese pelagic longline data aggregated by month, 5-degree square and the number of hooks between floats.

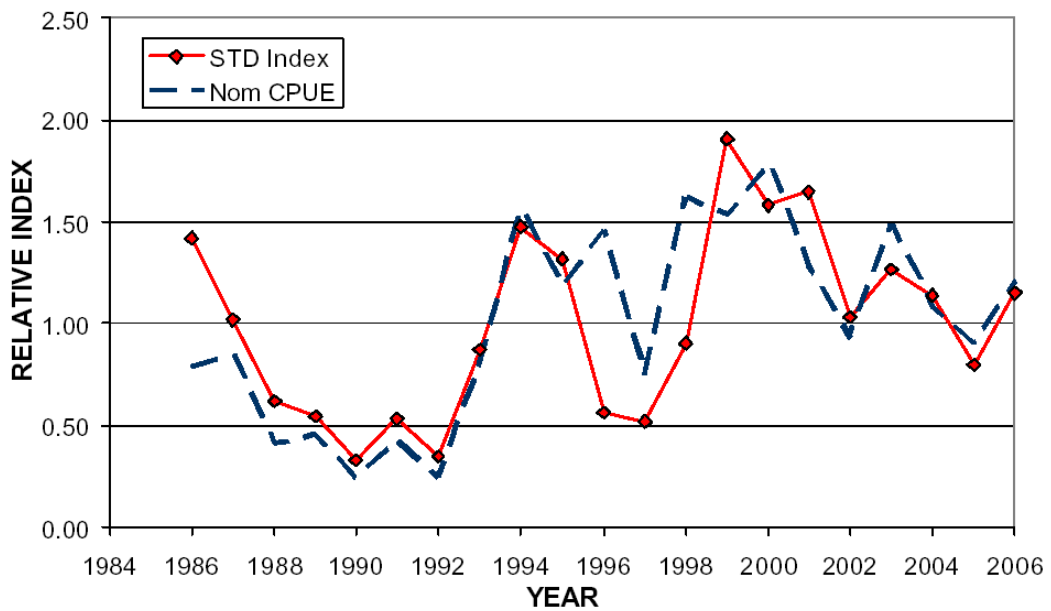


Figure 27. Standardized yellowfin CPUE for the west Atlantic, in number, derived from U.S. rod and reel intercept survey data.

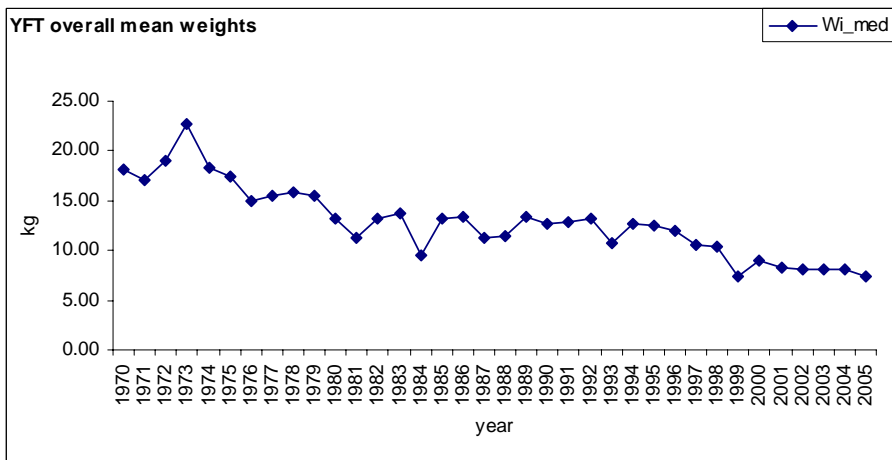


Figure 28. Atlantic yellowfin overall mean weight.

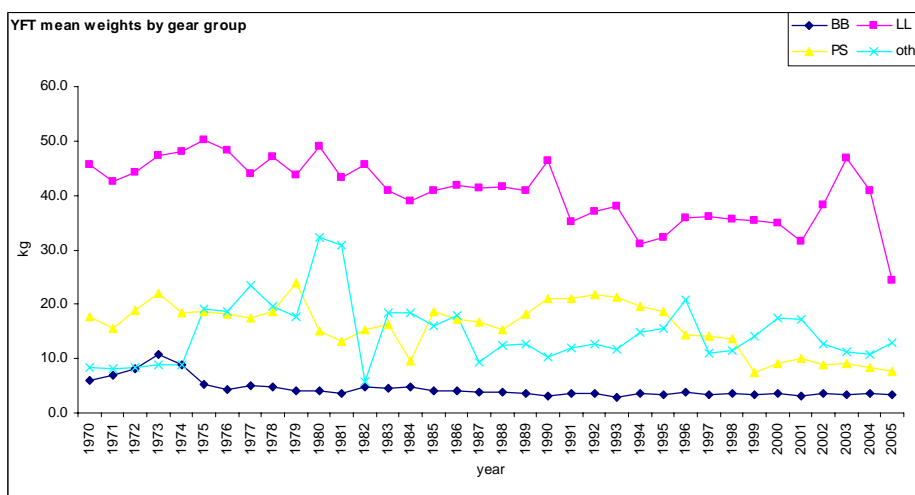


Figure 29. Atlantic yellowfin mean weights by gear group.

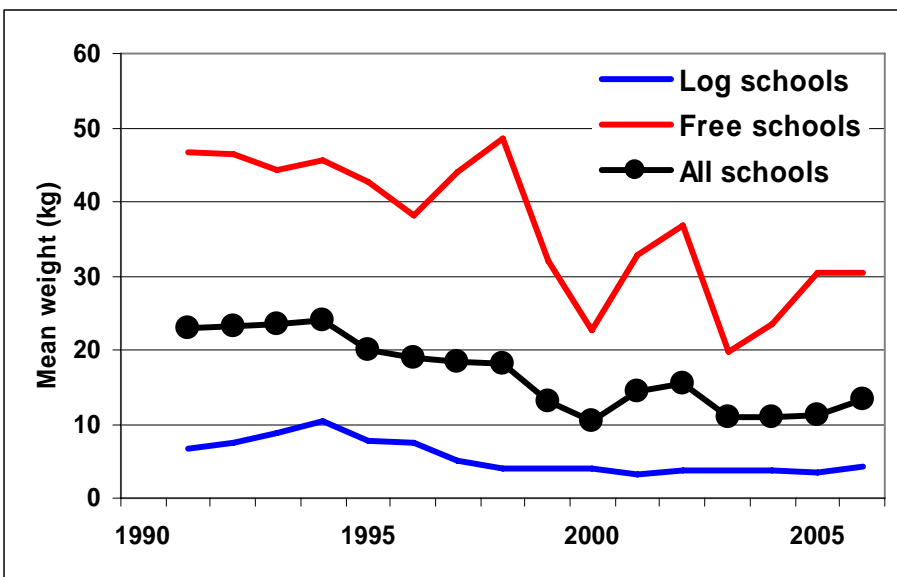


Figure 30. Yellowfin average weight trends, by set type, for the European and associated purse seine fleet.

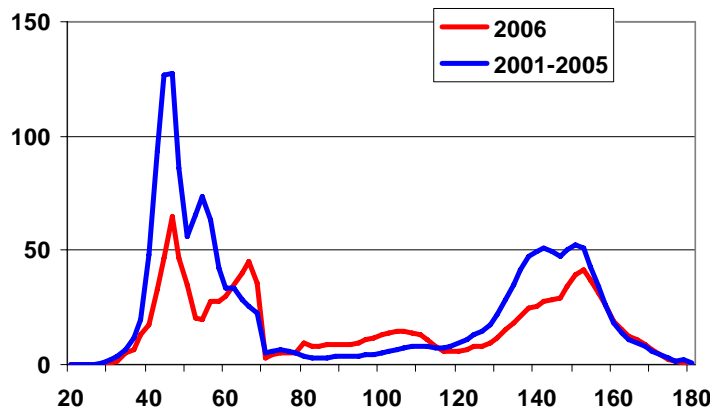


Figure 31. Yellowfin length distribution in numbers, by set type (FAD – top; free schools – bottom), for the European and associated purse seine fleet.

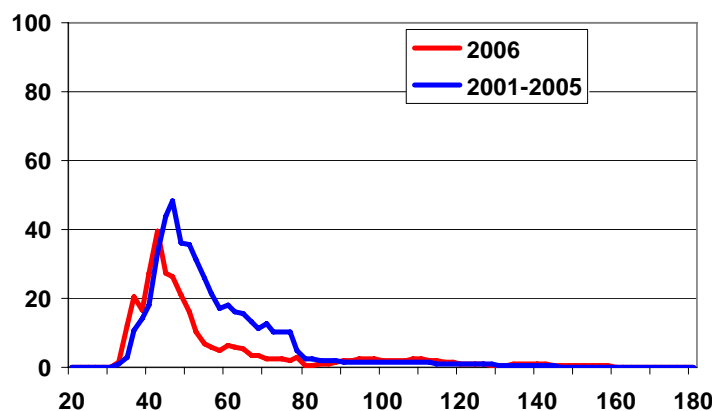


Figure 32. Yellowfin length distribution in numbers for the European and associated baitboat fleet.

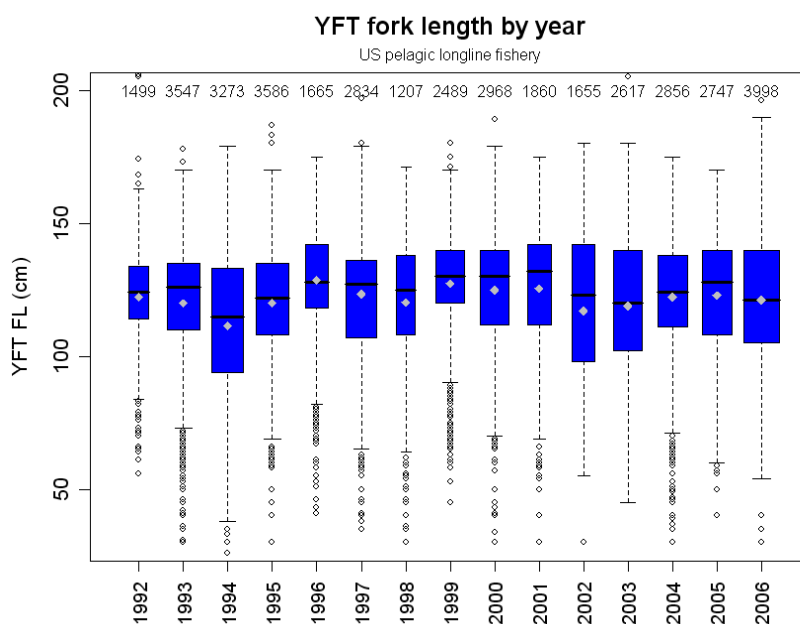


Figure 33. Box and whisker plots (median, 1st, 3rd quartile, minimum and maximum) of yellowfin tuna straight fork length, by year, for the U.S. pelagic longline fishery. Box widths are proportional to sample size and dots represent lengths that are outside the 1.5*interquartile range.

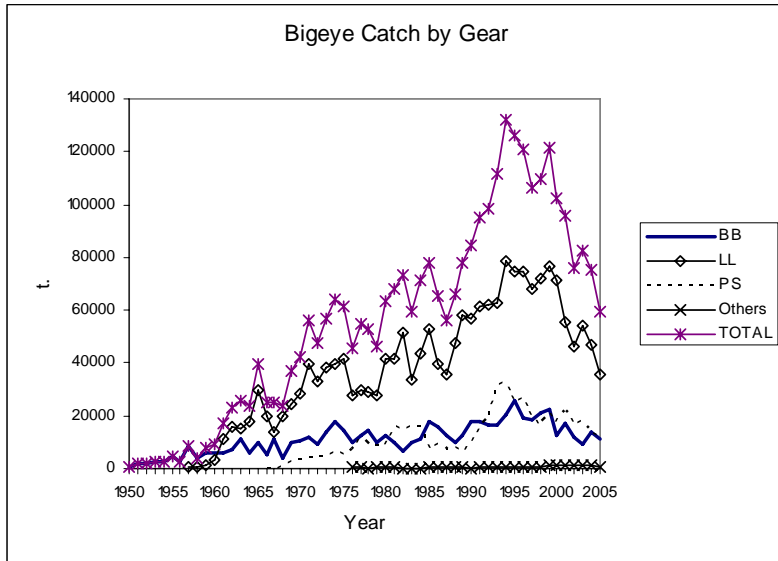


Figure 34. Annual catch of bigeye by gear, PS: purse seine, LL: longline and BB: baitboat.

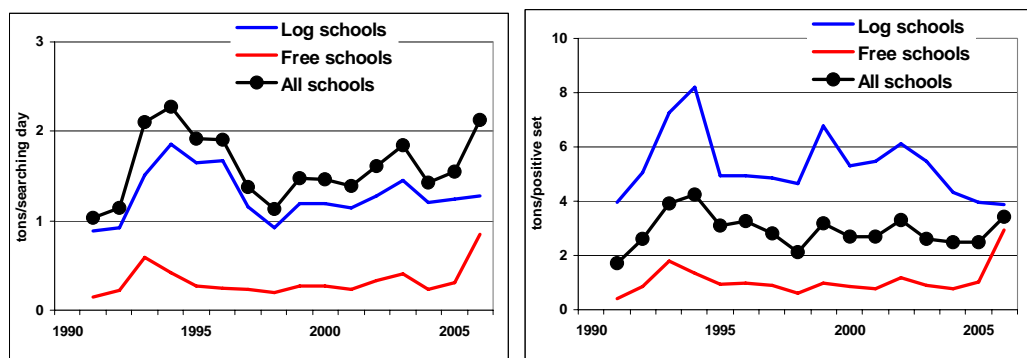


Figure 35. Two types of CPUE (left: tons/searching day, right: tons/positive set) for bigeye caught by EU purse seine fishery.

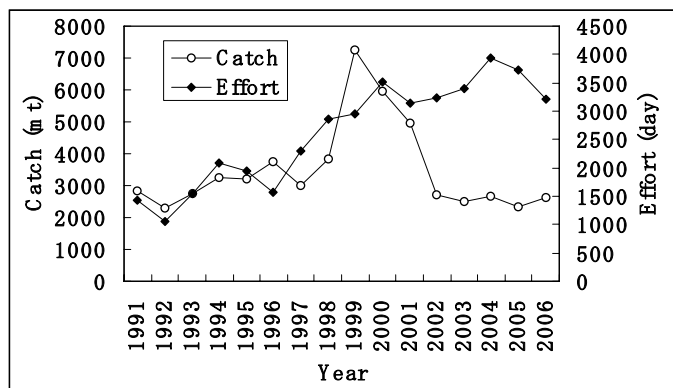


Figure 36. Total catch (t) and effort (days) in EU baitboat fishery.

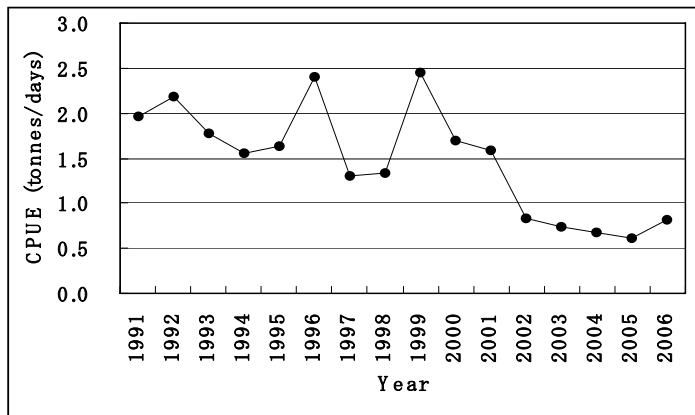


Figure 37. Historical change in EU baitboat CPUE for bigeye.

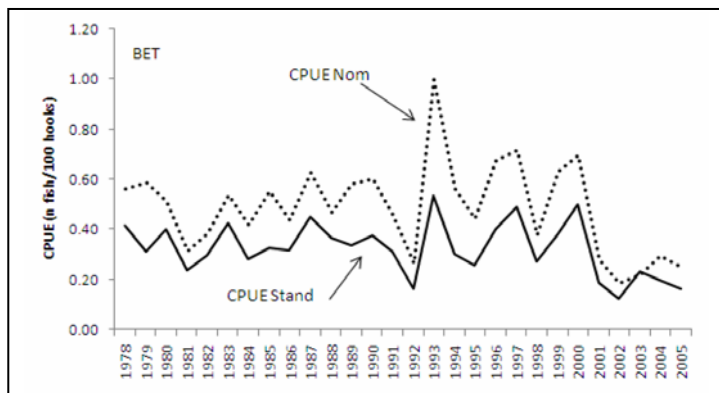


Figure 38. Nominal and standardized CPUE of yellowfin and bigeye tuna for Brazilian tuna longliners, from 1978 to 2005.

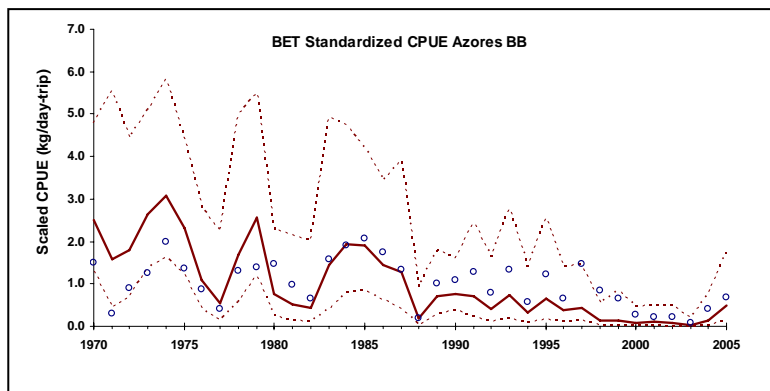


Figure 39. Standardized CPUE for bigeye for the Azorean baitboat fishery. Open symbols: observed CPUE. Lines: predicted CPUE and approximate 95% confidence intervals.

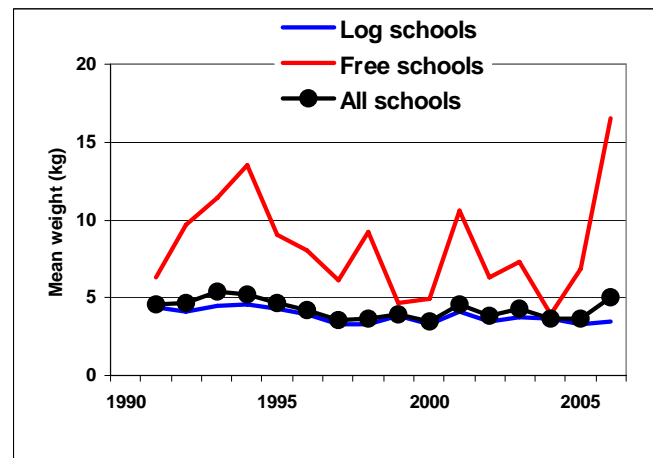


Figure 40. Change in mean weight of bigeye caught by associate school set, free school set and total.

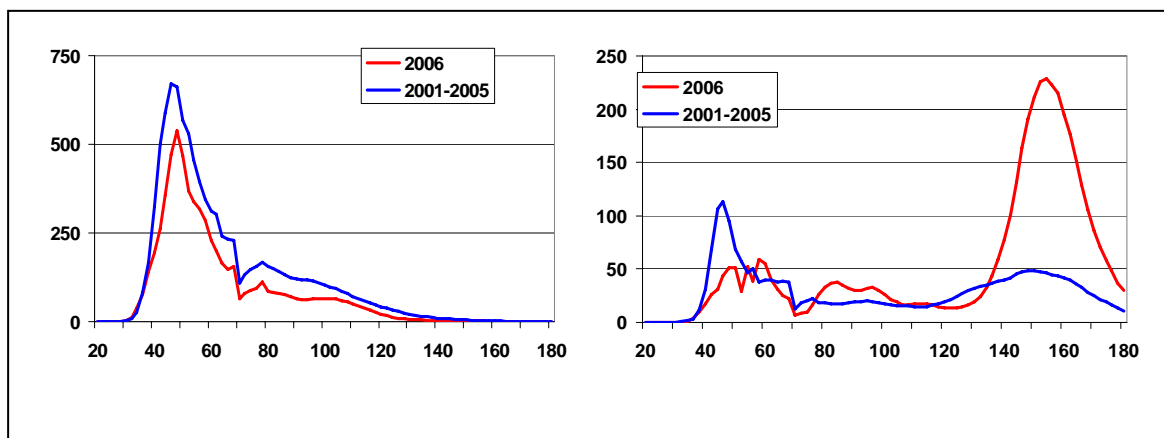


Figure 41. Size composition of bigeye in log (left) and free (right) school set in 2001-2005 and 2006.

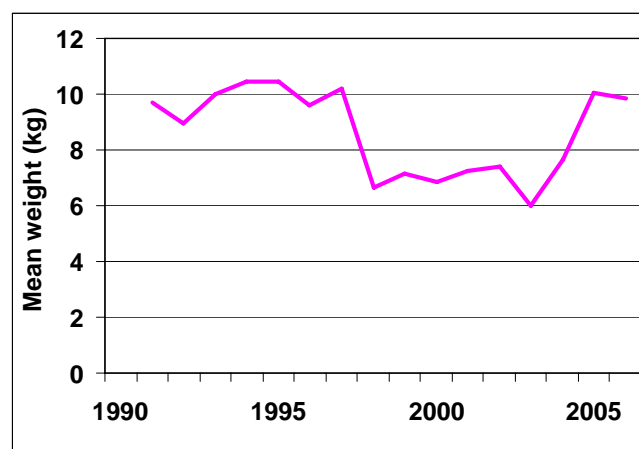


Figure 42. Change in mean weight of bigeye caught by EU baitboat fishery.

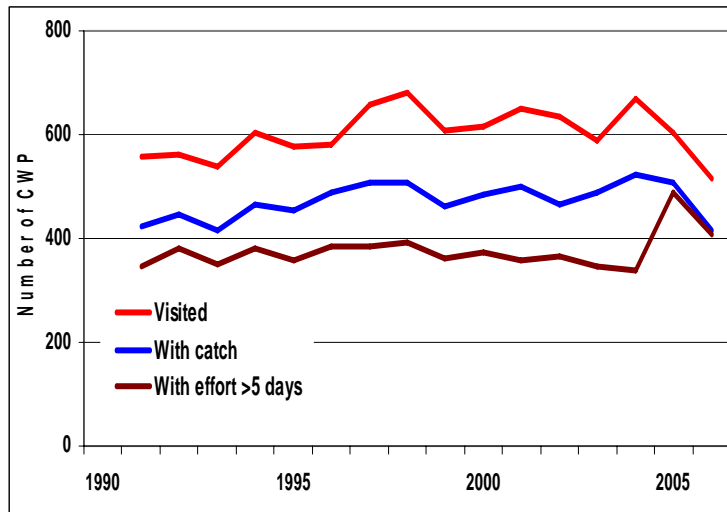


Figure 43. Change over time of the total area visited and fished by the EU purse seiners.

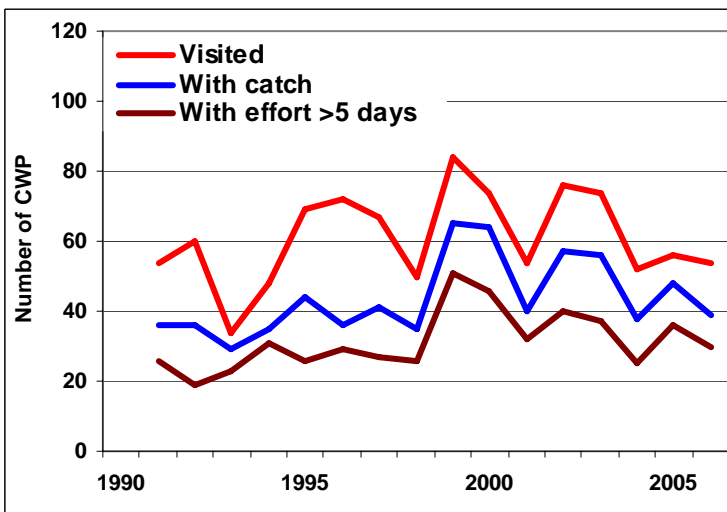


Figure 44. Change over time of the total area visited and fished by the Dakar based baitboats.

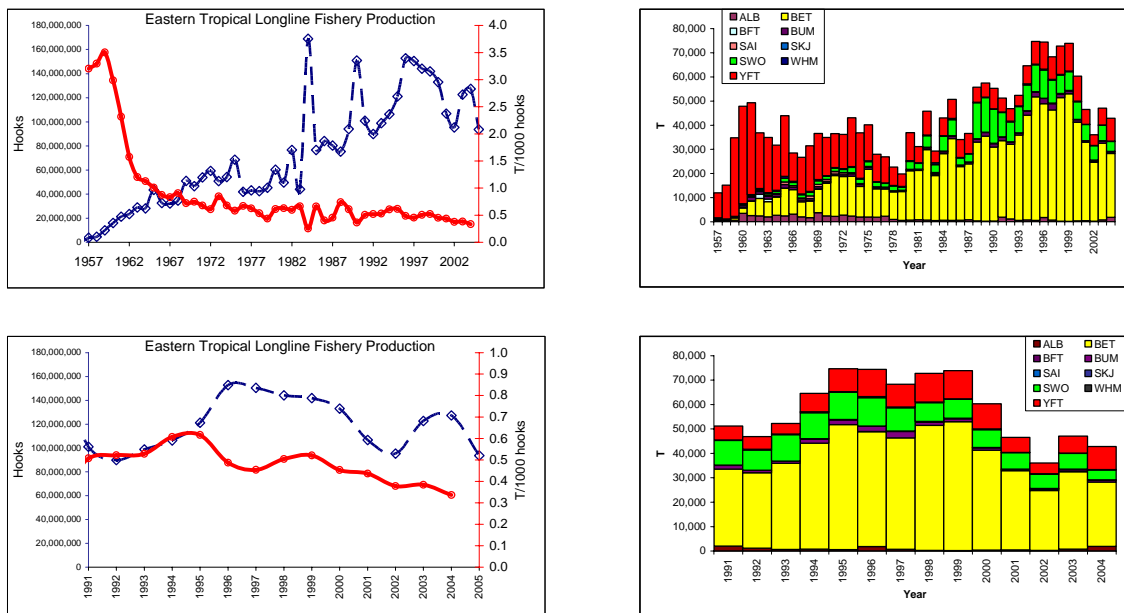


Figure 45. Longline fisheries, effort (hooks), catch and nominal CPUE pattern, by year for the entire period and for the period since 1991.

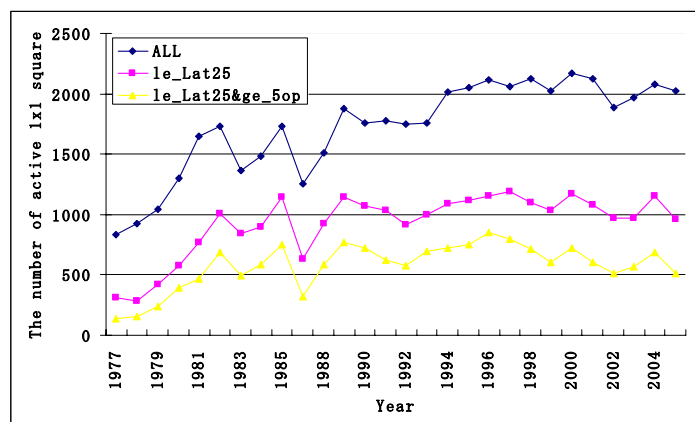


Figure 46. Change over time of the total area visited and fished ($1^{\circ} \times 1^{\circ}$) by the Japanese LL fleet.

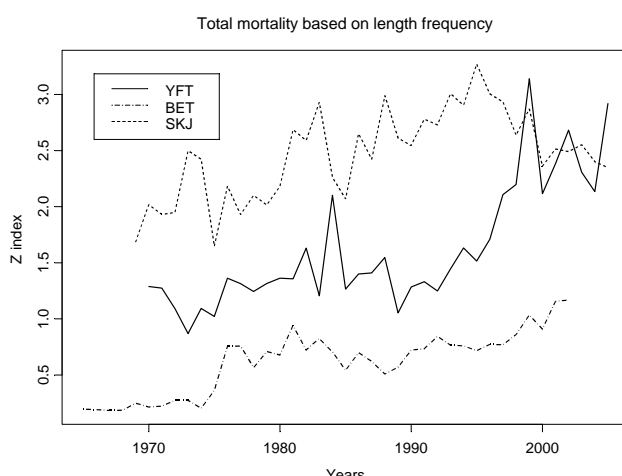


Figure 47. Changes over the years in the total mortality Z for the three tropical species (YFT, BET and SKJ).

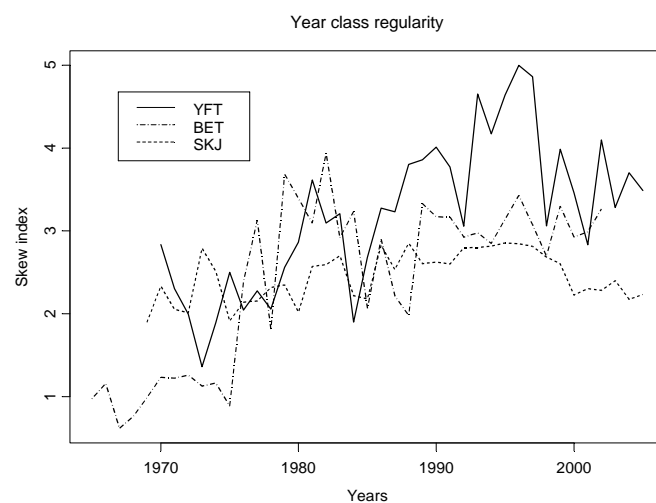


Figure 48. Trends in a “demographic indicator” (“Skew”) analyzed during the meeting for yellowfin, skipjack and bigeye. This indicator is assumed to reflect an overall increase in fishing mortality.

Appendix 1

Welcome Statement on Behalf of Mr. Altemir Gregolin, Special Secretary for Aquaculture and Fisheries of Brazil

It is a great pleasure for Brazil to host once more a preparatory Meeting, for skipjack and yellowfin tunas, which are the oceanic fishing resources most exploited off the Brazilian EEZ, with catches of 34,000 tons, and which are of considerable importance for exports and for the national processing industries.

The Special Secretariat for Aquaculture and Fisheries (SEAP/PR) is an institution directly linked to the Cabinet of the Presidency of the Republic of Brazil, and is responsible for formulating national policy for the development of aquaculture and fisheries, including the oceanic fisheries, carried out in a sustainable and responsible way.

Brazil is carrying out policies for infra-structure and capacity building aimed at a better utilization of fishing resources, especially for the Brazilian EEZ. Thus, an oceanic fisheries platform that brings economic and social benefits, taking into account the biological limits established by ICCAT for Brazil, is under construction. This target is specifically mentioned 50 years after the tuna fisheries began in South Atlantic, in 1956 in the city of Recife that today hosts this Meeting and welcomes you.

Once more, Brazil reiterates its commitment to offer high quality statistical and information on fisheries, a key-element for the success of the activity of tuna fishing management within ICCAT. Thus, Brazil recognizes the necessity of improving the data that have been collected by the ICCAT Contracting Parties so as to generate the best possible tuna stock assessment. In a complementary basis, Brazil has been developing fisheries research in tuna with different countries, which will certainly represent broader and additional information for next year's assessment.

I wish you a very dynamic and productive meeting here in Recife and I also wish all of you a pleasant stay in Brazil. Thank you!

Appendix 2

List of participants

CONTRACTING PARTIES

ANGOLA

Airosa Ferreira, Julia

Ministry of Fisheries, Direcção Nacional Pescas. P.O. Box 83. Edificio Atlântico, Av. 4 de fevereiro. Luanda
Tel: +244 924822254 / +244912505043, E-mail: fjairosa@hotmail.com

Lutuba Nsilulu, Henriette

Ministry of Fisheries - Institut d'Investigation de Peches, Avenida 4 de Fevereiro, 26 - Edificio Atlântico, C.P. 2601. Luanda
Tel. +244 923347560; E-mail: henrim60@yahoo.com.br

BRAZIL

Gomes de Mattos, Sergio Macedo

Secretaria Especial de Aquicultura e Pesca, Escritorio no Estado de Pernambuco, Av. Gal. San Martin, 1000. Bongi, Recife-PE, 50630
Tel: +55 81 32284492; Fax: +55 81 3227 9630; E-Mail: sergiomattos@agricultura.gov.br.

Hazin, Fabio H. V.

Universidade Federal Rural de Pernambuco - UFRPE / Departamento de Pesca e Aqüicultura - DEPAq, Rua Desembargador Célio de Castro Montenegro, 32 - Apto 1702, 52070-008, Monteiro Recife, Pernambuco
Tel: +55 81 3320 6500; Fax: +55 81 3320 6512; E-Mail: fhvazin@terra.com.br

Hazin, Humberto

Universidade Federal Rural de Pernambuco- UFRPE / Departamento de Pesca e Aqüicultura- DEPAq, Rua Dom Manoel de Medeiros, s/n, Dois Irmãos, Recife- PE, Brasil, CEP: 52.171-900
Tel: +55 81 3302 1511; Fax: +55 81 302 1512; E-Mail: hghazin@uol.com.br

Meneses de Lima, Jose Heriberto

IBAMA, Centro de Pesquisa e Extensão Pesqueira da Região Nordeste, Coordenação de Ordenamento Pesqueiro. Rua Samuel Hardman s/n Centro 55578000 Tamandaré, PE
Tel: +81 36 761 109 Ramal: 121; Fax: +81 36 761 310; Email: meneses@ibama.gov.br

Travassos, Paulo

Universidade Federal Rural de Pernambuco-UFRPE, Laboratório de Ecologia Marinha-LEMAR, Departamento de Pesca e Aquicultura-DEPAq, Avenida Dom Manoel Medeiros s/n - Dois Irmãos, CEP 52171-900, Recife, Pernambuco
Tel: +55 81 3320 6511; Fax: +55 81 3320 6512; E-Mail: paulotr@ufrpe.br

EUROPEAN COMMUNITY**Ariz Telleria, Javier**

Instituto Español de Oceanografía, C.O. de Canarias, Apartado 1373, 38080, Santa Cruz de Tenerife, Islas Canarias, Spain
Tel: +34 922 549 400; Fax: +34 922 549 554; E-Mail: javier.ariz@ca.ieo.es

Delgado de Molina Acevedo, Alicia

Instituto Español de Oceanografía, C.O. de Canarias, Apartado 1373, 38080, Santa Cruz de Tenerife, Islas Canarias, Spain
Tel: +34 922 549 400; Fax: +34 922 549 554; E-Mail: alicia.delgado@ca.ieo.es

Gaertner, Daniel

I.R.D. UR n° 109 Centre de Recherche Halieutique Méditerranéenne et Tropicale, Avenue Jean Monnet - B.P. 171, 34203 Sète Cedex, France
Tel: +33 4 99 57 32 31 ; Fax: +33 4 99 57 32 95 ; E-Mail: gaertner@ird.fr

Monteagudo, Juan Pedro

ANABAC/OPTUC, c/ Txibitxiaga, 24 - entreplanta, 48370, Bermeo, Vizcaya, Spain
Tel: +34 94 688 2806; Fax: +34 94 688 5017; E-Mail: monteagudog@yahoo.es

Murua, Hilario

AZTI-Tecnalia. Herrera kaia portualdea z/g, 20110 Pasai (Gipuzkoa), Spain
Tel: 943 004 800 Ext. 821; Fax: 943 004 801; E-Mail: hmuropa@pas.azti.es

Pereira, Joao Gil

Universidade dos Açores, Departamento de Oceanografia e Pescas, 9900, Horta, Portugal
Tel: +351 292 200 431; Fax: +351 292 200 411; E-Mail: pereira@notes.horta.uac.pt

Pianet, Renaud

I.R.D. US n° 007 (OSIRIS) Centre de Recherche Halieutique Méditerranéenne et Tropicale, Avenue Jean Monnet - B.P. 171, 34203, Sète Cedex, France
Tel: +33 4 99 57 32 39; Fax: +33 4 99 57 32 95; E-Mail: pianet@ird.fr

JAPAN**Okamoto, Hiroaki**

Tropical Tuna Section Chief, National Research Institute of Far Seas Fisheries, Fisheries Research Agency of Japan, 7-1, 5 Chome Orido, 424-8633, Shizuoka-shi, Shimizu-ku
Tel: +81 543 36 6043; Fax: +81 543 35 9642; E-Mail: okamoto@fra.affrc.go.jp

Semba, Yasuko

Tropical Tuna Section, National Research Institute of Far Seas Fisheries, Fisheries Research Agency of Japan, 7-1, 5 Chome Orido, 424-8633, Shizuoka-shi, Shimizu-ku
Tel: +81 543 36 6043; Fax: +81 543 35 9642; E-Mail: senbamak@fra.affrc.go.jp

UNITED STATES**Brown, Craig A.**

NOAA Fisheries Southeast Fisheries Center Sustainable Fisheries Division, 75 Virginia Beach Drive, Miami, Florida 33149-1099
Tel: +1 305 361 4590; Fax: +1 305 361 4562; E-Mail: craig.brown@noaa.gov

Cass-Calay, Shannon

NOAA Fisheries, Southeast Fisheries Center, Sustainable Fisheries Division, 75 Virginia Beach Drive, Miami, Florida 33149-1099
Tel: +1 305 361 4231; Fax: +1 305 361 4562; E-Mail: shannon.calay@noaa.gov

Scott, Gerald P.

SCRS Chairman, NOAA Fisheries, Southeast Fisheries Science Center Sustainable Fisheries Division, 75 Virginia Beach Drive, Miami, Florida 33149-1099
Tel: +1 305 361 4220; Fax: +1 305 361 4219; E-Mail: gerry.scott@noaa.gov

Walter, John F.

NOAA Fisheries, Southeast Fisheries Center, Sustainable Fisheries Division, 75 Virginia Beach Drive, Miami, Florida 33149-1099
Tel: +305 365-4114; Fax: +1 305 361 4562; E-Mail: john.f.walter@noaa.gov

ICCAT SECRETARIAT**Restrepo, Victor**

Assistant Executive Secretary
C/ Corazón de María, 8 – 6th fl. 28002, Madrid, Spain
Tel: + 34 91 416 5600; Fax: +34 91 415 2612; E-Mail: victor.restrepo@iccat.int

Kebe, Papa

Head of Statistics Department
C/ Corazón de María, 8 – 6th fl. 28002, Madrid, Spain
Tel: + 34 91 416 5600; Fax: +34 91 415 2612; E-Mail: papa.kebe@iccat.int

Palma, Carlos

Biostatistician
C/ Corazón de María, 8 – 6th fl. 28002, Madrid, Spain
Tel: + 34 91 416 5600; Fax: +34 91 415 2612; E-Mail: carlos.palma@iccat.int

Appendix 3**Agenda**

1. Opening, adoption of agenda and meeting arrangements
2. Update of basic statistics and CAS
 - 2.1 Task I
 - 2.2 Task II
 - 2.3 Catch-at size
3. Methods for estimation of landings that are directed out of the canning factories ("false fish")
4. Review of new biological information
5. Review of fishery indicators
 - 5.1 Indicators relevant to stock status
 - 5.2 Indicators relevant to multi-species fisheries and ecosystems
 - 5.3 Other Indicators
6. Review of progress made on improving the tagging database
7. Recommendations
8. Other matters
9. Report adoption and closure

Appendix 4**List of Documents**

| | |
|---------------|--|
| SCRS/2007/052 | A catch rate index of yellowfin tuna (<i>Thunnus albacares</i>) from the United States recreational fishery in the western North Atlantic Ocean, 1986-2005. CASS-CALAY, S.L. |
| SCRS/2007/054 | Length-frequency compositions of yellowfin (<i>Thunnus albacares</i>) and skipjack (<i>Katsuwonus pelamis</i>) tuna from the United States pelagic longline fishery, 1992-2006. WALTER, J.F. |

| | |
|---------------|---|
| SCRS/2007/055 | Standardized catch rates for yellowfin tuna (<i>Thunnus albacares</i>) from the United States pelagic longline fishery based upon logbook data, 1987-2006. WALTER, J.F., C. Brown and S. Cass-Calay. |
| SCRS/2007/056 | Standardized catch rates for yellowfin tuna (<i>Thunnus albacares</i>) based upon United States Pelagic Longline Observer Program data, 1992-2006. BROWN, C. |
| SCRS/2007/057 | Variability of the growth parameters of the Skipjack tuna (<i>Katsuwonus pelamis</i>) between areas in the Eastern Atlantic. Analysis from tagging data. GAERTNER, D., A. Delgado de Molina, J. Ariz and R. Pianet. |
| SCRS/2007/058 | Statistiques de la pêcherie thonière européenne et assimilée durant la période 1991-2006. PIANET, R., V. Norström, P. Dewals, A. Delgado, J. Ariz, R. Saralde, R. Gnegoury Dédo and Y. Diatta. |
| SCRS/2007/059 | Standardization of CPUE series of <i>Thunnus albacares</i> and <i>Thunnus obesus</i> caught by Brazilian longliners in the Atlantic Ocean. HAZIN, H., F. Hazin, P. Travassos, and F. Carvalho. |

Appendix 5

Effect of the growth function used to estimate catch-at-age derived from age-slicing

1. Introduction

During the Inter-Sessional Meeting of the Tropical Tuna Species Group, an alternative growth model was presented (SCRS/2006/146). To better understand the implications of this growth function, the working group recommended that age-composition be derived from age-slicing using the current two-stanza growth model and the new growth model reported in SCRS/2006/146 (Shuford Model).

2. Methods

To test the implications of the growth model reported in SCRS/2006/146, we compared the age-composition of yellowfin tuna derived using the two growth equations, and the age-slicing approach used during the 2003 stock assessment of yellowfin tuna (Anon. 2004).

3. Results and discussion

There were important changes in the upper slicing limit calculated using the two growth models (**Table A5.1**). The direction and magnitude of change was dependent on the quarter and the age of the fish. The largest changes were 30-40%, and occurred on ages 0 and 1. Changes of 10-20% occurred at ages 2-4. The Shuford Model (Shuford *et al.*, 2007) consistently resulted in larger upper slicing limits on ages 1 to 4.

The derived age-composition was also sensitive to the growth model applied. An example of the effect of the growth model on the age-compositon of the 1999 and 2000 cohorts is shown in **Figure A5.1**. Differences in the proportion-at-age are apparent for ages 0, 1, 4 and 5. These changes are evident in every year; of particular concern is the reduction in the proportion of yellowfin tuna aged 4 and 5 each year (**Figure A5.2**).

It is possible that the difference in the age-composition derived using the two growth models could have important implications for stock status. Therefore, the Species Group recommended that an attempt be made to obtain the original data used to develop both growth models. This data should be used to determine how the growth functions were developed, to test alternative model fits and structures and to investigate the potential to develop a model that incorporates both data sets.

Table A5.1 Change in size at the upper slicing limit (cm), by quarter, due to the growth curve used to calculate the limit.

| <i>Current Model</i> | <i>Growth</i> | <i>QUARTER</i> | | | |
|----------------------|---------------|----------------|-----|-----|--|
| AGE | 1 | 2 | 3 | 4 | |
| 0 | 42 | 45 | 48 | 53 | |
| 1 | 60 | 69 | 78 | 89 | |
| 2 | 100 | 110 | 120 | 128 | |
| 3 | 136 | 143 | 148 | 153 | |
| 4 | 157 | 161 | 163 | 166 | |

| <i>SCRS/2006/146 Growth Model</i> | <i>QUARTER</i> | | | |
|-----------------------------------|----------------|-----|-----|-----|
| AGE | 1 | 2 | 3 | 4 |
| 0 | 30 | 44 | 58 | 71 |
| 1 | 83 | 100 | 104 | 114 |
| 2 | 122 | 131 | 139 | 146 |
| 3 | 153 | 159 | 165 | 170 |
| 4 | 175 | 180 | 185 | 189 |

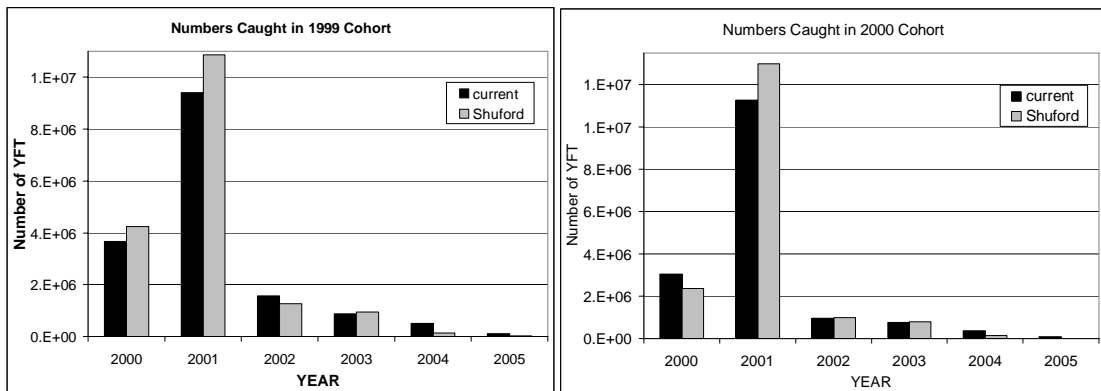


Figure A5.1. Examples of the difference in age-composition caused by the growth model applied.

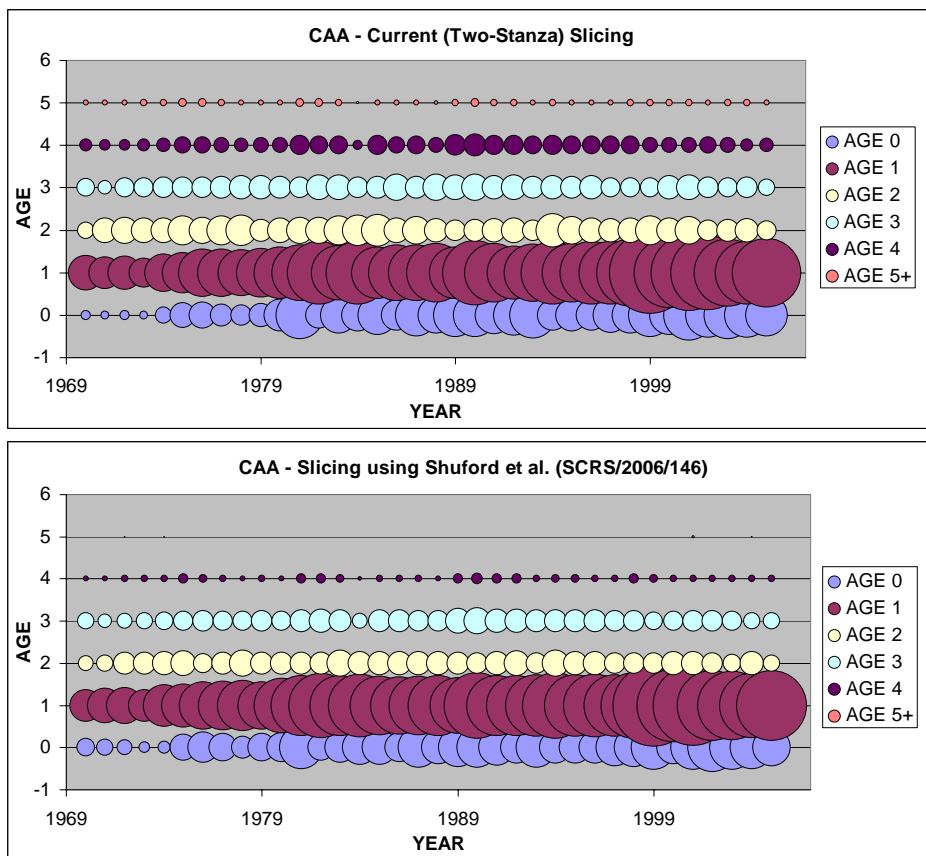


Figure A5.2 Catch-at-age, by year, using the two growth curves and the age-slicing approach.

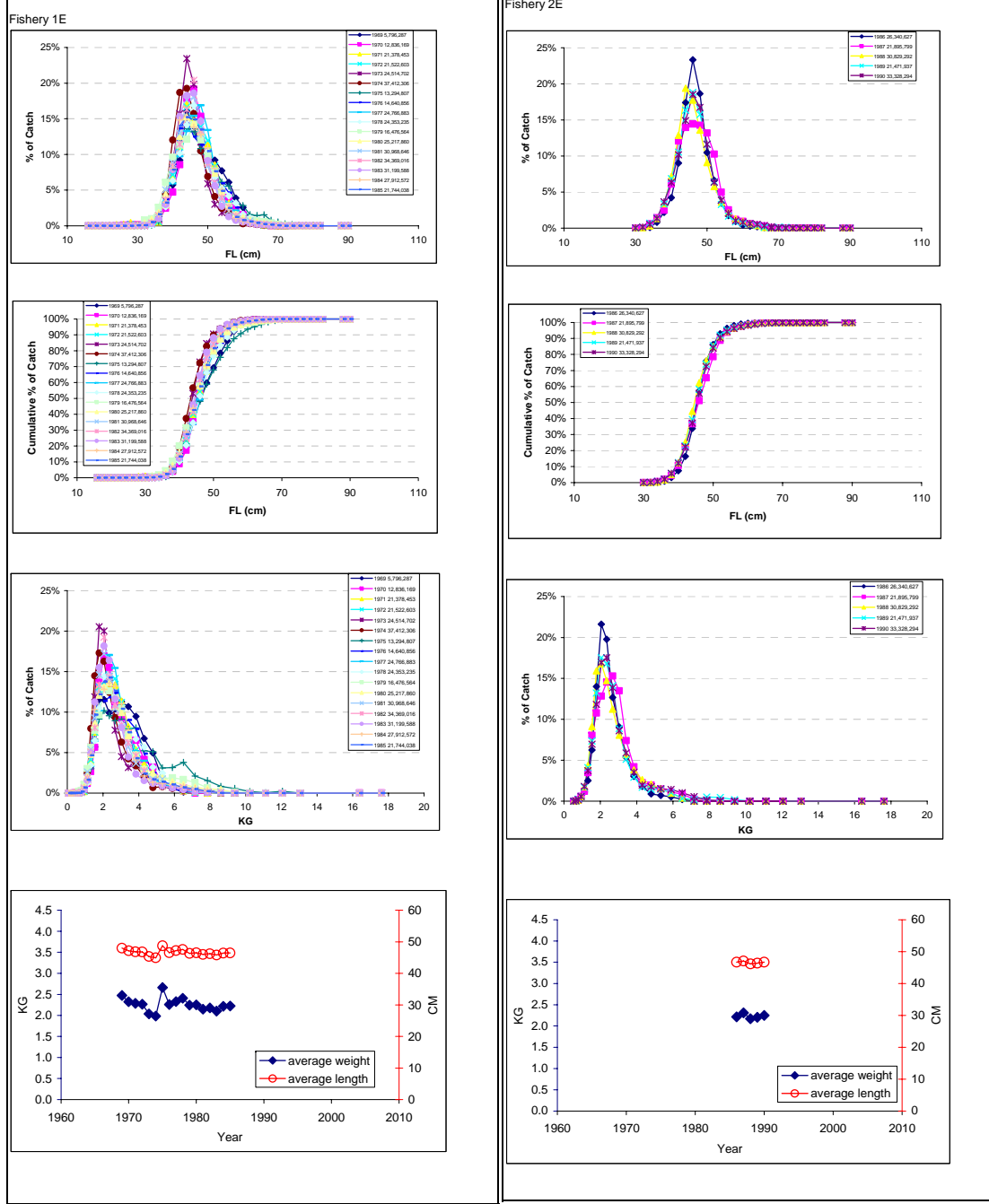
Appendix 6

Fishery-specific catch-at-size profiles and patterns in mean size for skipjack

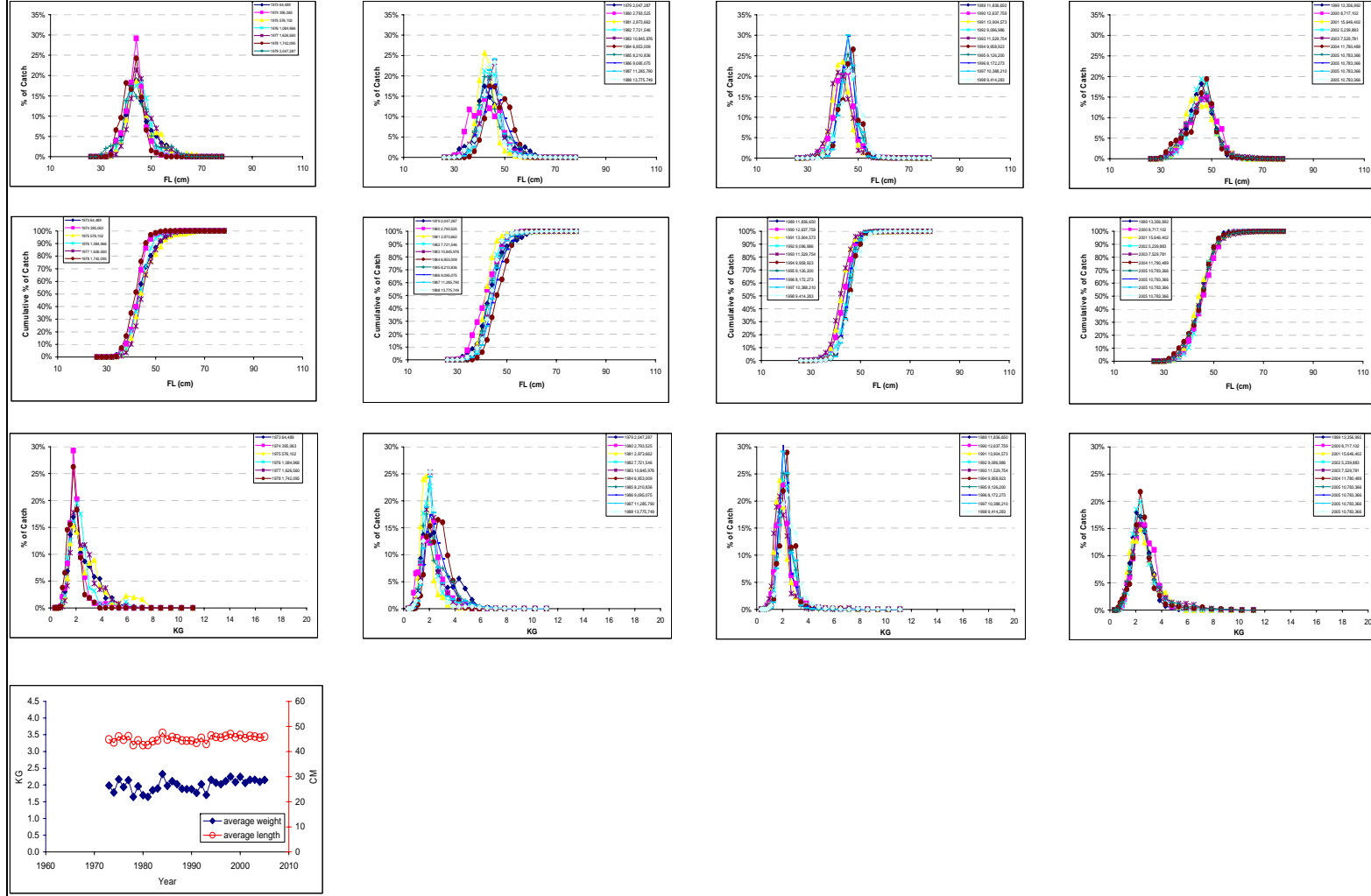
The fishery-specific catch at size profiles and patterns in mean size for skipjack are diagnostic plots useful for identifying potentially anomalous patterns which may require further investigation before conducting an assessment making use of the data. In each case, the labels in the graphs provide information about the year of the pattern displayed and the number of fish represented in the catch at size file. The fishery definitions used are shown in the following Table and generally follow the definitions used for MULTIFAN CL assessment modeling of bigeye tuna.

Fishery Definitions proposed for use in further analysis for skipjack and yellowfin

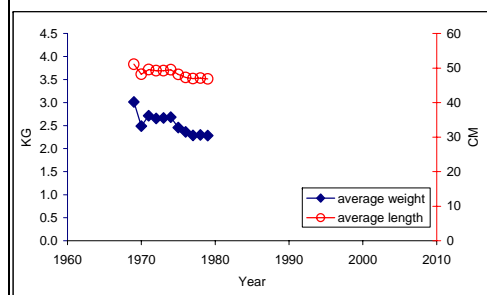
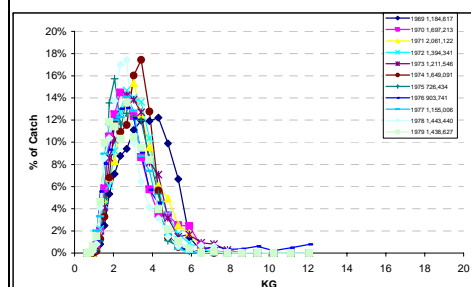
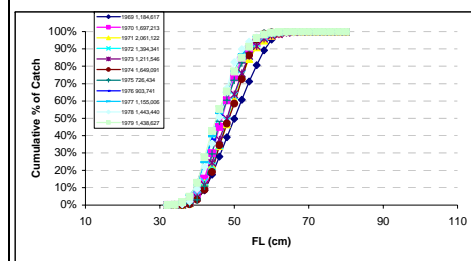
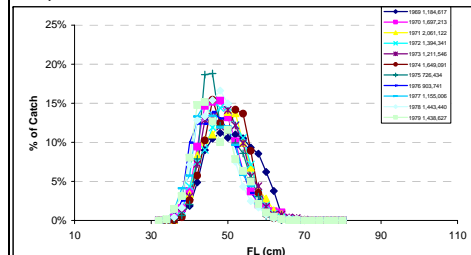
| <i>Stock</i> | <i>Fishery</i> | <i>Flags</i> | <i>Gear</i> | <i>Period</i> |
|---------------|----------------|--|-------------|---------------|
| Atlantic East | 1E | EC-France, EC-Spain and Others | PS | 1965-1985 |
| Atlantic East | 2E | EC-France, EC-Spain and Others | PS | 1986-1990 |
| Atlantic East | 3E | EC-France, EC-Spain and Others | PS | 1991-2005 |
| Atlantic East | 4E | Ghana | PS & BB | 1973-2005 |
| Atlantic East | 5E | EC-France, EC-Spain (Dakar Based), Senegal | BB | 1965-1979 |
| Atlantic East | 6E | EC-France, EC-Spain (Dakar Based), Senegal | BB | 1980-2005 |
| Atlantic East | 7E | Azores, Madeira, Canaries | BB | 1965-2005 |
| Atlantic East | 8E | Others | BB | 1965-2005 |
| Atlantic East | 9E | All | LL | 1965-2005 |
| Atlantic East | 10E | Others | Others | 1965-2005 |
| Atlantic West | 1W | All | BB | 1965-2005 |
| Atlantic West | 2W | All | PS | 1965-2005 |
| Atlantic West | 3W | All | LL | 1965-2005 |
| Atlantic West | 4W | All | Others | 1965-2005 |



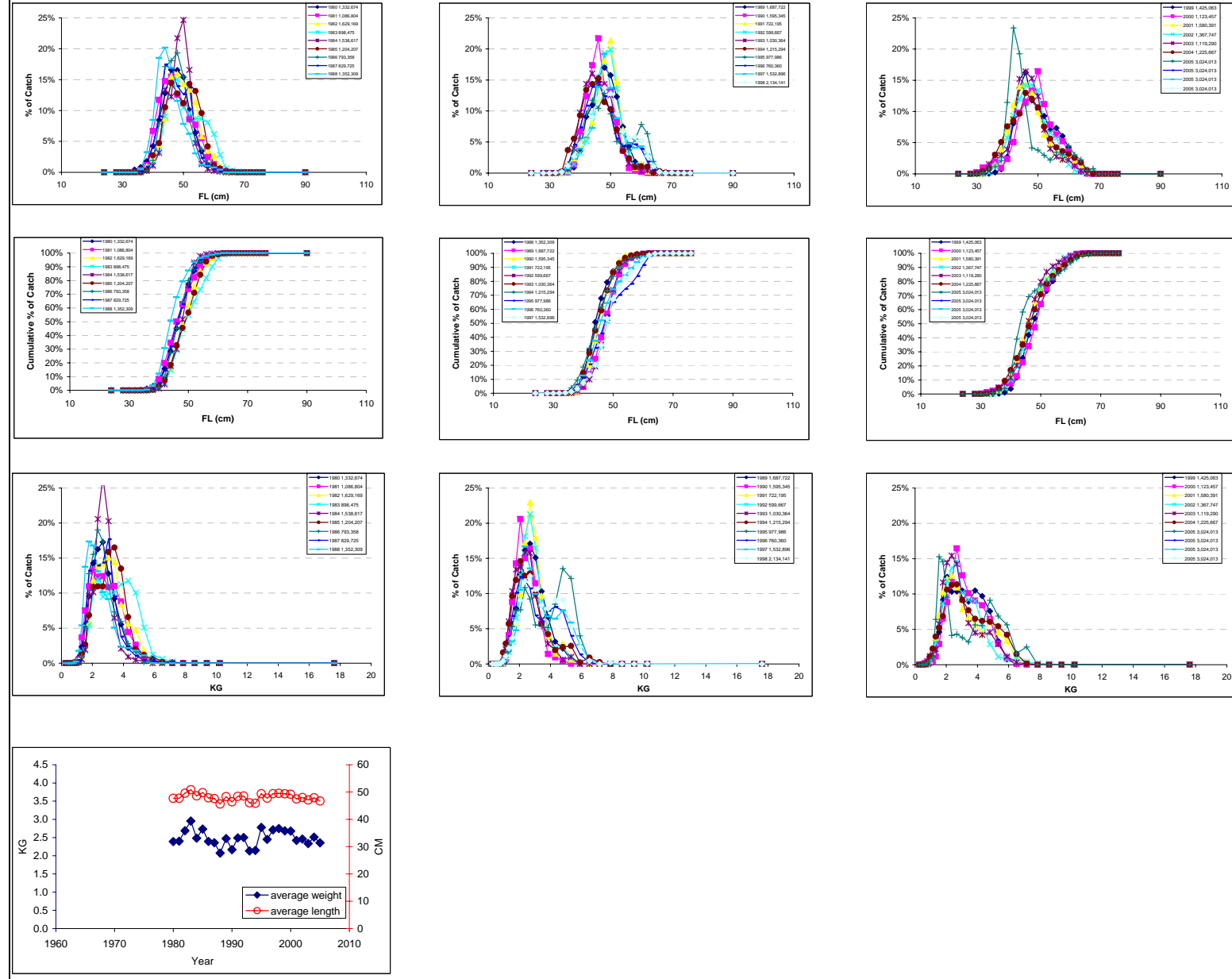
Fishery 4E

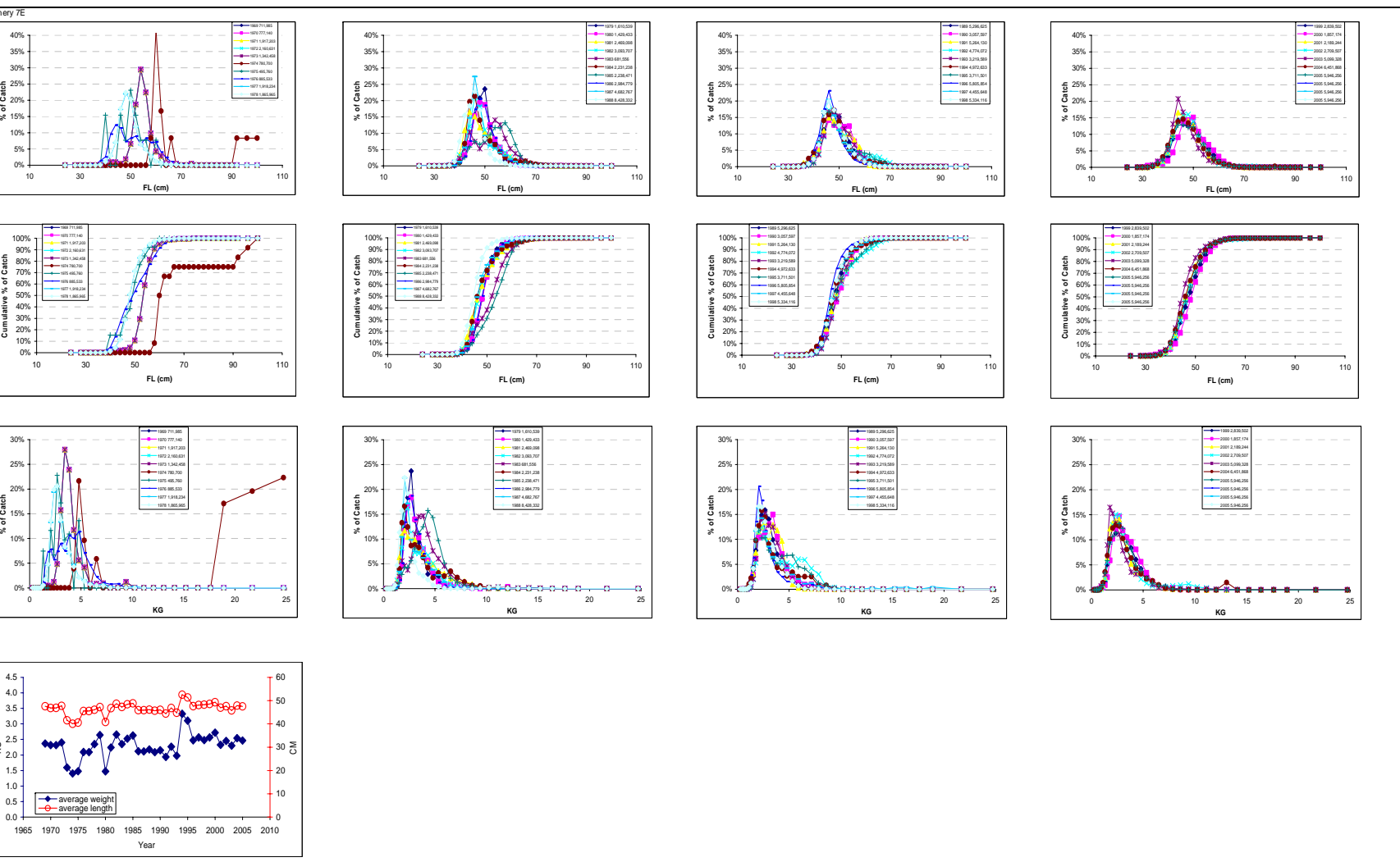


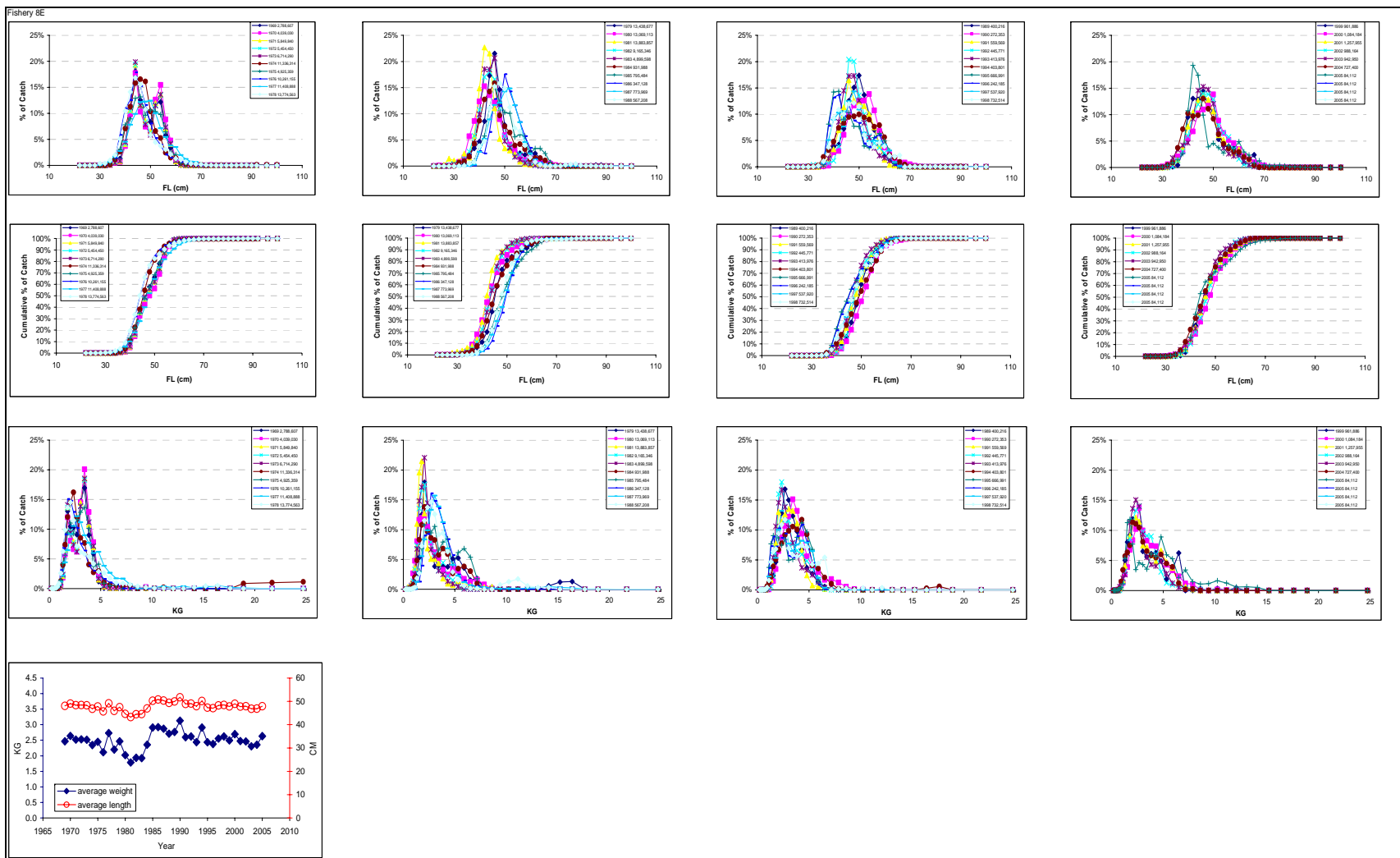
Fishery 5E

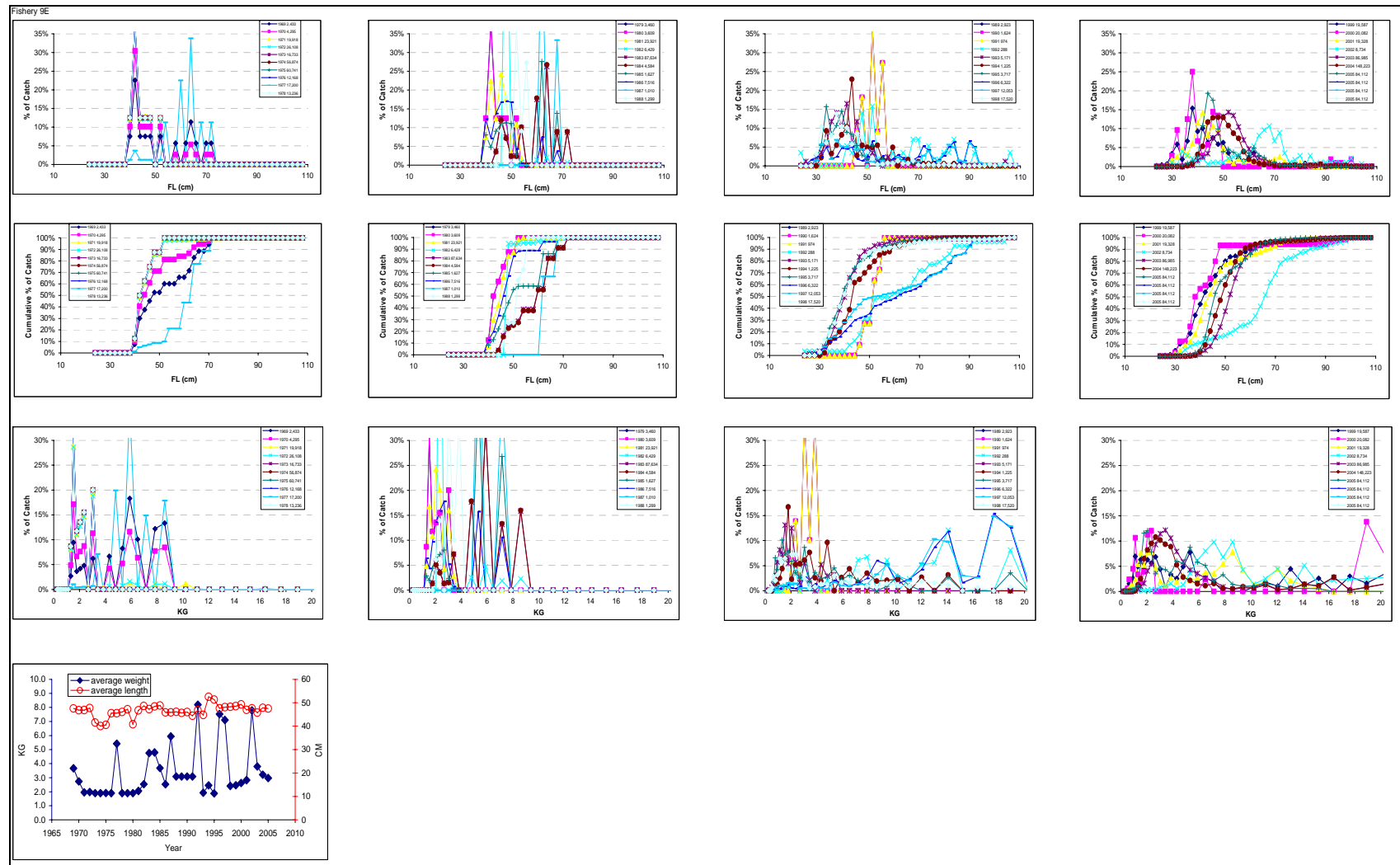


Fishery 6E

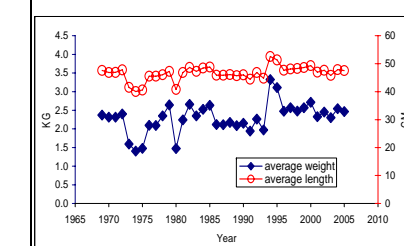
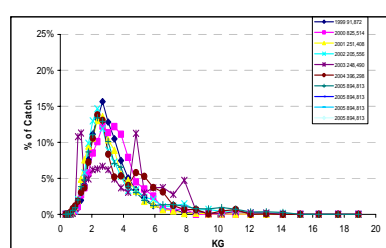
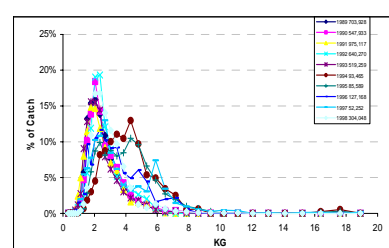
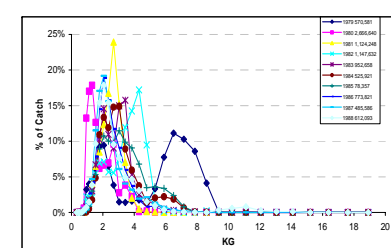
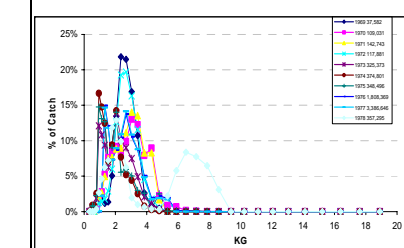
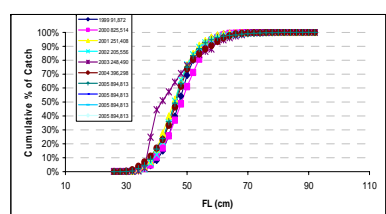
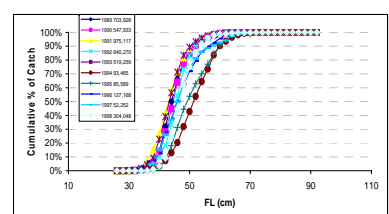
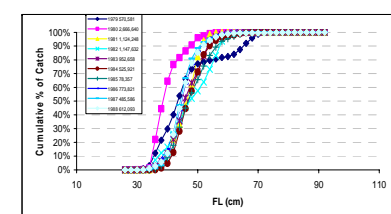
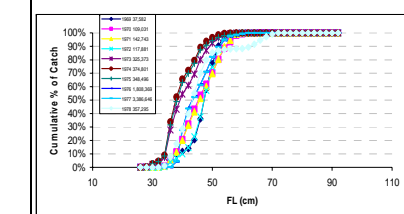
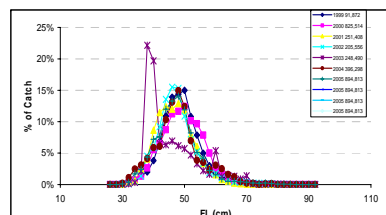
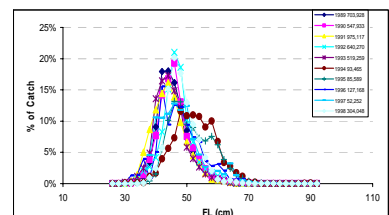
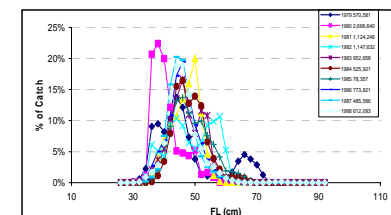
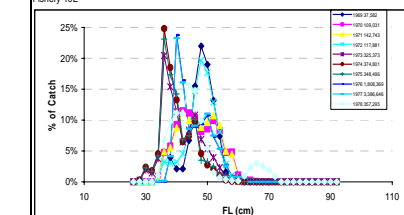


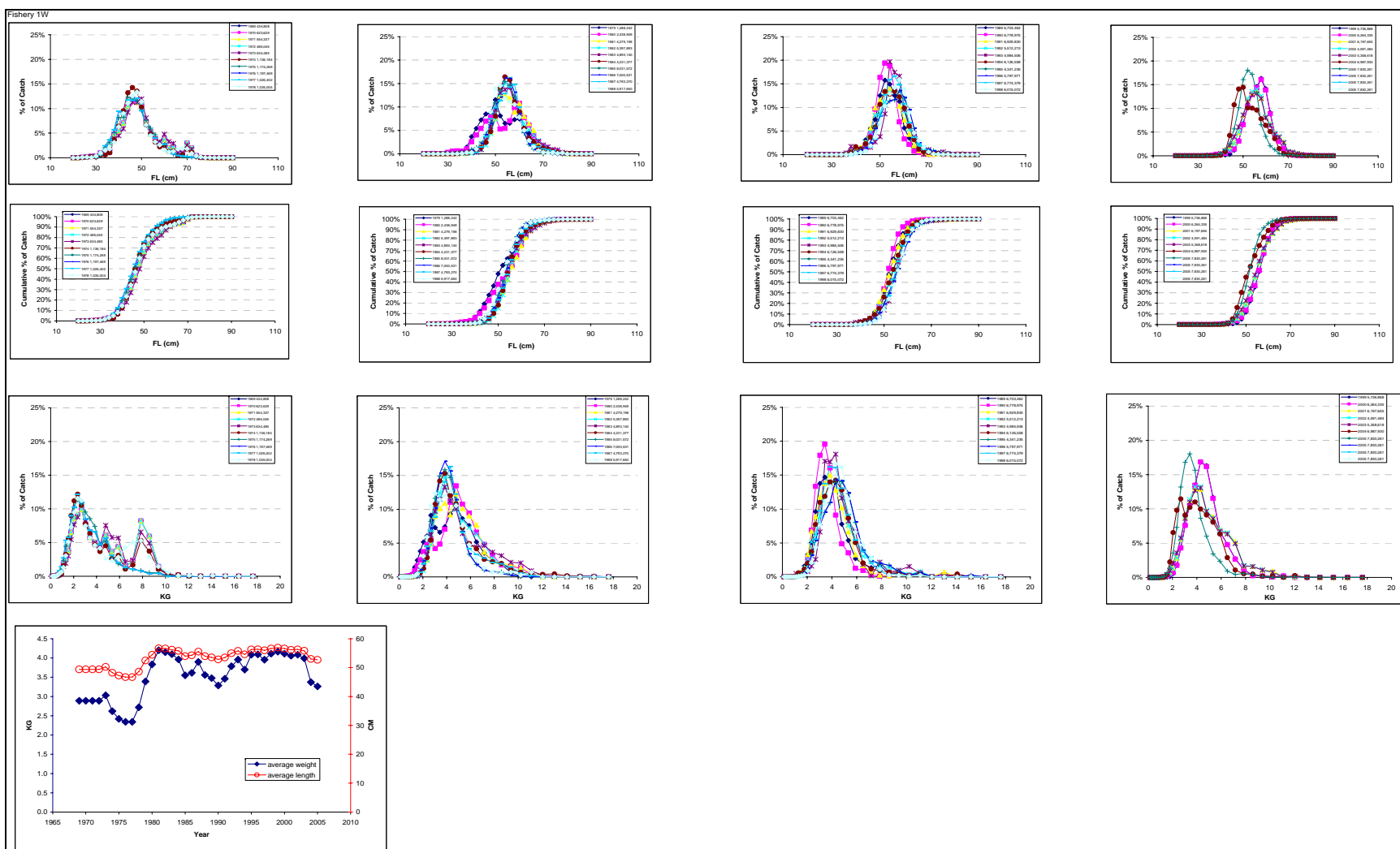


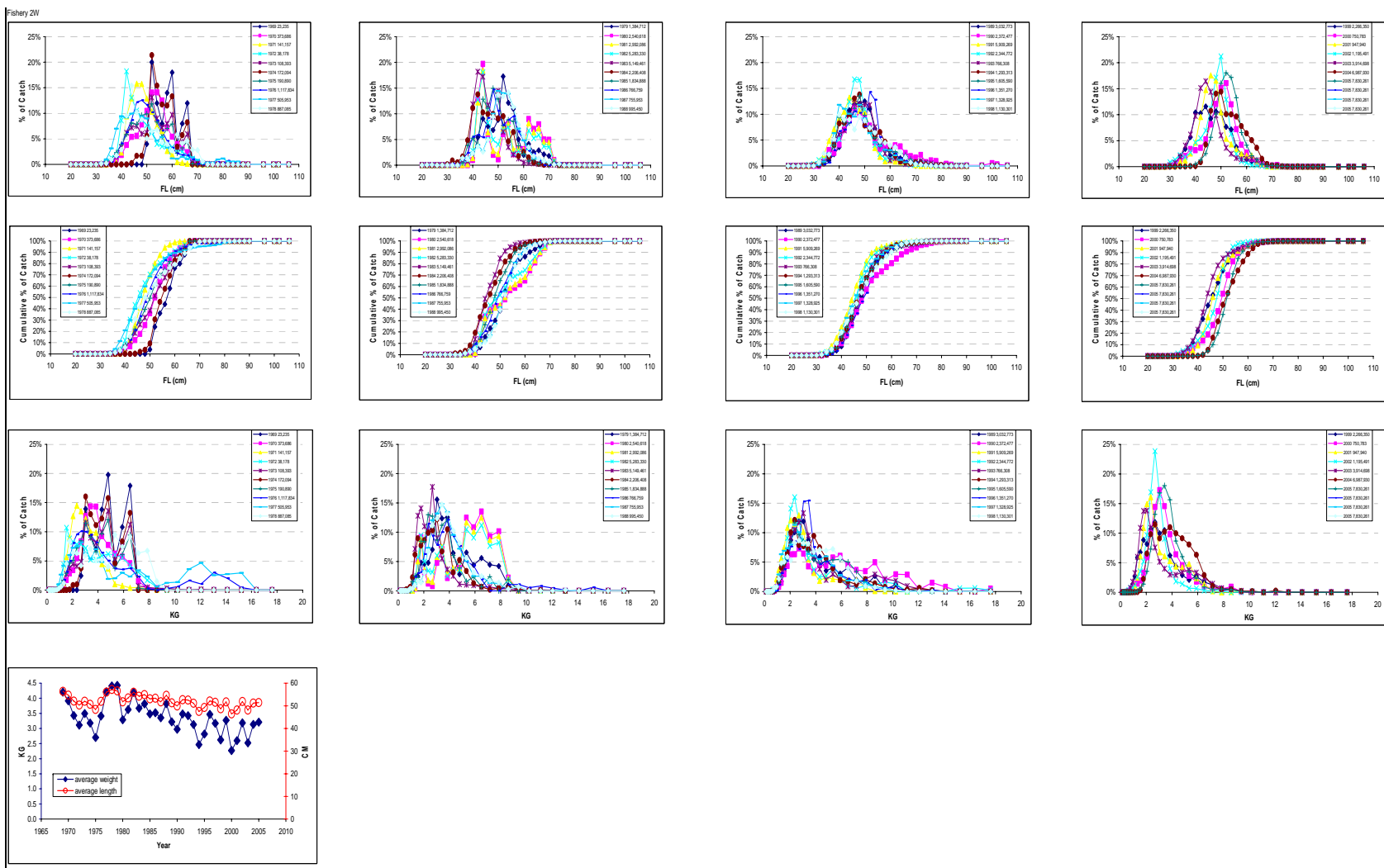




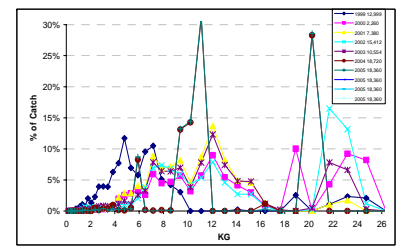
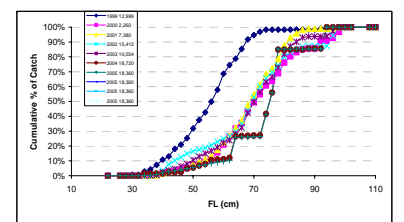
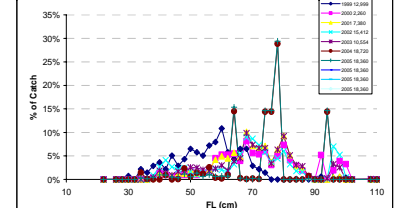
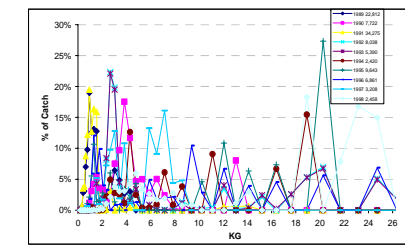
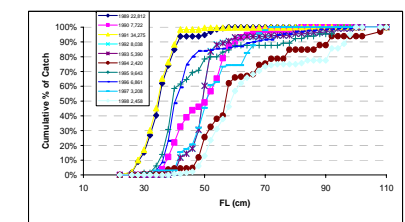
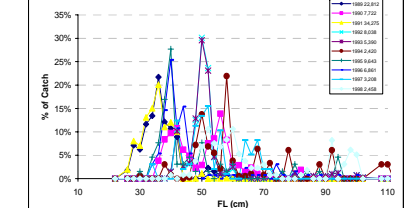
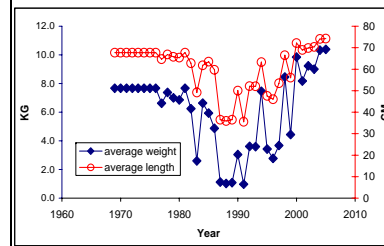
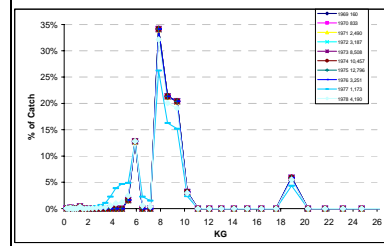
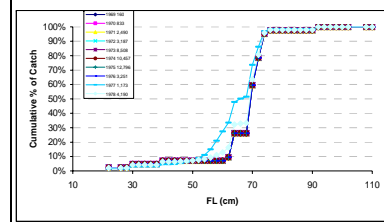
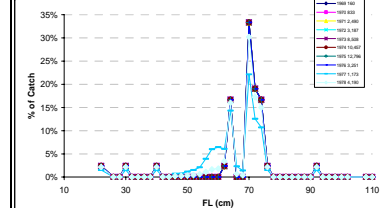
Fishery 10E







Fishery 3W



Fishery 4W

